



Surveillance des milieux récepteurs

Rapport annuel 2021 et semestriel 2022

Eaux Souterraines



Prony Resources New Caledonia
Août 2022

L'intégralité du présent rapport, en ce compris ses annexes, (ci-après désigné « RAPPORT ») reste la propriété exclusive de Prony Resources New Caledonia (ci-après désignée « PRNC »), au titre de son droit de propriété intellectuelle.

A l'exception des autorités administratives destinataires du RAPPORT et dans le cadre d'une convention, ce dernier et les données qu'il contient ne peuvent être utilisées qu'à des fins de consultation à titre privé.

Ainsi le Rapport et les données qu'il contient ne pourront pas être utilisés ou reproduits (totalement ou partiellement) sur quelque support que ce soit, sans l'accord préalable et écrit de PRNC.

En aucun cas le RAPPORT et les données qu'il contient ne pourront être utilisées à des fins commerciales et/ou en vue de porter atteinte aux intérêts de PRNC, notamment par l'utilisation partielles des données et sorties de leur contexte global, sous peine de voir votre responsabilité engagée.

Si vous désirez des informations plus détaillées au sujet de la présente déclaration et/ou du RAPPORT, veuillez-vous adresser à :

PRNC, Département Communication
E-mail : PRNC-communication@pronyresources.com
Tel : +687 23.50.00

SOMMAIRE

1 PRESENTATION DES PLANS DE SUIVI ET DES PROTOCOLES DE MESURE	2
1.1 LOCALISATION.....	2
1.1.1 Suivi des impacts des activités du port sur les eaux souterraines	2
1.1.2 Suivi de l'impact de l'usine d'assèchement de résidus et du stockage de déchets sur les eaux souterraines et sources.....	4
1.1.3 Suivi de l'impact des activités de l'unité de préparation du minerai (UPM)	6
1.1.4 Suivi de l'impact des activités de l'usine	7
1.2 PROTOCOLES DE MESURE	9
1.2.1 Campagnes de mesures physico-chimiques	9
1.2.2 Mesures des paramètres physico-chimiques in situ	9
1.2.3 Analyse des hydrocarbures.....	9
1.2.4 Analyse des paramètres physico-chimiques en solution	10
1.2.5 Analyse des métaux	11
2 PRESENTATION DES RESULTATS.....	11
2.1 RAPPEL DES VALEURS REGLEMENTAIRES	11
2.1.1 Suivi de l'impact des activités du port sur les eaux souterraines.....	11
2.1.2 Suivi de l'impact de l'usine d'assèchement de résidus puis du stockage de déchets sur les eaux souterraines et sources.....	12
2.1.3 Suivi de l'impact des activités de l'unité de préparation du minerai (UPM) sur les eaux souterraines	12
2.1.4 Suivi de l'impact des activités de l'usine sur les eaux souterraines.....	12
2.2 BILAN DES CAMPAGNES DE MESURE	12
2.2.1 Données disponibles pour le Port	12
2.2.2 Données disponibles pour le parc à résidus de la Kwé Ouest et l'unité d'assèchement des résidus	12
2.2.3 Données disponibles pour l'Unité de Préparation du Minerai	16
2.2.4 Données disponibles pour l'Usine	18
2.3 RESULTATS	19
2.3.1 Suivi de l'impact des activités du Port sur les eaux souterraines	19
2.3.2 Suivi de l'impact des activités du stockage des résidus sur les eaux souterraines de la Kwé Ouest	21
2.3.3 Suivi de l'impact des activités de l'Usine sur les eaux souterraines	54
2.3.4 Suivi de l'impact des activités de l'UPM sur les eaux souterraines	68
3 ANALYSE DES RESULTATS ET INTERPRETATIONS.....	75
3.1 SUIVI DE L'IMPACT DES ACTIVITES DU PORT SUR LES EAUX SOUTERRAINES.....	75
3.2 SUIVI DE L'IMPACT DES ACTIVITES DU PARC A RESIDUS SUR LES EAUX SOUTERRAINES	75

3.3 SUIVI DE L'IMPACT DES ACTIVITES DE L'USINE SUR LES EAUX SOUTERRAINES	77
3.4 SUIVI DE L'IMPACT DES ACTIVITES DE L'UPM SUR LES EAUX SOUTERRAINES	78
CONCLUSION	79

LISTE DES TABLEAUX

Tableau 1 : Localisation et description des points de suivi du port	2
Tableau 2 : Localisation et description des points de suivi de l'impact de l'usine d'assèchement de résidus et du stockage de déchets	4
Tableau 3 : Localisation et description des points de suivi de l'UPM	6
Tableau 4 : Localisation et description des points de suivi de l'usine	7
Tableau 5 : Méthode d'analyse pour les paramètres physico-chimiques	10
Tableau 7 : Méthodes d'analyse pour les métaux	11
Tableau 8 : Valeurs indicatives suivant l'arrêté n°891-2007/PS	11
Tableau 10 : Données disponibles pour le suivi des eaux souterraines pour le Port	12
Tableau 11 : Données disponibles sur les huit piézomètres de la Kwé Ouest à fréquence de suivi mensuel et continu.....	13
Tableau 12 : Données disponibles sur les piézomètres de la Kwé Ouest à fréquence de suivi semestriel en 2020	14
Tableau 13 : Données disponibles pour le suivi des résurgences de la Kwé Ouest.....	16
Tableau 14 : Données disponibles pour le suivi des eaux souterraines de l'UPM	16
Tableau 15 : Données disponibles pour le suivi des eaux souterraines de l'Usine	18

LISTE DES FIGURES

Figure 1 : Carte de localisation des piézomètres du port	3
Figure 2 : Carte de localisation des piézomètres de suivi de l'impact de l'usine d'assèchement DWP2	5
Figure 3 : Carte de localisation des piézomètres de l'Unité de Préparation du Minerai	6
Figure 4 : Carte de localisation des piézomètres de l'usine	8
Figure 5 : Résultats du suivi du Port – pH, Conductivité, HT et DCO	19
Figure 6 : Résultats du suivi de l'aquifère principal proche– pH, conductivité, nitrates, sulfates, chlorures, manganèse, magnésium, nickel et chrome	22
Figure 7 : Résultats du suivi de l'aquitard latéritique proche– pH, conductivité, sulfates, chlorures, nitrates, magnésium, nickel, chrome et manganèse	29
Figure 8 : Résultats du suivi de l'aquifère principal éloigné – pH, conductivité, chlorure, sulfate, magnésium et manganèse	35
Figure 9 : Résultats du suivi de l'aquifère latéritique éloigné – pH, conductivité, chlorure, sulfate et manganèse	38
.....	Erreurs ! Signet non défini.
.....	Erreurs ! Signet non défini.
.....	Erreurs ! Signet non défini.
Figure 10 : Mesures en continues des température et conductivités aux piézomètres de la Kwé Ouest ..	42
Figure 11 : Mesures de pH des stations WK17, WK20 et WK17-20 entre janvier 2010 et 1 ^{er} janvier 2021	45
Figure 12 : Mesures de conductivité des stations WK17, WK20 et WK17-20 entre janvier 2008 et 1 ^{er} janvier 2021	46
Figure 13 : Concentration en sulfates des stations WK17, WK20 et WK17-20 entre janvier 2008 et 1 ^{er} janvier 2021	47
Figure 14 : Concentration en manganèse des stations WK17, WK20 et WK17-20 entre janvier 2008 et 1 ^{er} janvier 2021	48
Figure 15 : Concentration en magnésium des stations WK17 et WK20 entre janvier 2008 et 1 ^{er} janvier 2021	49

Figure 16 : Concentration en nickel des stations WK17, WK20 et WK17-20 entre janvier 2008 et 1 ^{er} janvier 2021	50
Figure 17: Concentration en chrome des stations WK17, WK20 et WK17-20 entre janvier 2008 et 1 ^{er} janvier 2021	51
Figure 18 : Suivi des mesures continues aux sources WK17 et WK20.....	52
Figure 19 : Résultats du suivi piézométrique dans les horizons latéritiques sur le secteur de l'Usine-conductivité, pH, sulfate, chlorure, DCO, chrome, chrome VI, calcium, sodium, potassium et TAC	55
Figure 20 : Résultats du suivi piézométrique dans les horizons saprolitiques sur le secteur de l'Usine-conductivité, pH, sulfate, chlorure, DCO, chrome, chrome VI, calcium, sodium, potassium et TAC	62
Figure 21 : Résultats du suivi piézométrique sur le secteur de l'Unité de préparation du minerai-conductivité, pH, sulfate, chlorure, DCO, chrome, chrome VI, calcium, sodium, potassium et TAC	68

SIGLES ET ABREVIATIONS

Lieux

Anc M	Bassin Versant de l'ancienne mine
BPE	Baie de Prony Est
CBN	Creek Baie Nord
dol XW	Doline Xéré Wapo
KB	Kuébini
KJ	Kadji
KO	Kwé Ouest
KP	Kwé Principale
SrK	Source Kwé
TB	Trou Bleu
UPM	Unité de Préparation du Minerai

Organismes

CDE	Calédonienne des Eaux
-----	-----------------------

Paramètres

Ag	Argent
Al	Aluminium
As	Arsenic
B	Bore
Ba	Baryum
Be	Béryllium
Bi	Bismuth
Ca	Calcium
CaCO ₃	Carbonates de Calcium
Cd	Cadmium
Cl	Chlore
Co	Cobalt
COT	Carbone Organique Total
Cr	Chrome
CrVI	Chrome VI
Cu	Cuivre
DBO ₅	Demande Biologique en oxygène
DCO	Demande Chimique en Oxygène
F	Fluor
Fe	Fer
Fell	Fer II
HT	Hydrocarbures Totaux
K	Potassium
Li	Lithium

MES	Matières en suspension
Mg	Magnésium
Mn	Manganèse
Mo	Molybdène
Na	Sodium
NB	Nota Bene
NH3	Ammonium
Ni	Nickel
NO2	Nitrites
NO3	Nitrates
NT	Azote Total
P	Phosphore
Pb	Plomb
pH	Potentiel Hydrogène
PO4	Phosphates
S	Soufre
Sb	Antimoine
Se	Sélénium
Si	Silice
SiO2	Oxyde de Silicium
Sn	Etain
SO4	Sulfates
Sr	Strontium
T°	Température
TA	Titre alcalimétrique
TAC	Titre alcalimétrique complet
Te	Tellure
Th	Thorium
Ti	Titane
TI	Thallium
U	Uranium
V	Vanadium
WJ	Wadjana
Zn	Zinc
Autre	
IBNC	Indice Biotique de Nouvelle-Calédonie
IIB	Indice d'Intégrité Biotique
N°	Numéro

INTRODUCTION

Implanté dans le Sud de la Nouvelle-Calédonie, aux lieux-dits « Goro » et « Prony-Est » sur les communes de Yaté et du Mont-Dore, le complexe industriel, minier et portuaire détenu par Prony Resources New Caledonia (ci-après PRNC) produit du Nickel Hydroxyde Cake (NHC) dans l'objectif de satisfaire à la demande émergente de production de batteries pour les véhicules électriques.

Les activités liées au projet PRNC se répartissent sur plusieurs bassins versants : la Baie de Prony, le creek de la Baie Nord et trois des bras amont de la Kwé (Kwé Ouest, Nord et Est).

Afin de mesurer les impacts potentiels des activités liées au projet, des campagnes de suivi sont mises en place. Ces campagnes seront effectuées notamment conformément aux arrêtés :

- N° 891-2007/PS du 13 juillet 2007 (Port),
- N°1467-2008/PS du 9 octobre 2008 (de l'usine, de l'unité de préparation du minerai et du centre de maintenance de la mine),
- N°3690-2017/ARR/DIMENC du 29 novembre 2017 (usine d'asséchement de résidus et stockage de résidus issus du procédé - « LUCY »).

Les résultats de des campagnes de suivis de 2021 et du 1^{er} semestre 2022 seront présentés dans ce rapport.

1 PRESENTATION DES PLANS DE SUIVI ET DES PROTOCOLES DE MESURE

1.1 Localisation

La localisation des piézomètres dédiés au suivi des impacts des différentes installations du projet PRNC est décrite dans les paragraphes suivants.

1.1.1 Suivi des impacts des activités du port sur les eaux souterraines

L'arrêté N° 891-2007/PS du 13 juillet 2007, qui autorise notamment l'exploitation du port, prévoit l'installation de trois piézomètres pour le suivi des eaux souterraines du port.

Ces trois piézomètres sont décrits dans le tableau 1 et présentés sur la figure 1. Ils se situent à proximité des installations de stockage de fioul lourd et de gasoil.

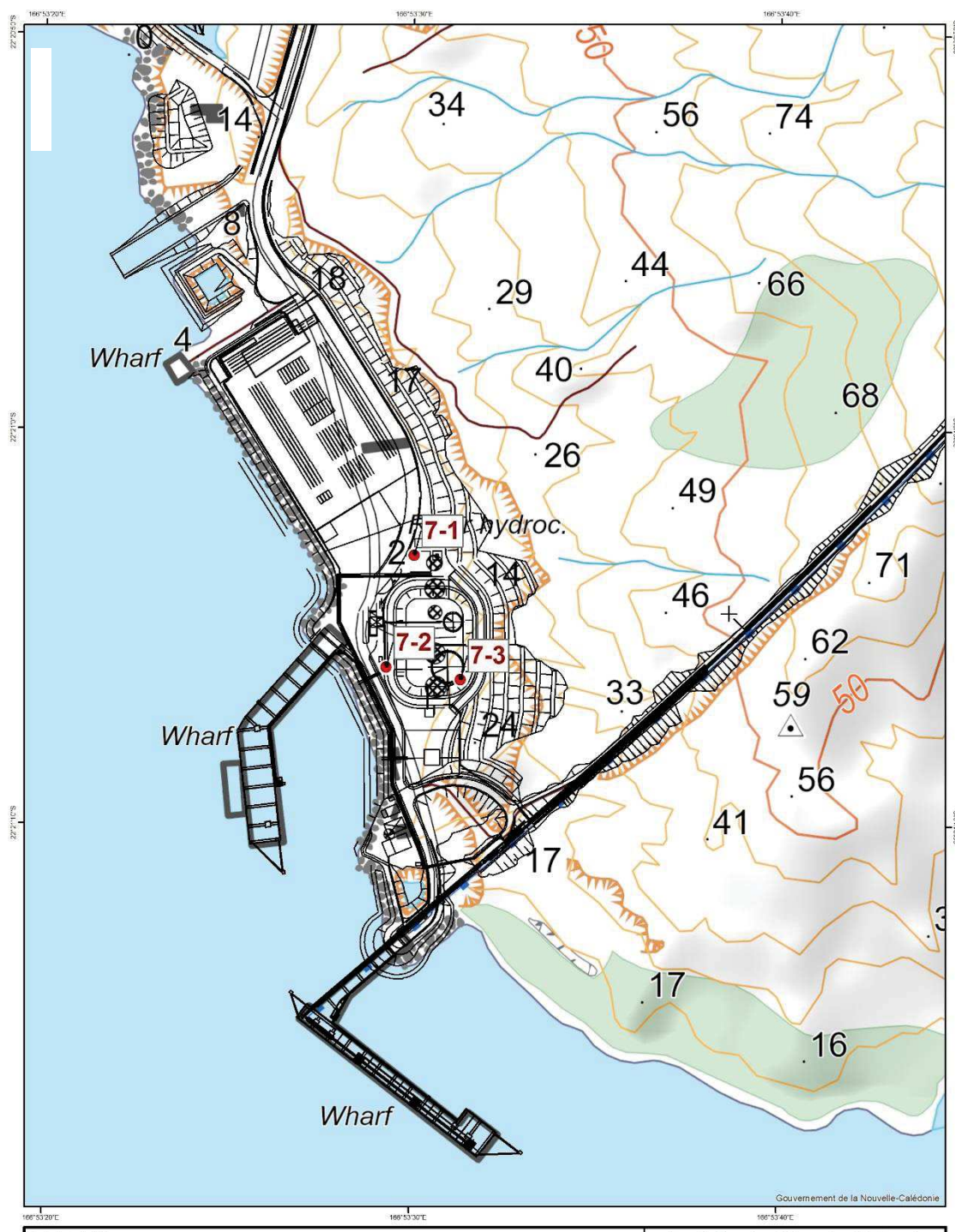
Tableau 1 : Localisation et description des points de suivi du port

Nom	Bassin Versant	Type de suivi	Raison d'être	RGN91 Est	RGN91 Nord
7-1	BPE	Souterrain	Arrêté n°891-2007/PS	491884,5	205436,3
7-2	BPE	Souterrain	Arrêté n°891-2007/PS	491828,35	205442,3
7-3	BPE	Souterrain	Arrêté n°891-2007/PS	491847,2	205522,5

Le piézomètre nommé 7-1 a été placé à proximité de la rétention de fioul lourd et en aval hydraulique du piézomètre 7-2.

Le piézomètre 7-2 est en amont immédiat des rétentions de fioul lourd et de gasoil, sa fonction principale est de donner une indication de l'état de référence du milieu.

Le piézomètre 7-3 a été placé en aval de la rétention de gasoil.

Figure 1 : Carte de localisation des piézomètres du port

Legende

- Piézomètres pour le suivi des installations du port

Localisation des stations de suivi du port

sys. coord. : RGRN91.93

Echelle (A3) : 1:2 500

Source : LÉONIE VALE INC.


 Ce document est propriété de la compagnie de VALE.
Il est à titre strictement confidentiel et ne peut être divulgué à des tiers sans l'autorisation écrite de la compagnie de VALE.

1.1.2 Suivi de l'impact de l'usine d'assèchement de résidus et du stockage de déchets sur les eaux souterraines et sources

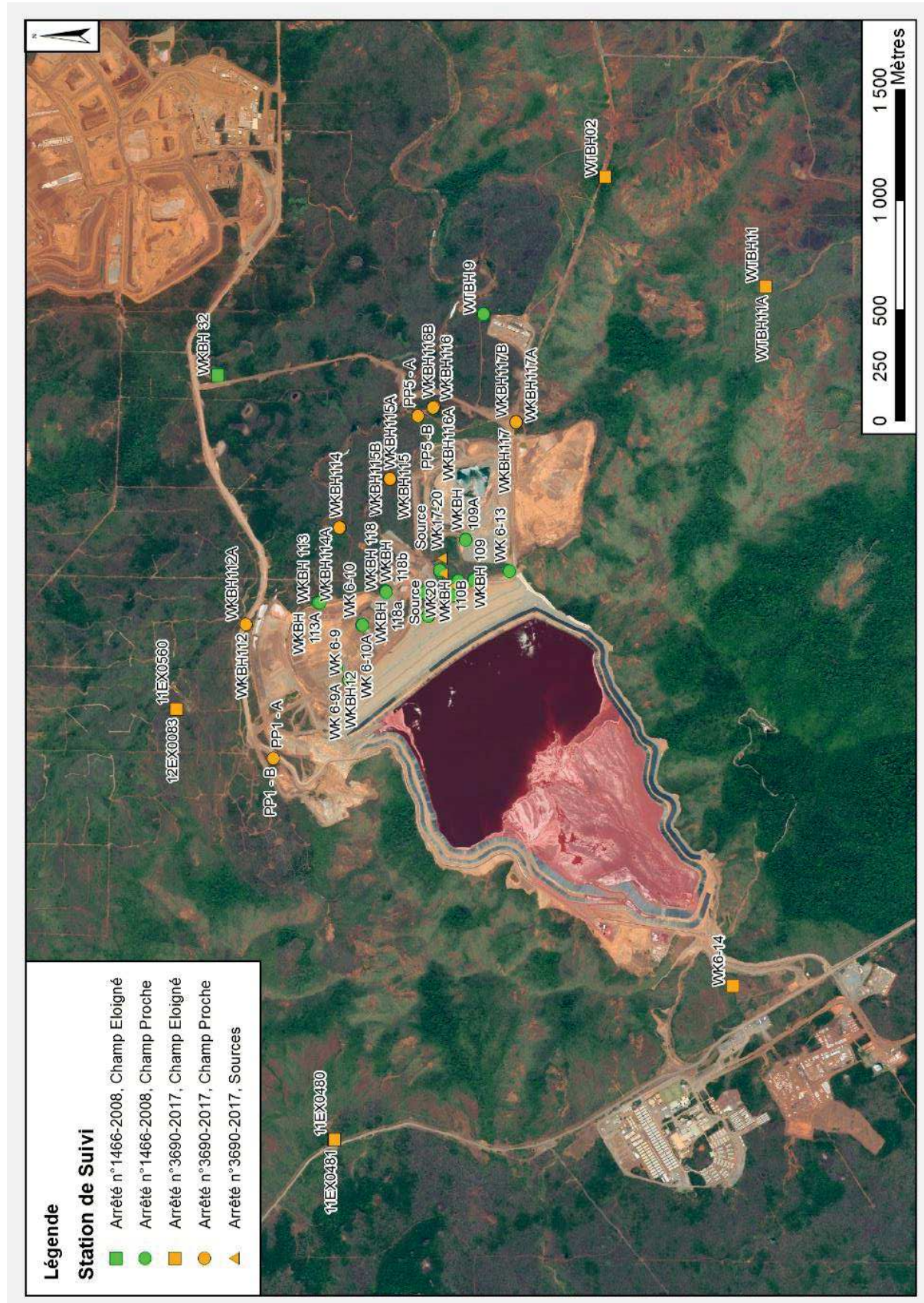
Les suivis des eaux souterraines du bassin versant de la Kwé Ouest sont effectués selon l'arrêté n°3690-2017 sur 25 piézomètres, deux résurgences et la confluence des sources. Trois points de suivi de cet arrêté ont été détruits suite à l'avancée des travaux de construction de Lucy 2.0 et quatre ont été obstrués par les sédiments. Ces points de suivis sont décrits dans le tableau 2 et localisés dans la figure 2.

On reporterait également les suivis effectués sur les piézomètres de l'arrêté de la Kwé Ouest n°1466-2008/PS. Cet arrêté n'est plus en vigueur mais le réseau de piézomètres est toujours existant. Le suivi sera maintenu jusqu'à destruction des piézomètres suite à la construction de l'usine DWP2. Sept piézomètres référencés dans cet arrêté désormais obsolète sont toujours suivis actuellement. Les piézomètres qui ont fait l'objet de destruction ne sont plus représentés graphiquement.

Tableau 2 : Localisation et description des points de suivi de l'impact de l'usine d'assèchement de résidus et du stockage de déchets

Station	Longitude	Latitude	Raison d'être	Hydrostratigraphie	Type de suivi	Etat
PP1 - B	494835	211429	Arrêté n°3690-2017	Aquifère principal	Proche	Actif
WKBH112	495441	211554	Arrêté n°3690-2017	Aquifère principal		Bouché
WKBH114	495881	211130	Arrêté n°3690-2017	Aquifère principal		Actif
WKBH115	496103	210904	Arrêté n°3690-2017	Aquifère principal		Détruit
WKBH115A	496101	210901	Arrêté n°3690-2017	Aquifère principal		Détruit
PP5 - B	496386	210774	Arrêté n°3690-2017	Aquifère principal		Bouché
WKBH116	496427	210702	Arrêté n°3690-2017	Aquifère principal		Actif
WKBH116A	496425	210705	Arrêté n°3690-2017	Aquifère principal		Bouché
WKBH117	496357	210330	Arrêté n°3690-2017	Aquifère principal		Bouché
WKBH117A	496358	210330	Arrêté n°3690-2017	Aquifère principal		Actif
WK 6-9	495191.4	211087.3	Arrêté n°1466-2008	Aquifère principal		Actif
WK 6-11	495478.8	210727.3	Arrêté n°1466-2008	Aquifère principal		Détruit
WK 6-12	495643.2	210520.4	Arrêté n°1466-2008	Aquifère principal		Détruit
WK 6-13	495682.3	210360.7	Arrêté n°1466-2008	Aquifère principal		Détruit
WKBH 102	495571.6	210620	Arrêté n°1466-2008	Aquifère principal		Détruit
WKBH 103	495638.8	210590.4	Arrêté n°1466-2008	Aquifère principal		Détruit
WKBH12	495243.9	211142.6	Arrêté n°1466-2008	Aquifère principal		Détruit
WK 6-10	495439.8	211029	Arrêté n°1466-2008	Aquifère principal		Actif
WKBH 109	495827	210559.7	Arrêté n°1466-2008	Aquifère principal		Détruit
WKBH 110	495681.2	210676.7	Arrêté n°1466-2008	Aquifère principal		Détruit
WKBH 110A	495684.2	210675.7	Arrêté n°1466-2008	Aquifère principal		Détruit
WKBH 111	495585.7	210742	Arrêté n°1466-2008	Aquifère principal		Détruit
WKBH 118	495593.5	210921.1	Arrêté n°1466-2008	Aquifère principal		Détruit
WKBH 118a	495590.5	210920.1	Arrêté n°1466-2008	Aquifère principal		Actif
WKBH 113	495539.3	211227.6	Arrêté n°1466-2008	Aquifère principal		Détruit
WTBH 9	496847.6	210476.6	Arrêté n°1466-2008	Aquifère principal		Bouché
PP1 - A	494835	211429	Arrêté n°3690-2017	Aquitard latéritique	Proche	Actif
WKBH112A	495441	211554	Arrêté n°3690-2017	Aquitard latéritique		Actif
WKBH114A	495879	211127	Arrêté n°3690-2017	Aquitard latéritique		Actif
WKBH115B	496100	210899	Arrêté n°3690-2017	Aquitard latéritique		Détruit
PP5 - A	496386	210774	Arrêté n°3690-2017	Aquitard latéritique		Actif
WKBH116B	496424	210707	Arrêté n°3690-2017	Aquitard latéritique		Actif
WKBH117B	496361	210331	Arrêté n°3690-2017	Aquitard latéritique		Actif
WK 6-9A	495190.4	211086.3	Arrêté n°1466-2008	Aquitard latéritique		Actif
WK 6-11A	495478.8	210728.3	Arrêté n°1466-2008	Aquitard latéritique		Détruit
WK 6-12A	495642.2	210520.4	Arrêté n°1466-2008	Aquitard latéritique		Détruit
WKBH 102A	495572.6	210619	Arrêté n°1466-2008	Aquitard latéritique	Proche	Détruit
WK 6-10A	495439.8	211026	Arrêté n°1466-2008	Aquitard latéritique		Actif
WKBH 109A	495824	210558.7	Arrêté n°1466-2008	Aquitard latéritique		Détruit
WKBH 110B	495687.2	210674.7	Arrêté n°1466-2008	Aquitard latéritique		Détruit
WKBH 118b	495588.5	210919	Arrêté n°1466-2008	Aquitard latéritique		Actif
WKBH 113A	495540.4	211219.7	Arrêté n°1466-2008	Aquitard latéritique	Eloigné	Détruit
WK6-14	493803	209347	Arrêté n°3690-2017	Aquifère principal		Actif
WTBH11	496976	209200	Arrêté n°3690-2017	Aquifère principal		Actif
WTBH02	497472	209925	Arrêté n°3690-2017	Aquifère principal		Actif
WKBH 32	496571.5	211681.9	Arrêté n°1466-2008	Aquifère principal		Actif
12EX0083	495058	211869	Arrêté n°3690-2017	Aquifère principal		Actif
11EX0480	493107	211155	Arrêté n°3690-2017	Aquifère principal	Eloigné	Actif
WTBH11A	496974	209200	Arrêté n°3690-2017	Aquitard latéritique		Actif
11EX0560	495058	211869	Arrêté n°3690-2017	Aquitard latéritique		Actif
11EX0481	493106	211153	Arrêté n°3690-2017	Aquitard latéritique		Actif
Source WK17	495617	210613	Arrêté n°3690-2017	Sources	Sources	Actif
Source WK20	495673	210663	Arrêté n°3690-2017	Sources		Actif
Confluence WK17-20	195740	210666	Arrêté n°3690-2017	Sources		Actif

Figure 2 : Carte de localisation des piézomètres de suivi de l'impact de l'usine d'assèchement DWP2



1.1.3 Suivi de l'impact des activités de l'unité de préparation du minerai (UPM)

Au total, 4 piézomètres ont été installés pour le suivi des eaux souterraines de l'UPM, ils sont présentés dans le tableau 3 et la figure 3.

Tableau 3 : Localisation et description des points de suivi de l'UPM

Nom	Bassin Versant	Type de suivi	Raison d'être	RGN 91 Est	RGN 91 Nord
4-z1	Kwé Nord	Souterrain	Arrêté n°1467-2008/PS	498045,1	211694
4-z2	Kwé Ouest	Souterrain	Arrêté n°1467-2008/PS	498003,3	211658,5
4-z4	Kwé Ouest	Souterrain	Arrêté n°1467-2008/PS	497790,4	211651,0
4-z5	Kwé Ouest	Souterrain	Arrêté n°1467-2008/PS	497758,5	211493,8
4-z6	Kwé Ouest	Souterrain	-		
4-z6A	Kwé Ouest	Souterrain	-		

Le piézomètre 4-z1 a été installé pour suivre l'installation de dépôt d'hydrocarbure côté Kwé Nord. Aucun suivi ne sera reporté à partir de juin 2018, celui-ci a été détruit, il se trouvait au niveau de la plateforme d'excavation des terres souillées aux hydrocarbures.

Le piézomètre 4-z2 a été installé pour suivre l'installation de dépôt d'hydrocarbure côté Kwé Ouest. Aucun suivi ne sera reporté à partir de juin 2018, celui-ci a été détruit, il se trouvait au niveau de la plateforme d'excavation des terres souillées aux hydrocarbures.

En remplacement de ces deux piézomètres détruits à la suite de l'excavation des terres souillées, il a été proposé de mettre en place une nouvelle plateforme de contrôles en bordure immédiate de la zone excavée. Celle-ci comprend deux piézomètres permettant de suivre l'aquitard latéritique et l'aquifère profond saprolitique (respectivement 4-z6a et 4-z6). Les travaux de la plateforme ont été finalisés en fin octobre 2020. Les premiers résultats ont été collectés en 2021 et sont présentés dans ce rapport. Les résultats de suivi portent sur les hydrocarbures totaux et la demande chimique en oxygène.

Le piézomètre 4-z4 a été installé pour contrôler les eaux souterraines à proximité de l'aire de lavage des véhicules lourds.

Le piézomètre 4-z5 a été installé pour contrôler les eaux souterraines en aval de l'aire de l'atelier de maintenance.

Figure 3 : Carte de localisation des piézomètres de l'Unité de Préparation du Minerai



1.1.4 Suivi de l'impact des activités de l'usine

Au total, 16 piézomètres ont été installés pour le suivi des impacts des activités de l'usine sur les eaux souterraines ; ils sont présentés dans le tableau 4 et la figure 4.

Tableau 4 : Localisation et description des points de suivi de l'usine

Nom	Bassin Versant	Type de suivi	Raison d'être	RGN 91 Est	RGN 91 Nord
6-1	CBN	Aval des aires de stockage	Arrêté n°1467-2008/PS	493460	207246
6-1a	CBN	Aval des aires de stockage	Arrêté n°1467-2008/PS	493460	207246
6-2	CBN	Aval du site	Arrêté n°1467-2008/PS	493126	207428
6-2a	CBN	Aval du site	Arrêté n°1467-2008/PS	493126	207428
6-3	CBN	Aval de la station distribution du carburant	Arrêté n°1467-2008/PS	493753	206736
6-3a	CBN	Aval de la station distribution du carburant	Arrêté n°1467-2008/PS	493751	206733
6-4	CBN	Aval de la station de transit déchets et des cuves d'hydrocarbures	Arrêté n°1467-2008/PS	493827	206864
6-5	CBN	Aval du stockage d'acide sulfurique	Arrêté n°1467-2008/PS	494252	207902
6-6	CBN	Aval du stockage de gazole	Arrêté n°1467-2008/PS	494162	207810
6-7	CBN	Amont site industriel	Arrêté n°1467-2008/PS	494404	206981
6-7a	CBN	Amont site industriel	Arrêté n°1467-2008/PS	494404	206981
6-8	CBN	Aval du bassin de contrôle Nord	Arrêté n°1467-2008/PS	493553	207645
6-8a	CBN	Aval du bassin de contrôle Nord	Arrêté n°1467-2008/PS	493553	207645
6-13	CBN	Aval bassin eau de procédé	Arrêté n°1467-2008/PS	494456	207581
6-14	CBN	Aval stockage acide chlorhydrique	Arrêté n°1467-2008/PS	494014	207355
6-14a	CBN	Aval stockage acide chlorhydrique	Arrêté n°1467-2008/PS	494014	207355

Figure 4 : Carte de localisation des piézomètres de l'usine



1.2 Protocoles de mesure

1.2.1 Campagnes de mesures physico-chimiques

Des prélèvements sont effectués dans les piézomètres spécifiquement pour le suivi des eaux souterraines.

Le protocole d'échantillonnage des eaux souterraines est basé sur les recommandations des parties 3 et 11 de la norme ISO 5667 relatives à la conservation et la manipulation des échantillons d'eau (partie 3) et à l'échantillonnage des eaux souterraines (partie 11).

Il respecte en particulier les recommandations permettant d'assurer la représentativité de l'échantillonnage telle qu'elle est décrite dans la norme ISO 5667 partie 11 :

- la purge d'un volume d'eau égale à trois fois le volume compris dans le piézomètre (comprenant l'eau libre dans le tube ouvert et l'eau interstitielle du massif filtrant),
- la mesure de la conductivité et du pH de l'eau tout au long de la vidange.

Une exception est faite pour le prélèvement des échantillons destinés à la recherche de traces d'hydrocarbures qui est effectué avant la purge et en surface par écrémage conformément à la norme ISO 5667.

Les analyses sont réalisées par le laboratoire interne de PRNC accrédité COFRAC depuis le 2 octobre 2008. Cette accréditation porte sur les analyses des matières en suspension, des métaux dissous (méthode ICP/AES) et du chrome VI.

1.2.2 Mesures des paramètres physico-chimiques *in situ*

Les mesures *in situ* sont réalisées à l'aide du multi-paramètre portable *HachQ40d*. Cet appareil est composé d'une sonde de pH, d'une sonde pour la température et d'une sonde pour mesurer la conductivité.

Le pH est mesuré *in situ* selon la norme NF T90 008 et selon les recommandations précisées dans le mode d'emploi de l'appareil de mesure utilisé.

La conductivité et la température sont également mesurées *in situ* selon la procédure décrite dans le mode d'emploi de l'appareil de mesure utilisé.

1.2.3 Analyse des hydrocarbures

Les hydrocarbures sont analysés par le laboratoire PRNC selon la norme NF T 90 114. La méthode est nommée SPE02. La limite de détection est de 0.5 mg/kg. La méthode de détermination des hydrocarbures totaux par calcul, nommée SPE02CALC, est aussi appliquée en fonction du résultat de la Demande Chimique en Oxygène (SPE03). La limite de détection de cette méthode est de 10 mg/kg.

1.2.4 Analyse des paramètres physico-chimiques en solution

Les méthodes d'analyse pour les paramètres physico-chimiques réalisés sont décrites dans le tableau 5 ci-dessous.

Tableau 5 : Méthode d'analyse pour les paramètres physico-chimiques

Labo	Analyse	Unité	LD	Méthod e	Intitulé de la méthode	Norme
Interne	MES	mg/L	5	GRV02	Dosage des matières en suspension (MES)	NF EN 872 Juin 2005
Interne	pH		-	PH01	Mesure du pH	NF T90-008
Interne	Conductivité	µS/cm	5	CDT01	Mesure de la conductivité	
Interne	Cl	mg/L	0.1	ICS01	Analyse de 4 ou 6 anions par chromatographie ionique (chlorure, nitrate, phosphates, sulfate, fluorure et nitrate en plus si demandé)	NF EN ISO 10304-1
Interne	NO3	mg/L	0.2	ICS01		
Interne	SO4	mg/L	0.2	ICS01		
Interne	PO4	mg/L	0.2	ICS01		
Interne	F	mg/L	0.1	ICS01		
Interne	NO2	mg/L	0.1	ICS01		
Interne	Cl	g/l	0.01	TIT10	Titration de l'ion chlorure par potentiométrie	
Interne	DCO	mg/L	10	SPE03	Analyse de la DCO	Méthode HACH 8000
Interne	TAC as CaCO3	mg/L	2	TIT11	Titration de l'alcalinité (TA et TAC)	
Interne	TA as CaCO3	mg/L	2	TIT11		
Interne	CrVI	mg/L	0.01	SPE01	Analyse du chrome VI dissous dans les eaux naturelles et usées	NF T 90-043 Octobre 1988
Interne	Turbidité	NTU	0.1	TUR01	Mesure de la turbidité	
Interne	NH3	mg/L	0.5	SPE05	Dosage de l'ammonium dans les eaux	Méthode HACH 10205
Interne	COT	mg/L	0.3	SPE09	Dosage du Carbone Organique Total (COT) dans les eaux	NF EN 1484
Interne	SiO2	mg/L	1 de Si	CAL02	Calcul de SiO2 à partir de Si mesuré par ICP02	
Interne	NT	mg/L	0.5	SPE08	Dosage de l'azote total dans les eaux	NF EN 1484

Tableau 6 : Calculs d'alcalinité à partir des TA et TAC

	Hydroxyles	Carbonates	Hydrogénocarbonates
TA = 0	0	0	TAC
TA < TAC / 2	0	2 TA	TAC – 2 TA
TA = TAC / 2	0	2 TA	0
TA > TAC / 2	2 TA - TAC	2 (TAC - TA)	0
TA = TAC	TA	0	0

Le TA dose la totalité des hydroxydes et la moitié des carbonates qui sont alors entièrement transformés en hydrogénocarbonates à un pH de 8,3.

Le TAC correspond à la totalité des hydrogénocarbonates (bicarbonates) et des carbonates.

Il ne peut y avoir à la fois présence d'hydroxydes et d'hydrogénocarbonates, la réaction des deux formant des carbonates. Le tableau ci-dessus est applicable pour des eaux de composition courante. La présence significative d'autres anions particuliers (phosphates, borates, etc...) fausserait les relations établies par ce tableau.

1.2.5 Analyse des métaux

Les méthodes d'analyse des métaux dans les eaux douces sont indiquées dans le tableau 7.

Tableau 7 : Méthodes d'analyse pour les métaux

Labo	Analyse	Unité	LD	Méthode	Intitulé de la méthode	Norme
Interne	Al	mg/L	0.1	ICP02	Analyse des éléments dissous ou totaux (si demandé) dans les solutions aqueuses faiblement concentrées par ICP-AES	ISO 11885 Août 2007
Interne	As	mg/L	0.1	ICP02		
Interne	Ca	mg/L	1	ICP02		
Interne	Cd	mg/L	0.01	ICP02		
Interne	Co	mg/L	0.01	ICP02		
Interne	Cr	mg/L	0.01	ICP02		
Interne	Cu	mg/L	0.01	ICP02		
Interne	Fe	mg/L	0.1	ICP02		
Interne	K	mg/L	0.1	ICP02		
Interne	Mg	mg/L	0.1	ICP02		
Interne	Mn	mg/L	0.01	ICP02		
Interne	Na	mg/L	1	ICP02		
Interne	Ni	mg/L	0.01	ICP02		
Interne	P	mg/L	0.1	ICP02		
Interne	Pb	mg/L	0.01	ICP02		
Interne	S	mg/L	1	ICP02		
Interne	Si	mg/L	1	ICP02		
Interne	Sn	mg/L	0.01	ICP02		
Interne	Zn	mg/L	0.1	ICP02		

2 PRESENTATION DES RESULTATS

2.1 Rappel des valeurs réglementaires

2.1.1 Suivi de l'impact des activités du port sur les eaux souterraines

L'arrêté n°891-2007/PS du 13 juillet 2007 relatif aux installations portuaires ne mentionne pas de seuils réglementaires pour la qualité des eaux souterraines. Afin de vérifier l'impact du stockage d'hydrocarbures sur les eaux souterraines, des valeurs limites ont été établies en interne après analyses des résultats des suivis sur les eaux souterraines du Port. Ces valeurs sont indiquées dans le tableau 8 pour la composition des eaux souterraines.

Tableau 8 : Valeurs indicatives suivant l'arrêté n°891-2007/PS

Paramètre	Valeurs seuil
pH	5,5 < x < 9,5
Conductivité	-
DCO	100 mg/L
HT	10 mg/L

Les autres paramètres dont le suivi est imposé ne sont soumis à aucun seuil réglementaire de qualité des eaux souterraines.

2.1.2 Suivi de l'impact de l'usine d'assèchement de résidus puis du stockage de déchets sur les eaux souterraines et sources

Aucun seuil réglementaire de qualité des eaux n'est applicable pour le suivi des impacts de l'activité de l'usine d'assèchement de résidus et du stockage de déchets sur les eaux souterraines et sources.

2.1.3 Suivi de l'impact des activités de l'unité de préparation du minerai (UPM) sur les eaux souterraines

Aucun seuil réglementaire de qualité des eaux souterraines n'est imposé dans l'arrêté N°1467-2008/PS du 9 octobre 2008 pour le suivi des impacts de l'activité de l'Unité de Préparation du Minerai.

2.1.4 Suivi de l'impact des activités de l'usine sur les eaux souterraines

Aucun seuil réglementaire de qualité des eaux souterraines n'est applicable pour le suivi des impacts de l'activité de l'usine.

2.2 Bilan des campagnes de mesure

Pour le suivi des eaux souterraines en aval du parc à résidus de la Kwé ouest et de l'unité d'assèchement des résidus, deux campagnes d'échantillonnage semestrielles ont été réalisées en juin et novembre-décembre 2021. Les campagnes mensuelles ont débuté partiellement à partir de février 2021 en raison du blocage du site industriel et en totalité à partir d'avril 2021 jusqu'en 2022.

La 1^{ère} campagne semestrielle de 2022 s'est déroulée au cours du mois de juin.

Les campagnes trimestrielles pour le suivi des installations du port, de l'usine et de l'unité de préparation du minerai ont été réalisées au mois de janvier/mars, mai, août et novembre 2021.

2.2.1 Données disponibles pour le Port

Les campagnes pour le suivi des installations du Port ont toutes été réalisées en 2021 et durant le 1^{er} semestre 2022. Le taux de données disponibles est présenté dans le tableau 10.

Tableau 10 : Données disponibles pour le suivi des eaux souterraines pour le Port

7-1, 7-2, 7-3		1/01/2021 - 01/07/2022							1/01/2021 - 01/07/2022	
Fréquence	Analyses	janv-21	mai-21	août-21	nov-21	févr-22	mai-22	Nombre d'analyses attendues	Nombre d'analyses réalisées	
Trimestrielle	pH	6	6	6	6	3	3	30	30	
Trimestrielle	Conductivité	6	6	6	6	3	3	30	30	
Trimestrielle	DCO	6	6	6	6	3	3	30	30	
Trimestrielle	HT	6	6	6	6	3	3	30	30	
Nombre total d'analyses réalisées								120		
% analyses réalisées								100.0		

2.2.2 Données disponibles pour le parc à résidus de la Kwé Ouest et l'unité d'assèchement des résidus

Le suivi des piézomètres de la Kwé Ouest est effectué à fréquence semestrielle, mensuelle et continue.

Les taux de données disponibles des campagnes de suivi mensuel en 2021 et durant le 1^{er} semestre 2022 sont présentés dans le tableau 11.

Les taux de données disponibles des campagnes de suivi semestriel en 2021 et durant le 1^{er} semestre 2022 sont présentés dans le tableau 12.

Tableau 11 : Données disponibles sur les huit piézomètres de la Kwé Ouest à fréquence de suivi mensuel et continu

WKBH114, WKBH114A, WKBH115, WKBH115B, PP5-A, PP5-B, WKBH116, WKBH116B		01/01/2021 - 01/07/2022																		Annuel 2021 et semestriel 2022	
Fréquence	Analyses	janv-21	févr-21	mars-21	avr-21	mai-21	juin-21	juil-21	août-21	sept-21	oct-21	nov-21	déc-21	janv-22	févr-22	mars-22	avr-22	mai-22	juin-22	Nbre données attendues	Nbre données réalisées
Continu	Cond /Tempé	Le taux de disponibilité des données est faible pour le piézomètre PP5-B (piézomètre osbtrué) , WKBH115 et WKBH115B (piézomètres détruits)																		104832	84151
Mensuelle	Sulfates	0	4	0	7	7	7	7	7	7	5	5	7	5	3	5	5	5	5	144	91
Mensuelle	Magnésium	0	4	0	7	7	7	7	7	5	5	5	7	5	3	5	5	5	5	144	91
Mensuelle	Calcium	0	4	0	7	7	7	7	7	5	5	5	7	5	3	5	5	5	5	144	91
Mensuelle	Manganèse	0	4	0	7	7	7	7	7	5	5	5	7	5	3	5	5	5	5	144	91
																				% de mesures continues de cond réalisées	
																				80.3	
																				Nombre total d'analyses réalisées	
																				364	
																				% analyses réalisées	
																				63	

La campagne de prélèvement mensuel de janvier 2021 n'a pu être réalisée en raison du blocage du site industriel et les prélèvements mensuels de mars 2021 n'ont pu être effectués en raison de l'indisponibilité des pompes de prélèvement placées en maintenance.

Pour les autres campagnes mensuelles, les prélèvements n'ont pas pu être réalisés suite à des problèmes d'accès aux plateformes ou encore suite à la destruction des piézomètres liée à l'avancée des travaux de construction de DWP2 (WKBH115 et WKBH115B).

Tableau 12 : Données disponibles sur les piézomètres de la Kwé Ouest à fréquence de suivi semestriel en 2021 et au 1^{er} semestre 2022

Aquitard Latéritique proche: PP1-A, WKBH112A, WKBH114A, WKBH115B, PP5-A, WKBH116B, WKBH117B			Aquifère principal proche: PP1-B, WKBH112, WKBH114, WKBH115, WKBH115A, PP5-B, WKBH116, WKBH116A			Aquitard latéritique éloigné: WTBH11A, 11EX0560, 11EX0481			Aquifère principal éloigné: WK6-14, WTBH11, WTBH02, 12EX0083, 11EX0480			
	Attendu	Réalisé	%	Attendu	Réalisé	%	Attendu	Réalisé	%	Attendu	Réalisé	%
pH	21	21	100	24	18	75	9	8	89	15	14	93
cond	21	21	100	24	18	75	9	8	89	15	14	93
Eh	21	21	100	24	18	75	9	8	89	15	14	93
O ² Dissous	21	21	100	24	18	75	9	8	89	15	14	93
Al	21	21	100	24	18	75	9	8	89	15	14	93
As	21	21	100	24	18	75	9	8	89	15	14	93
Ca	21	21	100	24	18	75	9	8	89	15	14	93
Cl	21	21	100	24	18	75	9	8	89	15	14	93
Co	21	21	100	24	18	75	9	8	89	15	14	93
Cr	21	21	100	24	18	75	9	8	89	15	14	93
CrVI	21	21	100	24	18	75	9	8	89	15	14	93
Cu	21	21	100	24	18	75	9	8	89	15	14	93
Fe	21	21	100	24	18	75	9	8	89	15	14	93
HCO ₃ -	21	21	100	24	18	75	9	8	89	15	14	93
K	21	21	100	24	18	75	9	8	89	15	14	93
Mg	21	21	100	24	18	75	9	8	89	15	14	93
Na	21	21	100	24	18	75	9	8	89	15	14	93
Ni	21	21	100	24	18	75	9	8	89	15	14	93
NO ₂	21	21	100	24	18	75	9	8	89	15	14	93
NO ₃	21	21	100	24	18	75	9	8	89	15	14	93
NH ₄	21	21	100	24	18	75	9	8	89	15	14	93
Pb	21	21	100	24	18	75	9	8	89	15	14	93
PO ₄	21	21	100	24	18	75	9	8	89	15	14	93
SiO ₂	21	21	100	24	18	75	9	8	89	15	14	93
SO ₄	21	21	100	24	18	75	9	8	89	15	14	93
Zn	21	21	100	24	18	75	9	8	89	15	14	93
Mn	21	21	100	24	18	75	9	8	89	15	14	93
F	21	21	100	24	18	75	9	8	89	15	14	93
DCO	21	21	100	24	18	75	9	8	89	15	14	93
HT	21	21	100	24	18	75	9	8	89	15	14	93
% d'analyses réalisées		100	% d'analyses réalisées		75	% d'analyses réalisées		89	% d'analyses réalisées		93	

Certains paramètres ne sont pas mesurés ou sont calculés :

- **MES** : étant donné que la méthode de pompage génère la mise en suspension des sédiments, l'analyse des MES n'est pas réalisée pour les prélèvements d'eau souterraine car elle n'est pas représentative.
- Le **HCO₃⁻** est obtenu par calcul à partir des mesures de TA et TAC.

Les taux de données disponibles des campagnes de suivi mensuel des résurgences de la Kwé Ouest en 2021 et au cours du 1^{er} semestre 2022 sont présentés dans le tableau 13.

Tableau 13 : Données disponibles pour le suivi des résurgences de la Kwé Ouest

Sources WK17, WK20 et confluence WK17-20		01/01/2021 - 01/07/2022																			Annuel 2021 et semestriel 2022	
Fréquence	Analyses	Janv-21	févr-21	mars-21	avr-21	mai-21	juin-21	juil-21	août-21	sept-21	oct-21	nov-21	déc-21	janv-22	févr-22	mars-22	avr-22	mai-22	juin-22	Nombre analyses attendues	Nombre analyses réalisées	
Continu	Hauteur d'eau	Total annuel et 1er semestre 2022 (Suivi à fréquence horaire de la conductivité pour WK20 et WK17-20 (Troll), à fréquence 5 minutes pour WK17 (ISCO))																			183456	70957
Continu	Conductivité	Total semestre (Suivi à fréquence horaire de la conductivité WK17, WK20 et WK17-20, Troll))																			39312	17656
Bihebdo	pH	0	15	15	24	27	21	27	27	24	21	28	24	26	21	27	21	30	24	468	402	
Bihebdo	Conductivité	0	15	15	24	27	21	27	27	24	21	28	24	26	21	27	21	30	24	468	402	
Bihebdo	MES	0	15	15	24	27	21	27	27	24	21	28	24	26	21	27	21	30	24	468	402	
Bihebdo	Sulfates	0	15	15	24	27	21	27	27	24	21	28	24	26	21	27	21	30	24	468	402	
Bihebdo	Nickel	0	15	15	24	27	21	27	27	24	21	28	24	26	21	27	21	30	24	468	402	
Bihebdo	Chrome	0	15	15	24	27	21	27	27	24	21	28	24	26	21	27	21	30	24	468	402	
Bihebdo	Manganèse	0	15	15	24	27	21	27	27	24	21	28	24	26	21	27	21	30	24	468	402	
Semestriel	pH,Eh,T°, Cond, O ₂ disous	-	-	-	3	-	-	-	-	-	-	3	-	-	-	-	-	3	-	9	9	
Semestriel	Alcalinité	-	-	-	3	-	-	-	-	-	-	3	-	-	-	-	-	3	-	9	9	
Semestriel	Anions majeurs	-	-	-	3	-	-	-	-	-	-	3	-	-	-	-	-	3	-	9	9	
Semestriel	Cations majeurs	-	-	-	3	-	-	-	-	-	-	3	-	-	-	-	-	3	-	9	9	
Semestriel	Métaux	-	-	-	3	-	-	-	-	-	-	3	-	-	-	-	-	3	-	9	9	
Semestriel	Silice	-	-	-	3	-	-	-	-	-	-	3	-	-	-	-	-	3	-	9	9	
Semestriel	DCO+HT	-	-	-	3	-	-	-	-	-	-	3	-	-	-	-	-	3	-	9	9	
% de mesures continues de cond réalisées																				40		
Nombre total d'analyses réalisées																				2877		
% analyses réalisées																				86		

Suite au blocage du site industriel, le suivi hebdomadaire des sources en aval du bassin à résidus KO2 a repris progressivement à partir de février de 2021.

2.2.3 Données disponibles pour l'Unité de Préparation du Minerai

Le suivi des eaux souterraines de l'UPM est réalisé à fréquence trimestrielle. Le taux de données disponibles est présenté dans le tableau 14.

Tableau 14 : Données disponibles pour le suivi des eaux souterraines de l'UPM

4-z4, 4-z5 (destruction des piézomètres 4-z1, 4-z2)		01/01/2021-01/07/2022						Annuel 2021 et semestriel 2022	
Fréquence	Analyses	Fev/Mars - 21	mai-21	août-21	nov-21	févr-22	mai-22	Nombre analyses attendues	Nombre analyses réalisés
Trimestrielle	pH	2	2	2	2	2	2	12	12
Trimestrielle	Conductivité	2	2	2	2	2	2	12	12
Trimestrielle	DCO	2	2	2	2	2	2	12	12
Trimestrielle	Sulfates	2	2	2	2	2	2	12	12
Trimestrielle	Chrome VI	2	2	2	2	2	2	12	12
Trimestrielle	Calcium	2	2	2	2	2	2	12	12
Trimestrielle	Potassium	2	2	2	2	2	2	12	12
Trimestrielle	Sodium	2	2	2	2	2	2	12	12
Trimestrielle	TA	2	2	2	2	2	2	12	12
Trimestrielle	TAC	2	2	2	2	2	2	12	12
Trimestrielle	Chlorures	2	2	2	2	2	2	12	12
Trimestrielle	HT	2	2	2	2	2	2	12	12
		Nombre total d'analyses réalisées						144	
		% analyses réalisées						100	

Pour rappel, les piézomètres 4-z1 et 4-z2 ont été démantelés en 2018 car ils se trouvaient dans la zone d'excavation de la zone polluée par hydrocarbures.

2.2.4 Données disponibles pour l'Usine

Le suivi des eaux souterraines de l'Usine est réalisé à fréquence trimestrielle. Le taux de données disponibles est présenté dans le tableau 15.

Tableau 15 : Données disponibles pour le suivi des eaux souterraines de l'Usine

6-1, 6-1a, 6-2, 6-2a, 6-3, 6-3a, 6-4, 6-5, 6-6, 6-7, 6-7a, 6-8, 6-8a, 6-13, 6-14, 6-14a		01/01/2021-01/07/2022						Annuel 2021 et semestriel 2022	
Fréquence	Analyses	Janv/Mars-21	mai-21	août-21	nov-21	févr-22	mai-22	Nombre analyses attendues	Nombre analyses réalisées
Trimestrielle	pH	14	15	14	15	15	16	96	89
Trimestrielle	Conductivité	14	15	14	15	15	16	96	89
Trimestrielle	DCO	14	15	14	15	15	16	96	89
Trimestrielle	Sulfates	14	15	14	15	15	16	96	89
Trimestrielle	Chrome VI	14	15	14	15	15	16	96	89
Trimestrielle	Calcium	14	15	14	15	15	16	96	89
Trimestrielle	Potassium	14	15	14	15	15	16	96	89
Trimestrielle	Sodium	14	15	14	15	15	16	96	89
Trimestrielle	TA	14	15	14	15	15	16	96	89
Trimestrielle	TAC	14	15	14	15	15	16	96	89
Trimestrielle	Chlorures	14	15	14	15	15	16	96	89
Trimestrielle	HT	14	15	14	15	15	16	96	89
								Nombre total d'analyses réalisées	1068
								% analyses réalisées	92.7

Certains prélèvements n'ont pu se faire en raison de l'assèchement de la nappe en 2021. Il s'agit des prélèvements aux piézomètres 6-3A (en février, août et novembre) et 6-7A (en février et novembre).

2.3 Résultats

2.3.1 Suivi de l'impact des activités du Port sur les eaux souterraines

Les graphiques présentés ci-après indiquent les valeurs obtenues lors du suivi des eaux souterraines du port.

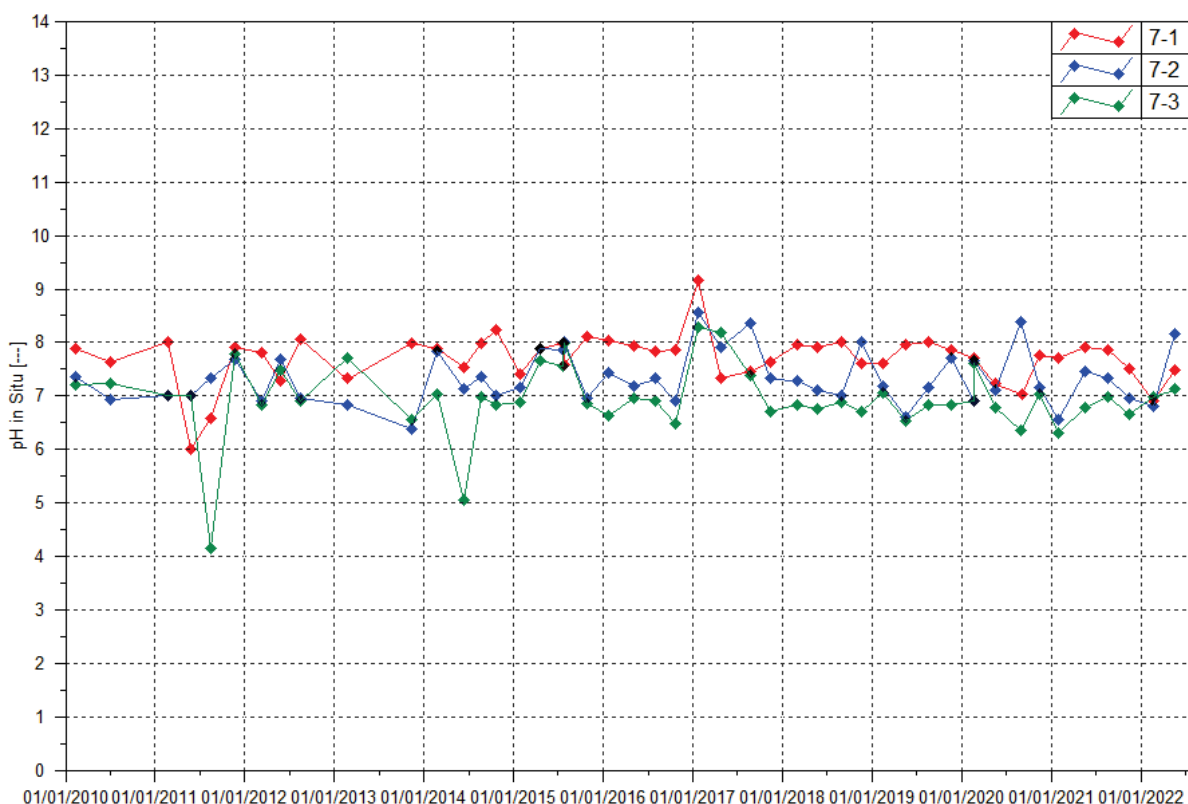
pH : compris entre 6.36 et 8.39 entre le 1^{er} janvier 2021 et le 1^{er} juillet 2022

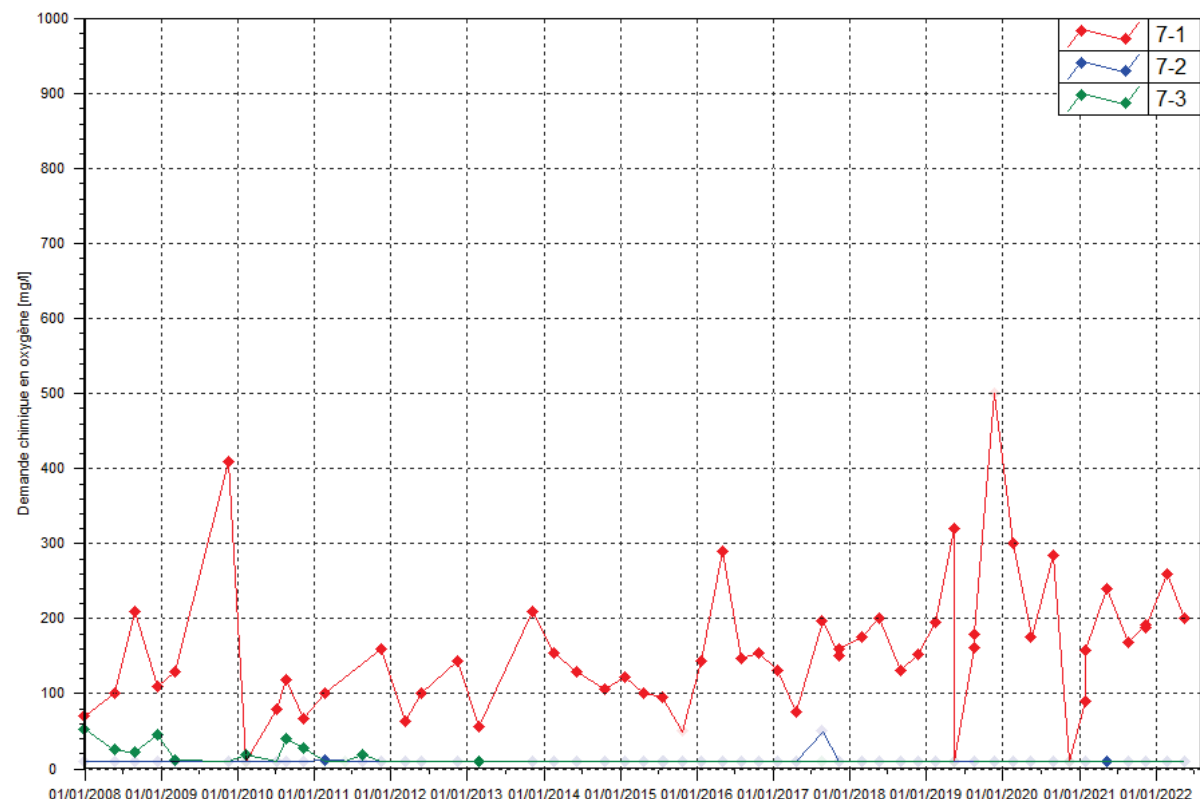
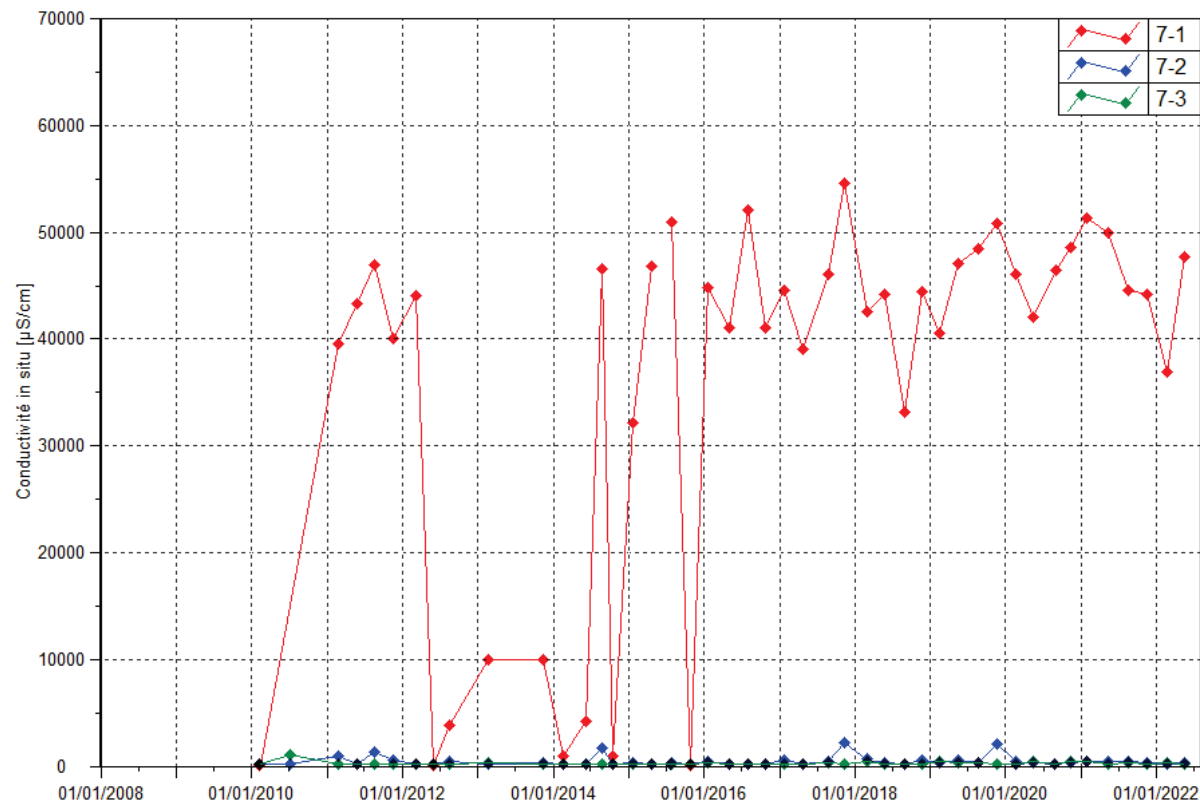
Conductivité : les relevés de 2021 et du 1^{er} semestre 2022 sont identiques aux normales mesurées aux piézomètres 7-2 et 7-3. Les mesures de conductivité au piézomètre 7-1 sont toujours élevées en raison de l'intrusion d'eau de mer.

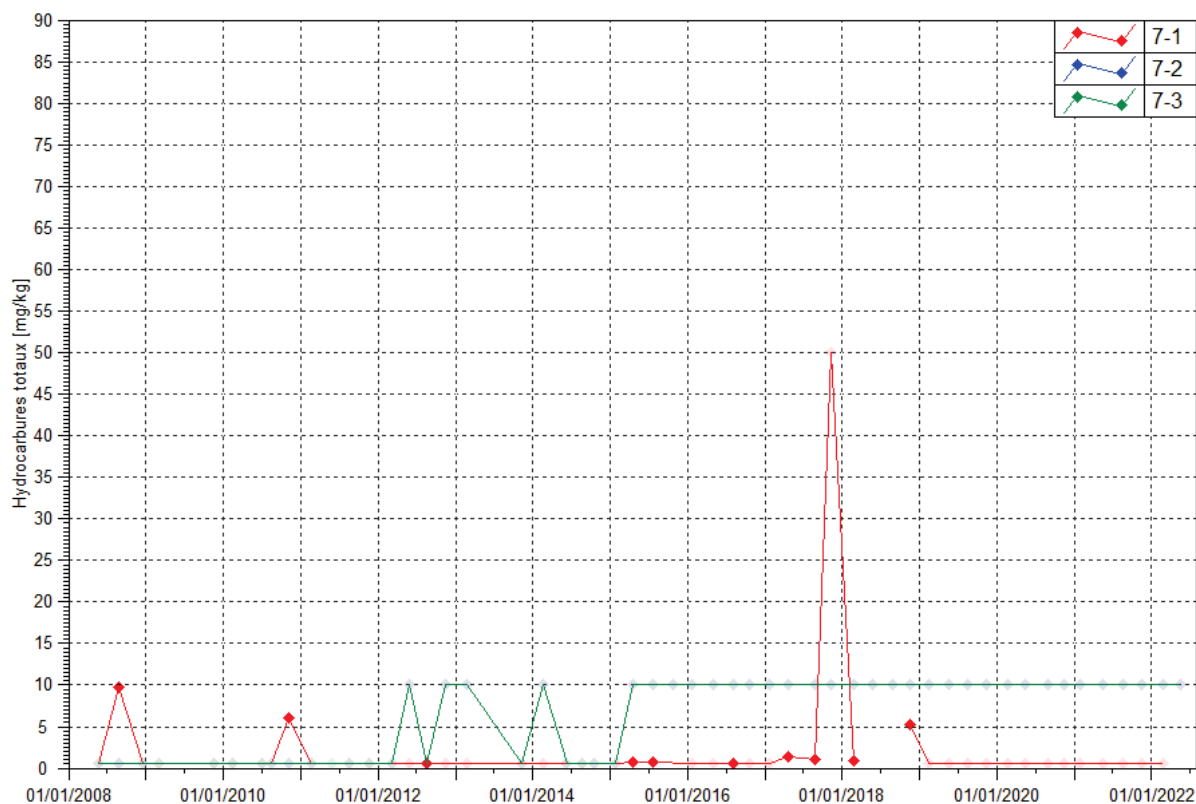
DCO : Les résultats sont comparables aux années précédentes.

Hydrocarbures : les hydrocarbures ne sont pas détectés en 2021 et au cours du 1^{er} semestre 2022.

Figure 5 : Résultats du suivi du Port – pH, Conductivité, HT et DCO







2.3.2 Suivi de l'impact des activités du stockage des résidus sur les eaux souterraines de la Kwé Ouest

2.3.2.1 Eaux souterraines

L'annexe I présente graphiquement les résultats du suivi des eaux souterraines de la Kwé Ouest pour l'ensemble des paramètres exploitables depuis 2008 : sodium, potassium, calcium, magnésium, ammoniac, nickel, chrome, silice, oxygène dissous et potentiel d'oxydo-réduction, titre alcalimétrique complet.

Les éléments suivants ne sont jamais détectés ou rarement détectés dans les eaux souterraines de la Kwé Ouest en 2021 et au cours du 1^{er} semestre 2022 : aluminium, cadmium, cuivre, fer, zinc, nitrites, titre alcalimétrique, phosphates et fluorures, DCO et HT. Les valeurs détectées pour ces paramètres sont équivalentes à la limite de détection et ne sont pas indicatrices de pollution ou d'impact particulier. On peut toutefois préciser pour les paramètres suivants :

- Cuivre : la maximale en cuivre de 0.06 mg/l est mesuré au piézomètre 11EX0560 lors du contrôle de juin 2021. Le suivi au niveau de ce piézomètre a débuté en juin 2018 à fréquence semestrielle. Le cuivre n'avait jamais été détecté au niveau de ce piézomètre. Le cuivre n'est pas détecté lors des contrôles qui ont suivi.
- Fer : une concentration de 1 mg/l est ponctuellement relevée lors du contrôle bihebdomadaire du 7 avril 2022 à la source WK20. Cette concentration correspond à la maximale relevée depuis le début des suivis au niveau de la source WK20. Au niveau de la confluence des sources, à la station nommée WK17-20, le fer n'est pas détecté à cette même date.
- L'ammoniac : la concentration maximale de 0.3 mg/l est mesurée ponctuellement au piézomètre PP5-A le 16 décembre 2021. Les suivis ont débuté en juin 2019 sur ce piézomètre à fréquence semestrielle.
- Plomb : les concentrations maximales de 0.02 mg/l pour cette période sont relevées au piézomètre WKBH103 et à la confluence des sources nommée WK17-20. Les concentrations mesurées en plomb sont équivalentes à la limite de détection.

- L'arsenic : la concentration maximale est de 0.03 mg/l dans les eaux souterraines de la Kwe Ouest. Cette concentration est relevée au piézomètre WK17. Les concentrations relevées sont équivalentes à la limite de détection. Depuis juillet 2018, l'arsenic est détecté au niveau des sources WK17 et K20. Les concentrations détectées sont faibles et sont en majorité équivalentes à la limite de détection du laboratoire, soit 0.02 mg/l.
- L'étain : les concentrations oscillent entre 0.01 et 0.04 mg/l dans les eaux souterraines de la Kwe ouest.

Les principales observations sont résumées ci-dessous ainsi que les figures correspondantes.

2.3.2.1.1 Suivi de l'aquifère principal proche :

pH : compris en 5.8 et 8.3 en 2021. Durant le 1^{er} semestre 2022, le pH est compris entre 6.1 et 7.8.

Conductivité : comprise entre 102 et 212 µS/cm en 2021. Elle est comprise entre 108 et 216 µS/cm au cours du 1^{er} semestre 2022. Les maximales sont enregistrées au niveau du piézomètre WKBH118A. Les mesures pour ce piézomètre indiquent une tendance à la hausse de la conductivité depuis 2017. On peut également noter une légère augmentation ponctuelle de la conductivité au piézomètre WKBH116 lors du contrôle mars 2022.

Sulfates : les concentrations oscillent entre 1.4 et 34 mg/L dans l'aquifère principale proche en 2021. Au 1^{er} semestre 2022, les concentrations oscillent entre 1.5 et 31.8 mg/l. Les concentrations maximales sont enregistrées au piézomètre WKBH118A. Depuis 2008, les sulfates sont en augmentation lente et constante au niveau du piézomètre WKBK118A. En novembre 2021, on note une légère baisse de la concentration en sulfates mais en 2022, la teneur en sulfates est de nouveau en hausse. Au WK6-9, les sulfates sont également en légère hausse depuis 2016 mais depuis juin 2021, les sulfates se stabilisent. Au piézomètre PP1-B, une légère hausse des concentrations en sulfates est enregistrée en décembre 2021. De manière générale, les concentrations en sulfates sont stables pour l'ensemble des autres piézomètres de cette aquifère en 2021 et au cours du 1^{er} semestre 2022.

Nitrates : les résultats de l'ensemble des piézomètres de ce groupe indiquent des concentrations en nitrates globalement stables depuis le début des suivis. Dans cette aquifère, les teneurs en nitrates oscillent entre 0.4 et 3.8 mg/l en 2021. Au cours du 1^{er} semestre 2022, elles oscillent entre 0.7 et 3.6 mg/l. De légères fluctuations sont enregistrées en 2021 aux piézomètres WKBH115A et WK6-9. Au piézomètre WKBH118A, les concentrations en sulfates sont en légère hausse à partir de 2020. Même si une baisse est relevée en novembre 2021, les nitrates sont de nouveau en hausse légère en 2022.

Chlorures : Dans cette aquifère, les teneurs en chlorures oscillent entre 7.9 et 13.5 mg/l en 2021. Au cours du 1^{er} semestre 2022, elles oscillent entre 9.2 et 13.9 mg/l. Les contrôles pour l'ensemble des piézomètres de ce groupe indiquent des concentrations en chlorures globalement stables depuis 2015. Au piézomètre WKBH118A, les concentrations en chlorures augmentent légèrement à partir de 2021 même si une diminution est relevée en novembre 2021, le contrôle de juin 2022 indique de nouveau une hausse des chlorures.

Manganèse : en 2021, le manganèse est seulement détecté au piézomètre WKBH116. Les teneurs quantifiées sont équivalentes à 0.02 mg/l. En 2022, il est ponctuellement détecté au piézomètre WKBH116, soit 0.01 mg/l, correspondant à la limite de détection du laboratoire.

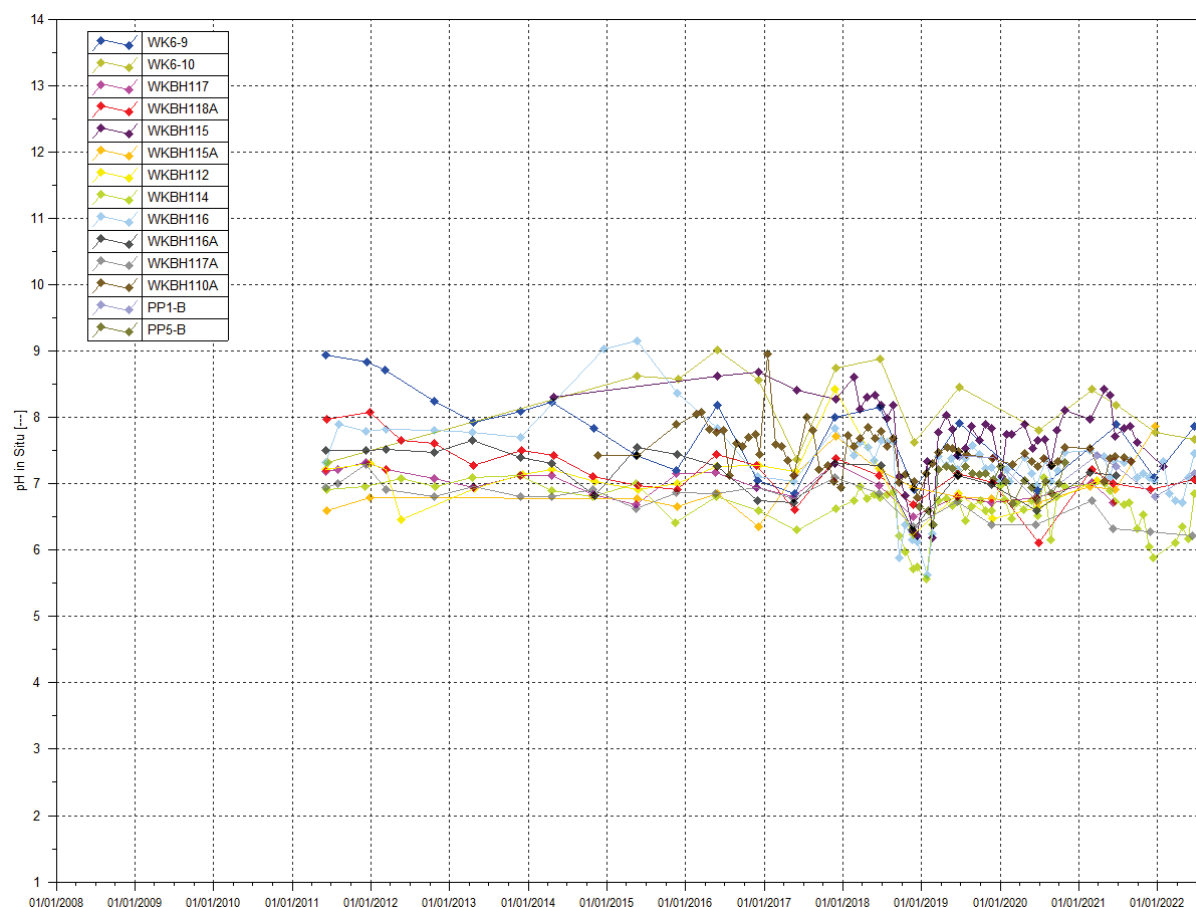
Magnésium : en concordance avec l'évolution des sulfates, les résultats montrent une tendance légère à l'augmentation des concentrations en magnésium au niveau du piézomètre WKBK118A depuis 2008. A WK6-9, les teneurs en magnésium sont également en hausse légère depuis 2016. Globalement les résultats des autres piézomètres de suivi de cette aquifère montrent une stabilité des concentrations en magnésium.

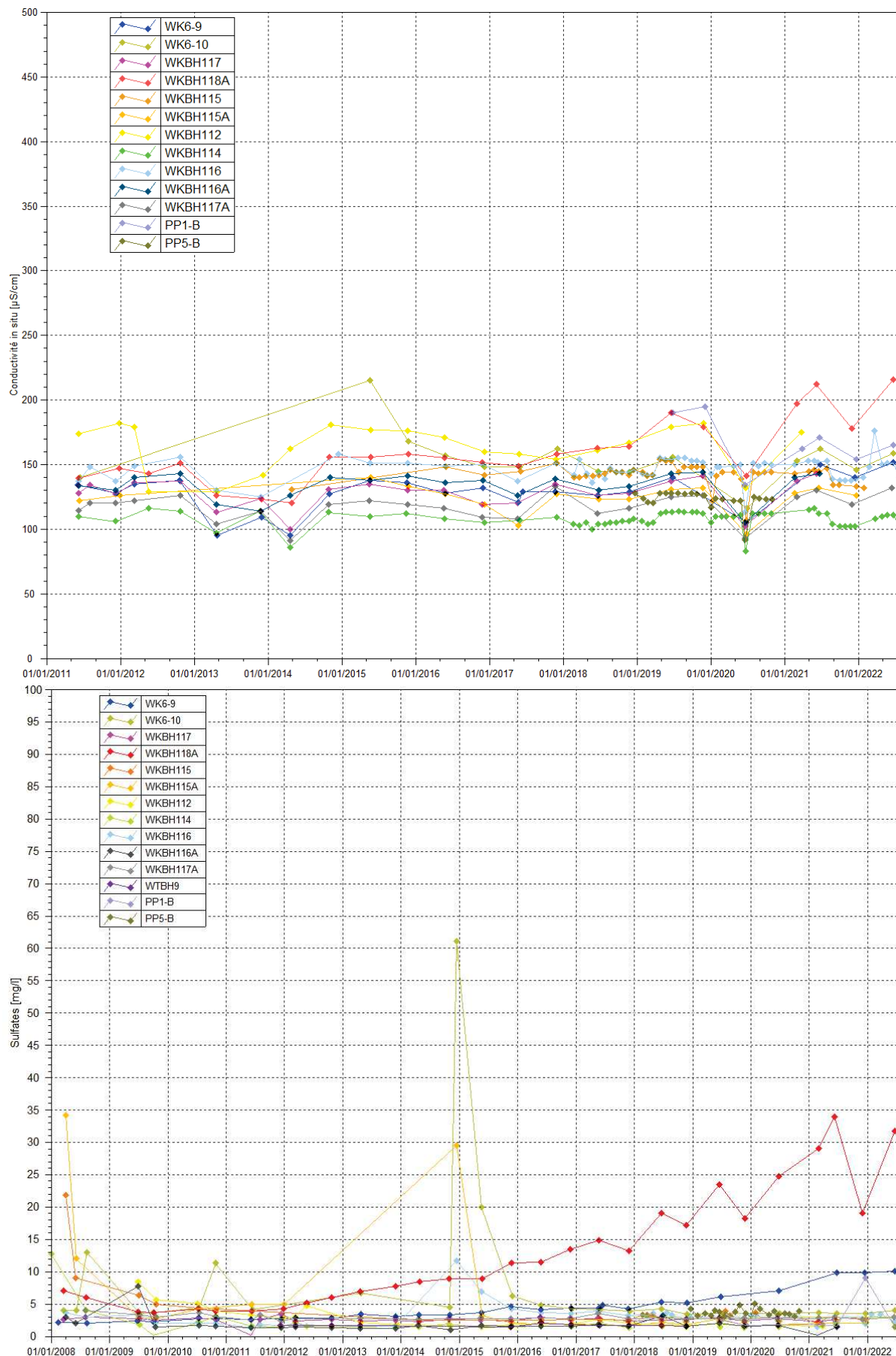
Nickel : en 2021 et durant le 1^{er} semestre 2022, les concentrations en nickel sont stables dans l'aquifère principal proche de la berme. Les teneurs sont comprises entre 0.01 et 0.08 mg/l.

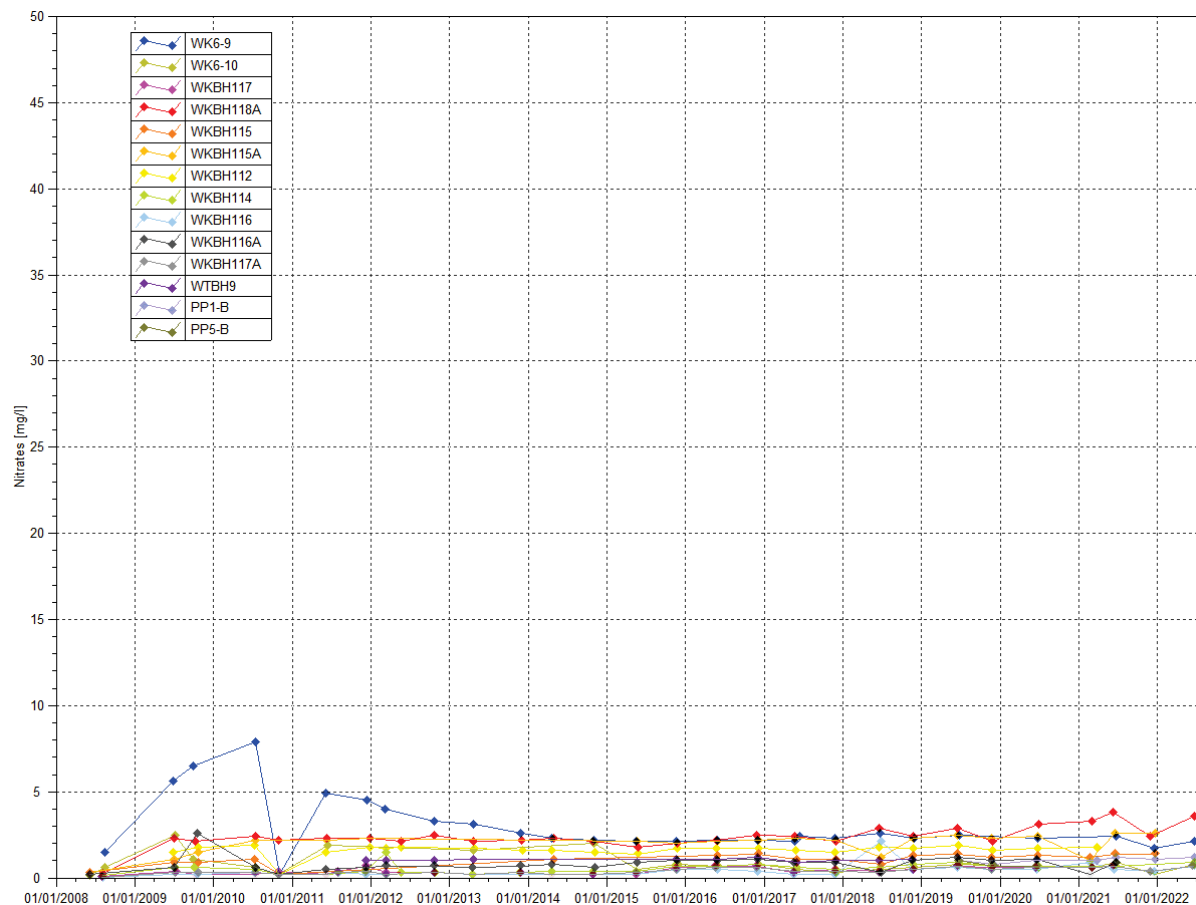
Chrome : Les teneurs sont stables depuis 2018 à l'exception d'un pic observé au piézomètre WKBH114 lors du contrôle mensuel de mai 2022. Une concentration de 0.23 mg/l est relevée à cette date.

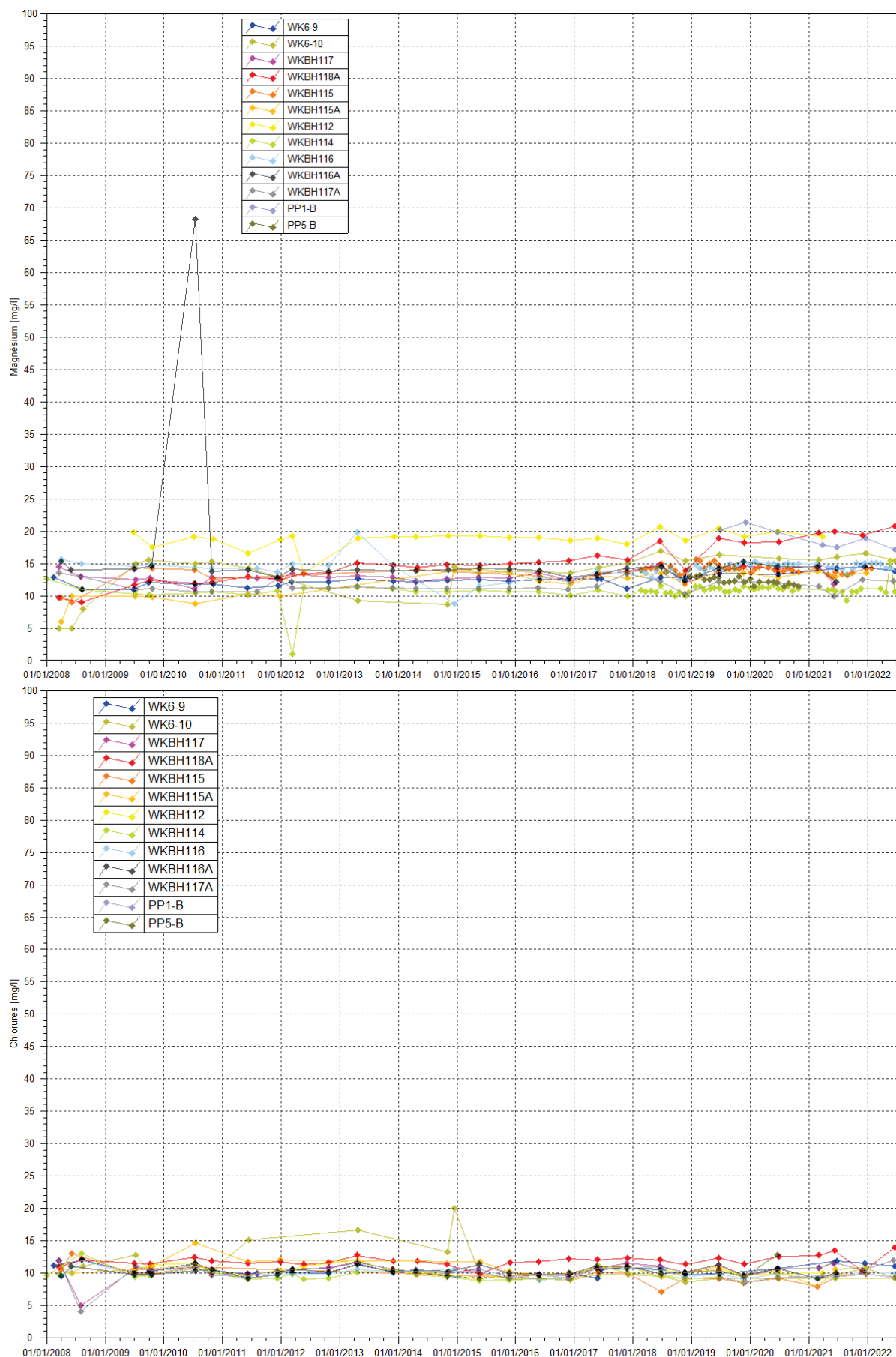
Les graphiques illustrant les résultats du suivi de la Kwé Ouest pour les piézomètres relevant du groupe de suivi de l'aquifère principal proche sont présentés à la Figure 6.

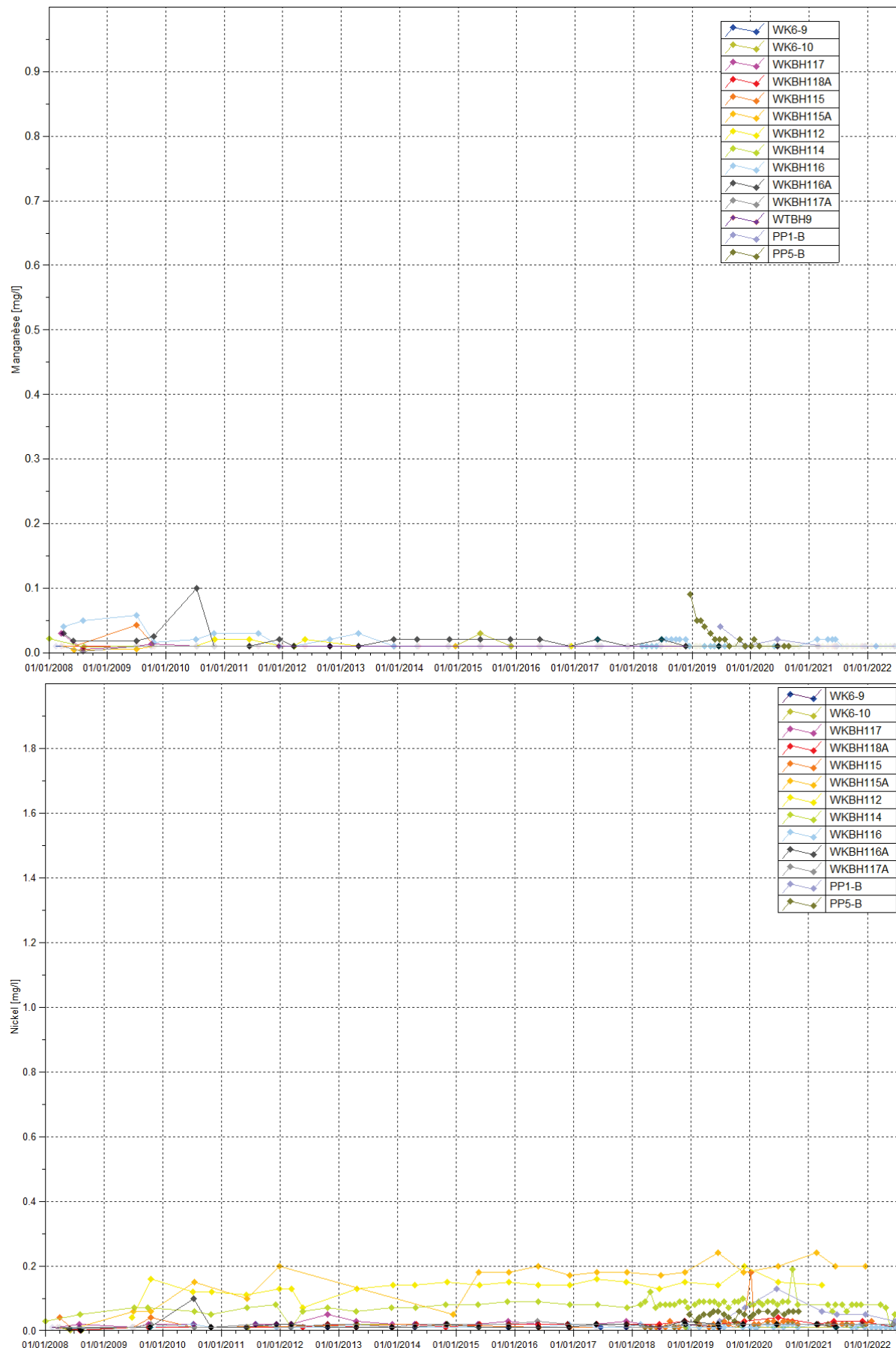
Figure 6 : Résultats du suivi de l'aquifère principal proche– pH, conductivité, nitrates, sulfates, chlorures, manganèse, magnésium, nickel et chrome

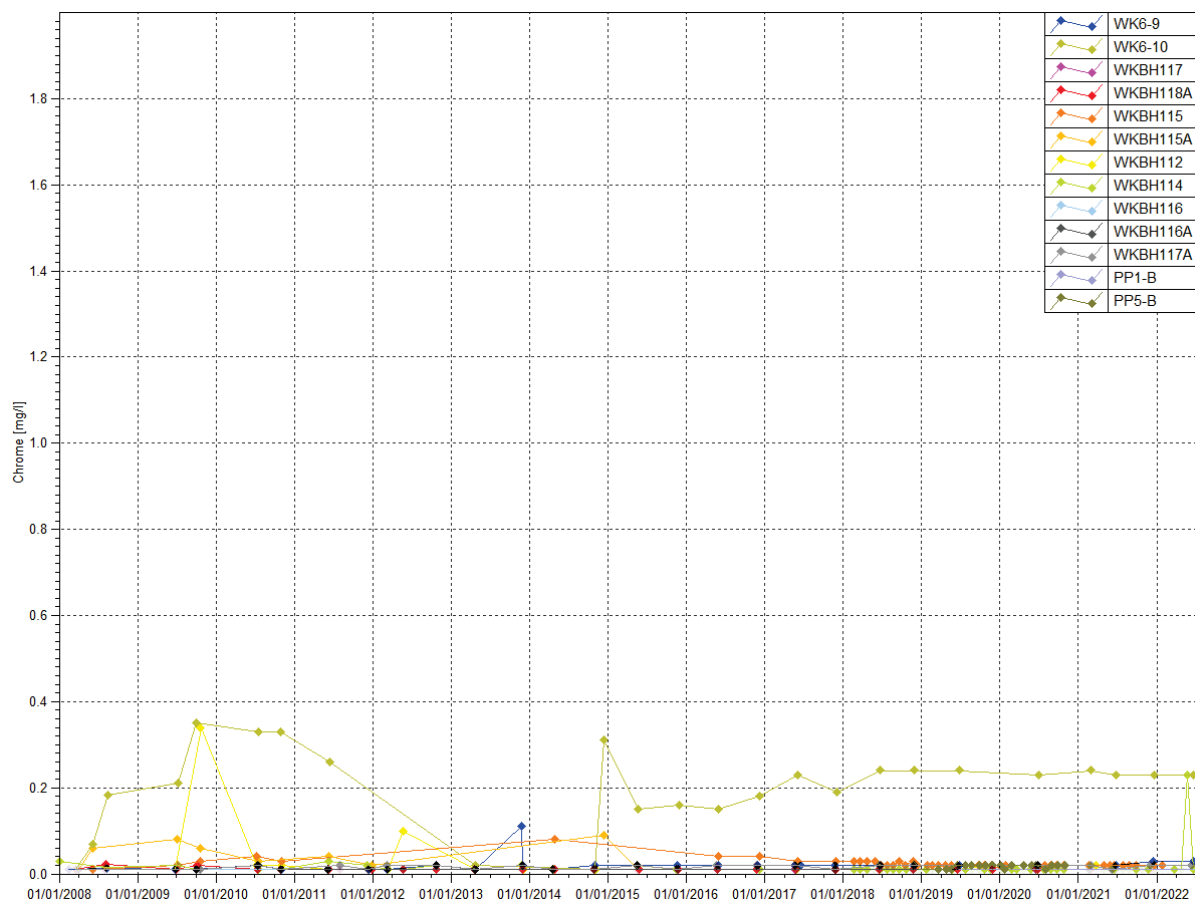












2.3.2.1.2 Suivi de l'aquitard latéritique proche :

pH : compris entre 3.9 et 6.8 en 2021. Durant le 1^{er} semestre 2022, le pH est compris entre 4 et 7.2. Les valeurs minimales sont toujours enregistrées au piézomètre WKBH114A. Au piézomètre PP5-A et WKBH116B, on note un pH neutre de l'ordre de 7.2 en janvier 2022. Il est généralement mesuré au niveau de ces piézomètres des pH plus acides, compris entre 4.5 et 6.

Conductivité : compris entre 45 et 157 µS/cm en 2021 et entre 46 et 144 µS/cm durant le 1^{er} semestre 2022. Les résultats de 2021 et 2022 indiquent une légère baisse de la conductivité au piézomètre PP5-A puis une stabilisation alors qu'une tendance légère à la hausse était enregistrée depuis juillet 2019. On peut noter également une hausse de la conductivité au piézomètre PP1-A, WK6-10A et WKBH117B en 2021-2022. Au niveau des autres piézomètres du groupe, les relevés ne révèlent aucune évolution particulière.

Sulfates : les teneurs pour ce groupe sont comprises entre 0.7 et 25 mg/L entre le 1^{er} janvier 2021 et le 1^{er} juillet 2022. Les maximales sont enregistrées au piézomètre PP1-A. En corrélation avec la conductivité, une tendance légère à la hausse des sulfates est enregistrée aux piézomètres PP1-A, WK6-10A.

Chlorures : Les teneurs en chlorures sont comprises entre 7.2 et 23.4 mg/L. Les concentrations relevées en 2021 et 2022 pour ce groupe n'indiquent aucune évolution particulière. Toutefois, les teneurs en chlorures au niveau du piézomètre PP1-A sont en hausse en 2021 et 2022.

Nitrates : Les teneurs sont faibles et sont comprises entre 0.4 et 3.8 mg/l entre le 1^{er} janvier 2021 et le 1^{er} juillet 2022. Cependant, les résultats de 2021 et 2022 indiquent une augmentation légère et progressive aux piézomètres PP1-A et WK6-9A. Aucune évolution particulière n'est à signaler au niveau des autres piézomètres de cet aquitard.

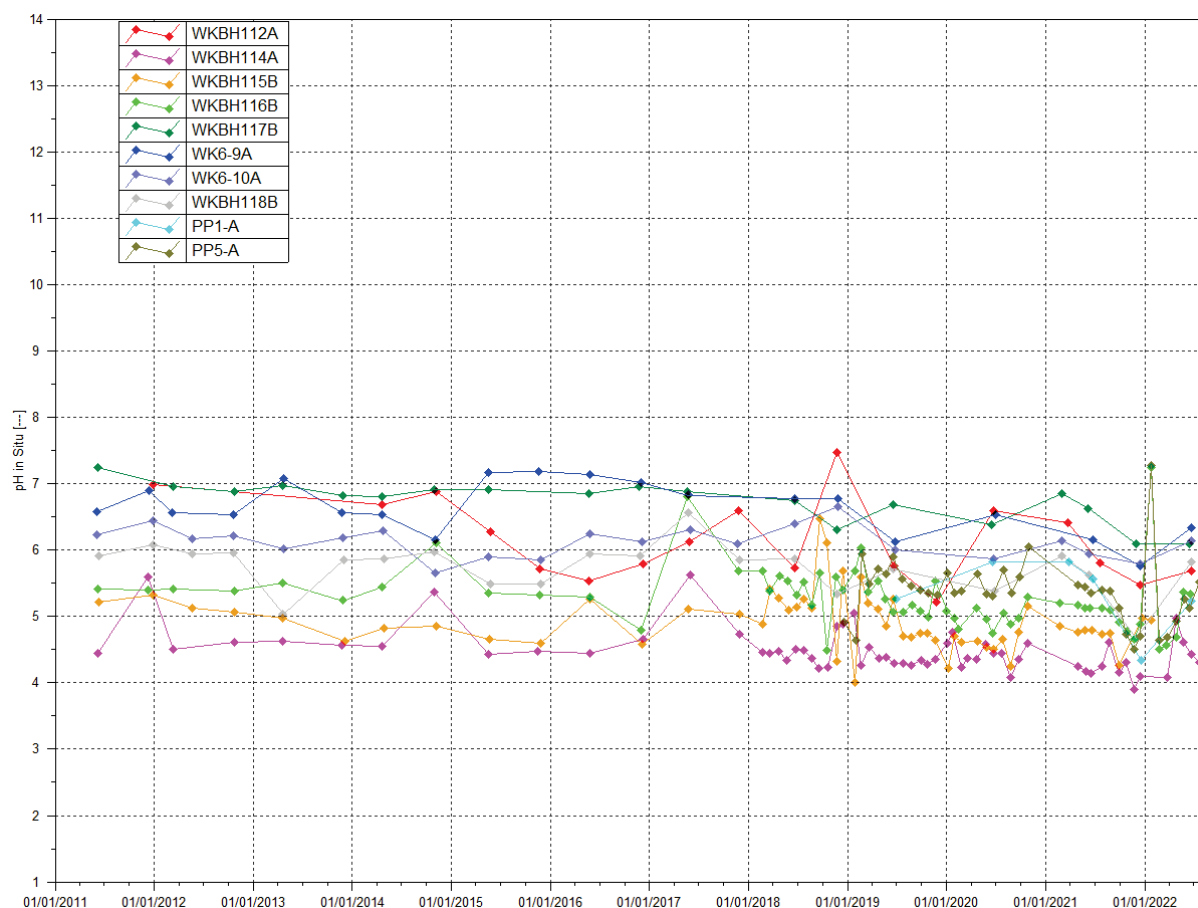
Manganèse : En 2021 et 2022, les teneurs sont faibles et ne montrent pas d'évolution particulière.

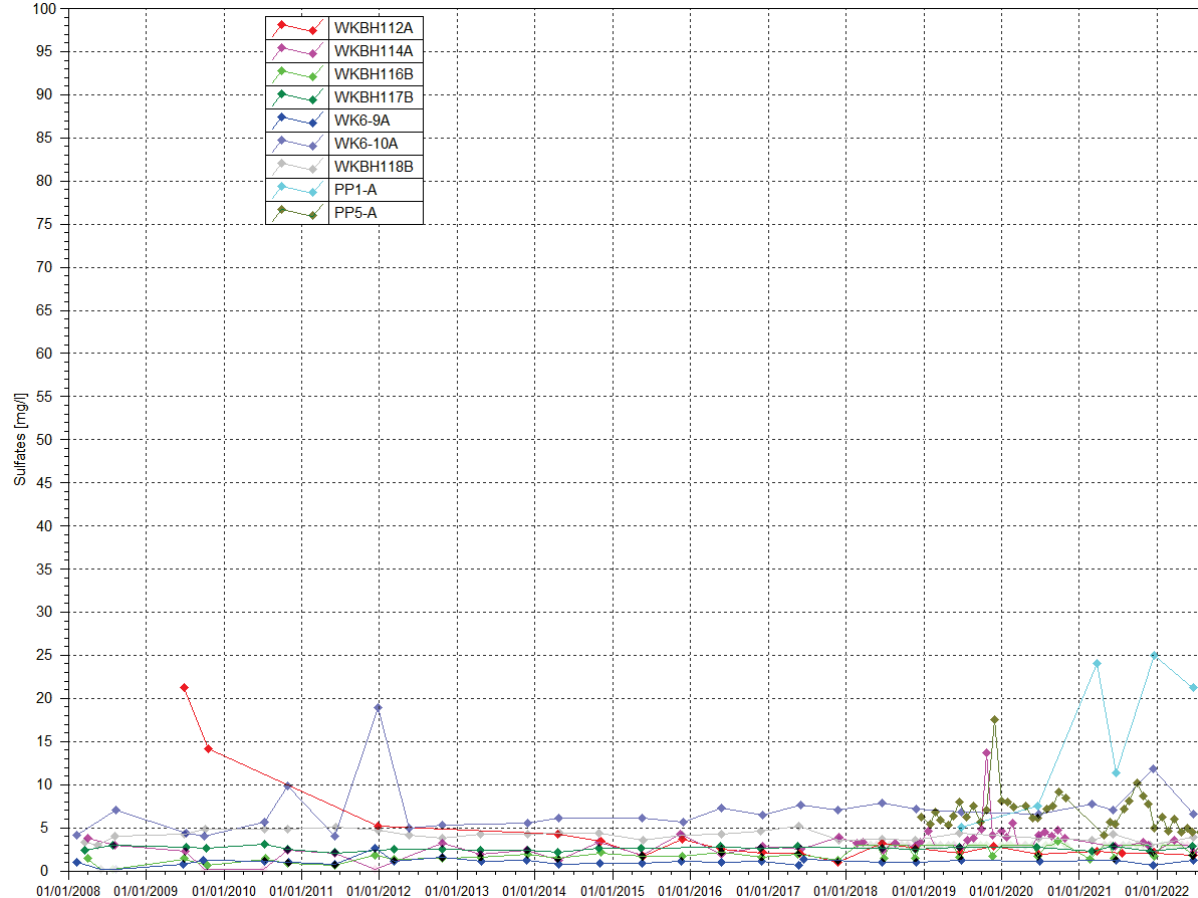
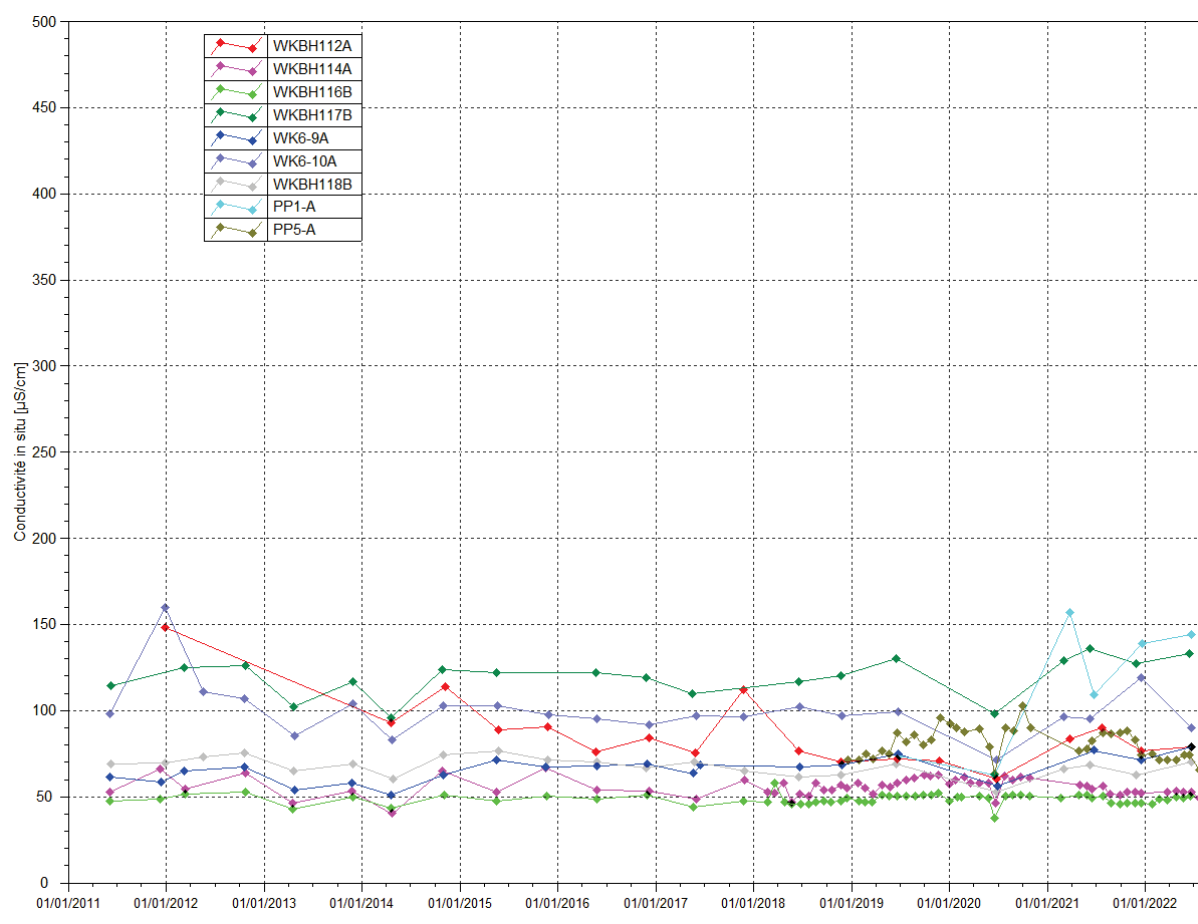
Nickel : Depuis 2012, des variations sont enregistrées au niveau du piézomètre WKBH112A. La maximale pour cet aquitard latéritique de 0.38 mg/l est mesurée en juin 2022 au niveau de ce piézomètre. Rien n'est à signaler au niveau des autres piézomètres de cet aquitard.

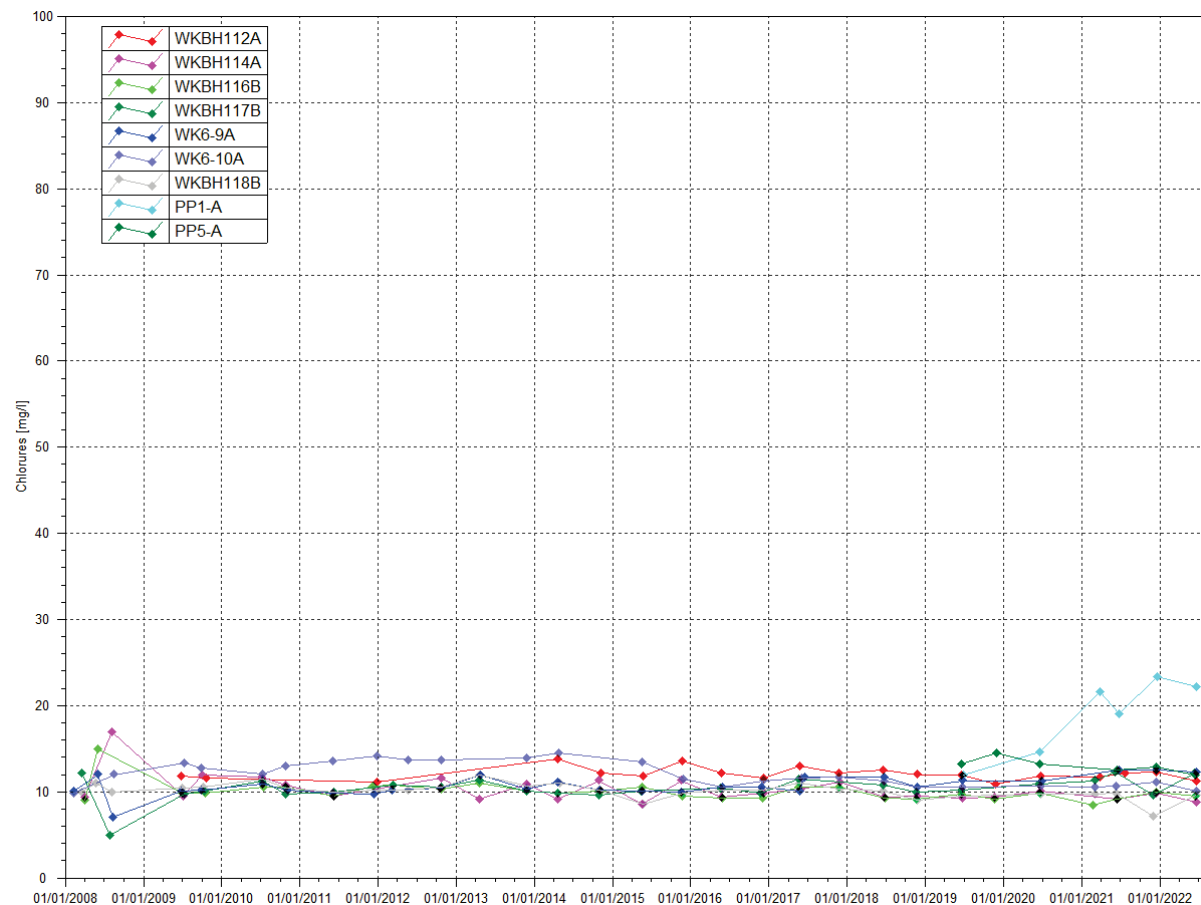
Chrome : les teneurs quantifiables pour cet aquitard sont comprises entre 0.01 et 0.16 mg/L en 2021 et 2022. Aucune variation particulière de la concentration en chrome n'est enregistrée au niveau des piézomètres de ce groupe.

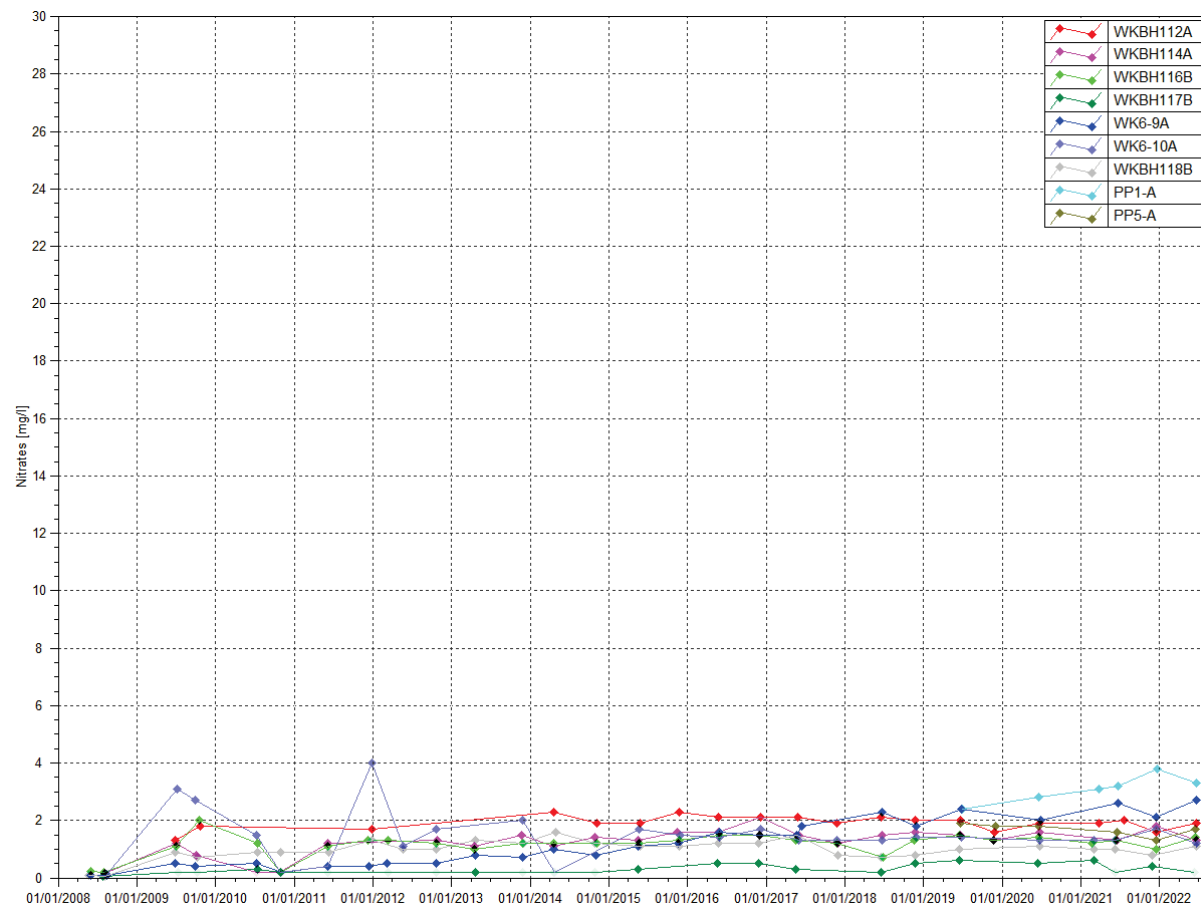
Les graphiques illustrant les résultats du suivi de la Kwé Ouest pour les piézomètres relevant du groupe de suivi de l'aquitard latéritique proche sont présentés à la Figure 7.

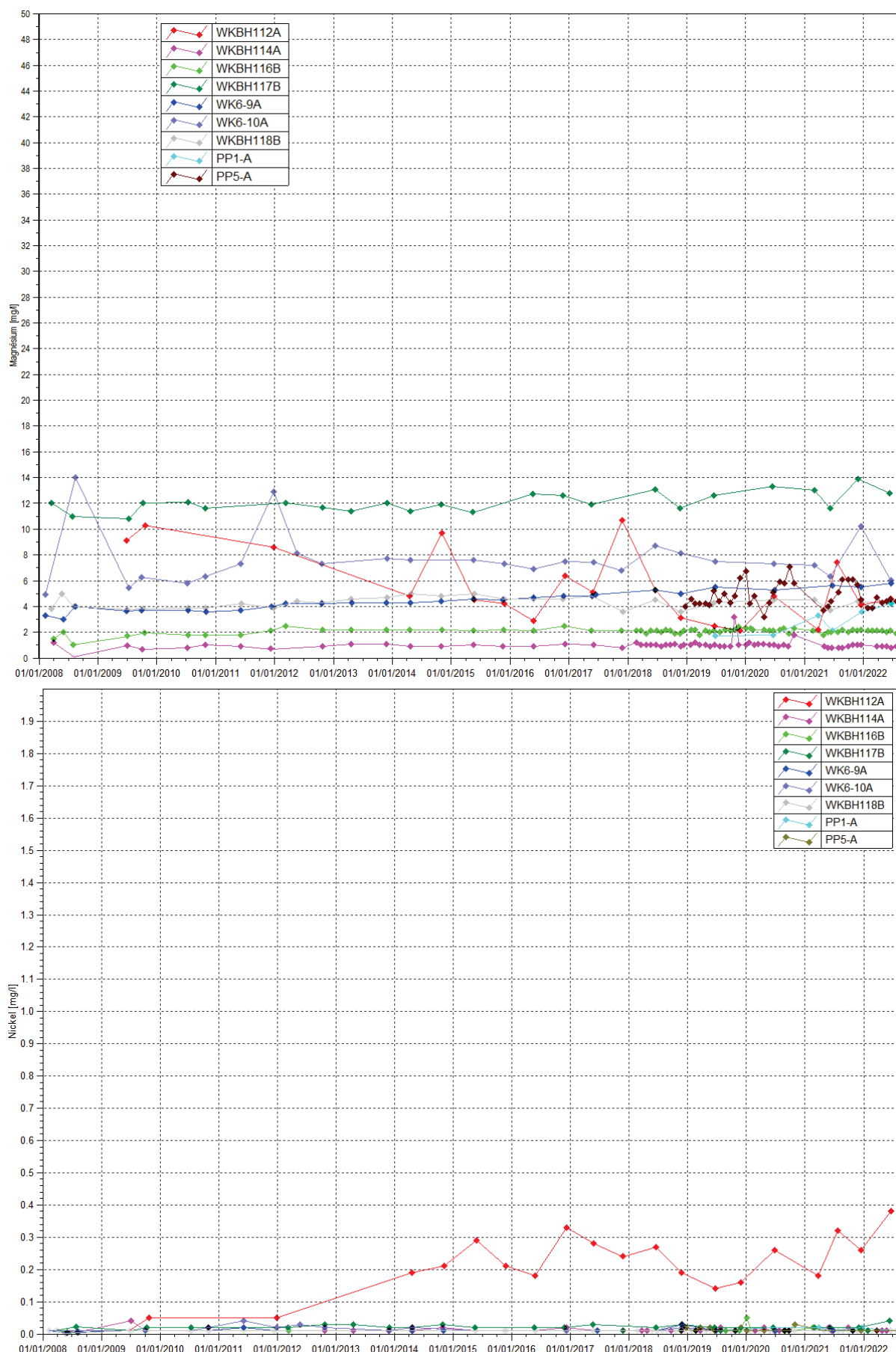
Figure 7 : Résultats du suivi de l'aquitard latéritique proche– pH, conductivité, sulfates, chlorures, nitrates, magnésium, nickel, chrome et manganèse

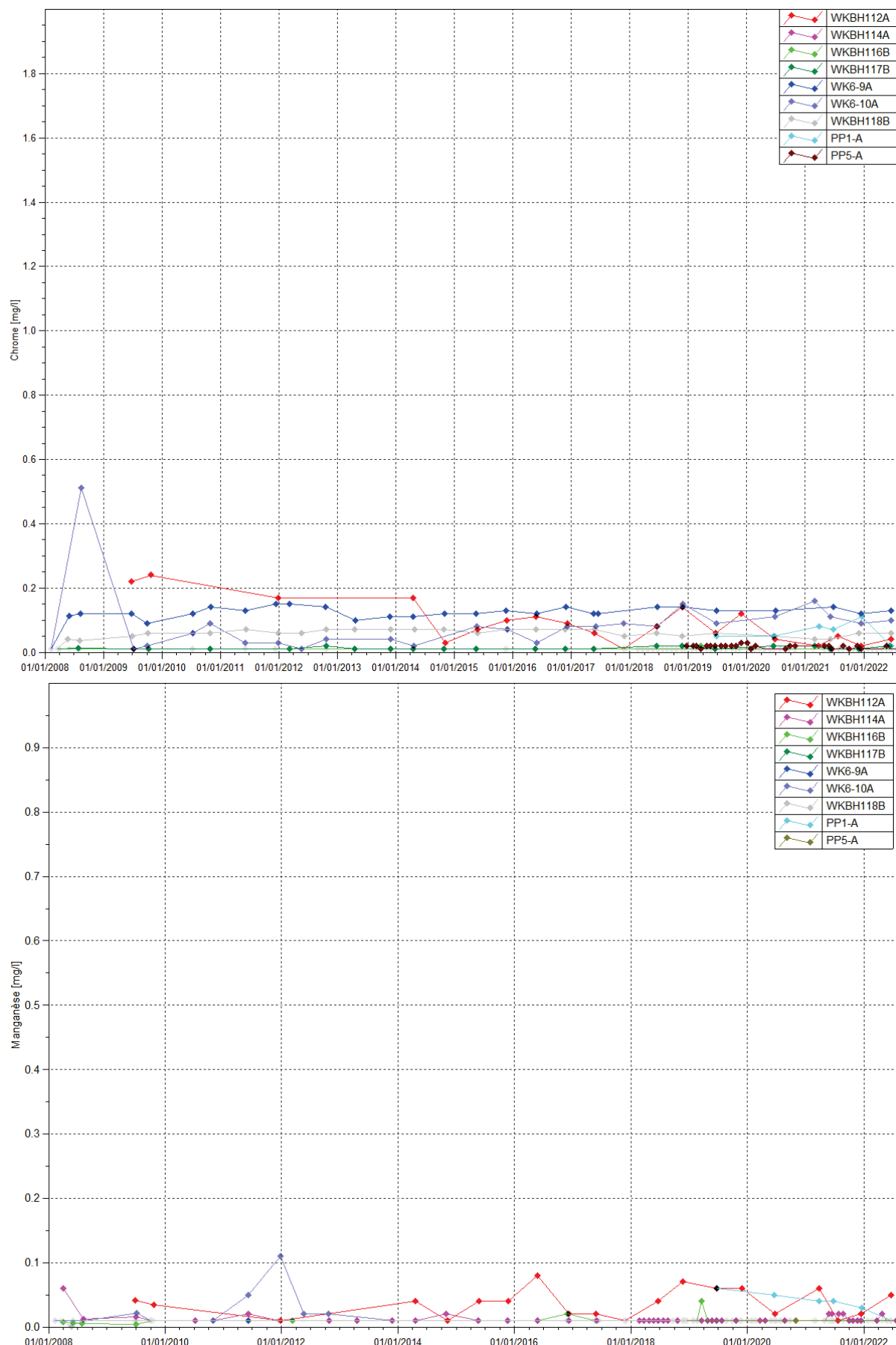












2.3.2.1.3 Suivi de l'aquifère principal éloigné :

pH : compris entre 6.1 et 9.3 en 2021 et 2022. Les relevés indiquent habituellement un pH proche de la neutralité au piézomètre WK6-14.

Conductivité : en 2021, la conductivité est comprise entre 94.6 et 181 µS/cm. Durant le 1^{er} semestre 2022, elle oscille entre 103 et 209 µS/cm. L'augmentation observée depuis 2017 au piézomètre WK6-14 n'est pas poursuivie en 2021 cependant le contrôle de juin 2022 indique de nouveau une hausse de la conductivité. Pour les autres piézomètres, les mesures de conductivité ne montrent pas d'évolution particulière.

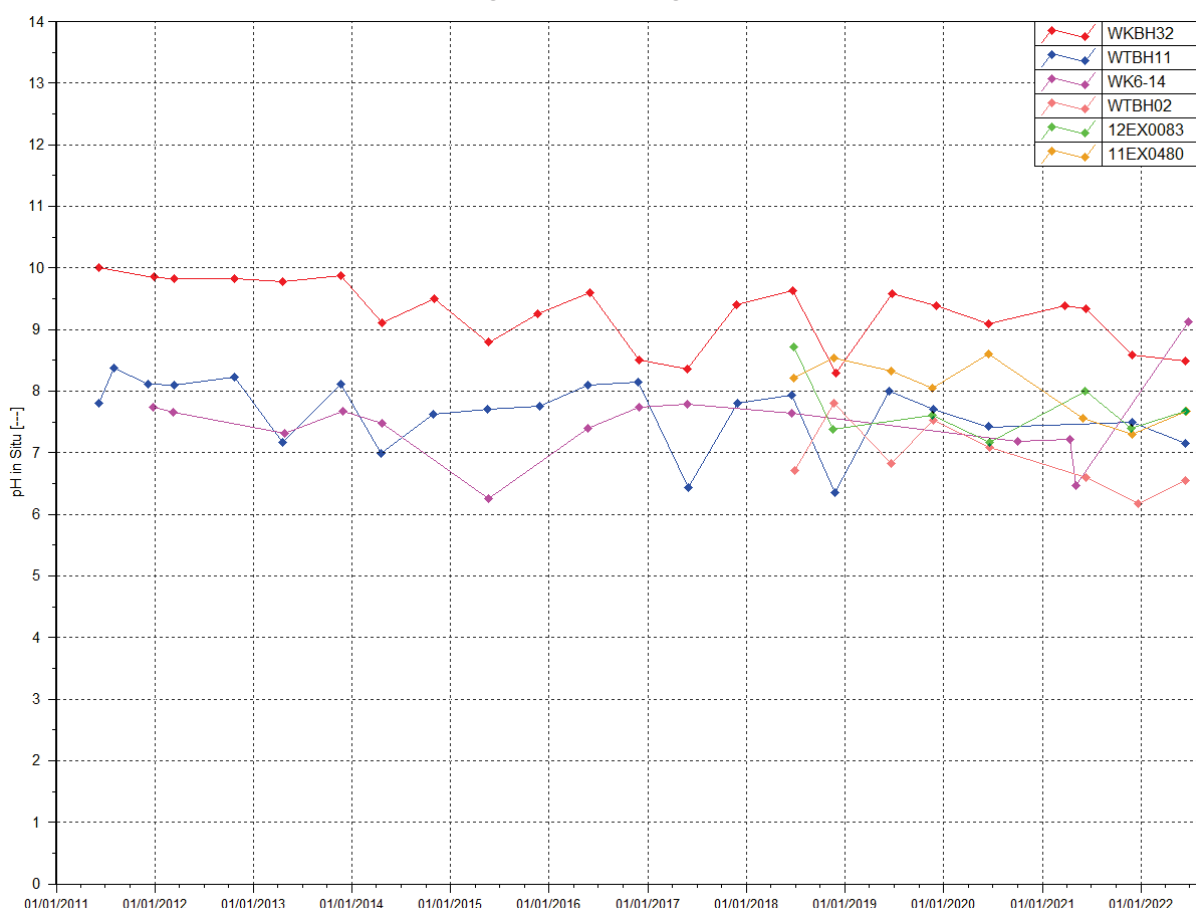
Sulfates : les concentrations en sulfates sont faibles pour ce groupe et comprises entre 1.7 et 7.3 mg/l entre 1^{er} janvier 2021 et 1^{er} juillet 2022. Toutefois les suivis depuis janvier 2021 au piézomètre WK6-14 confirment la hausse lente et constante des teneurs en sulfates observées depuis 2008.

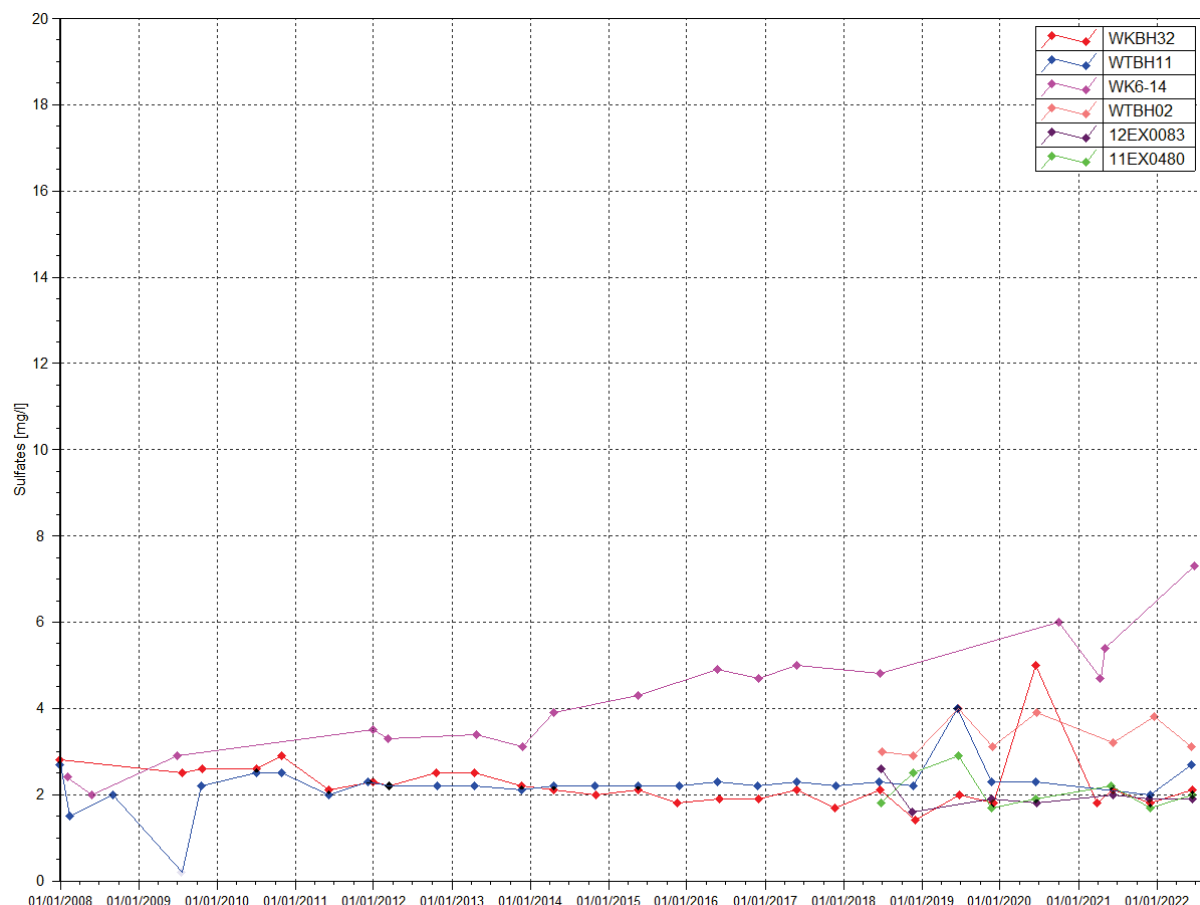
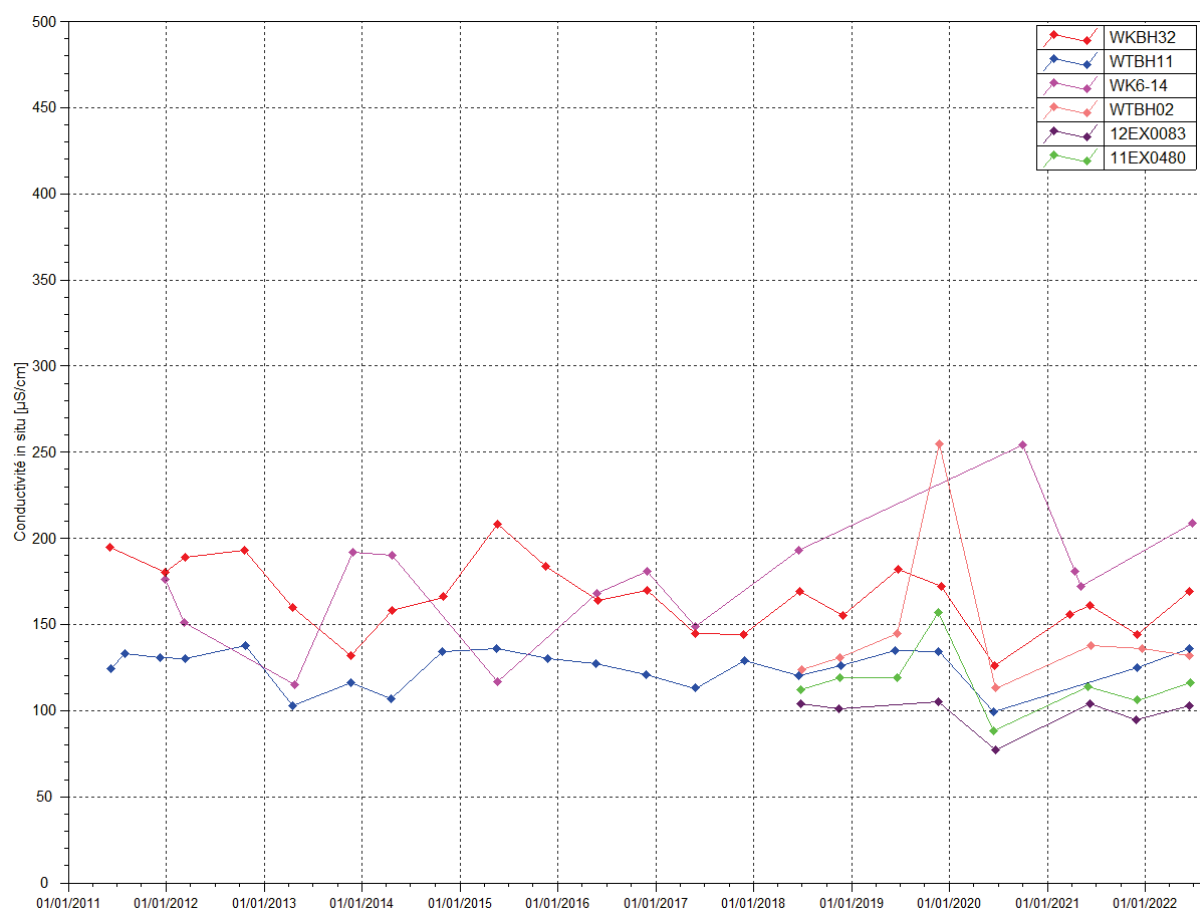
Chlorures : les concentrations en chlorures sont comparables aux normales mesurées depuis 2008.

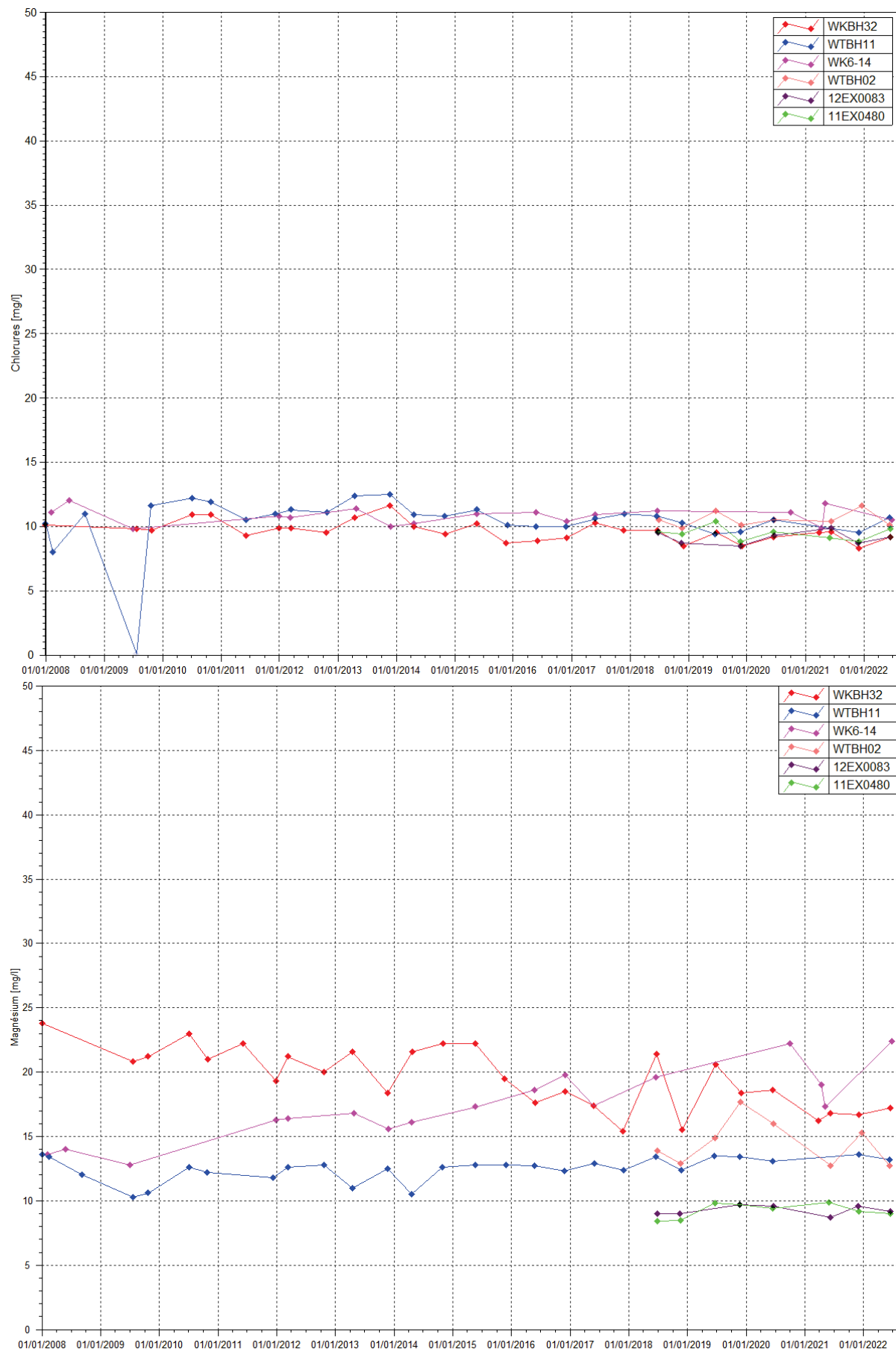
Magnésium : la hausse des concentrations en magnésium observées depuis 2008 au piézomètre WK6-14 se poursuit en 2022. Cette hausse est légère et constante depuis 2008.

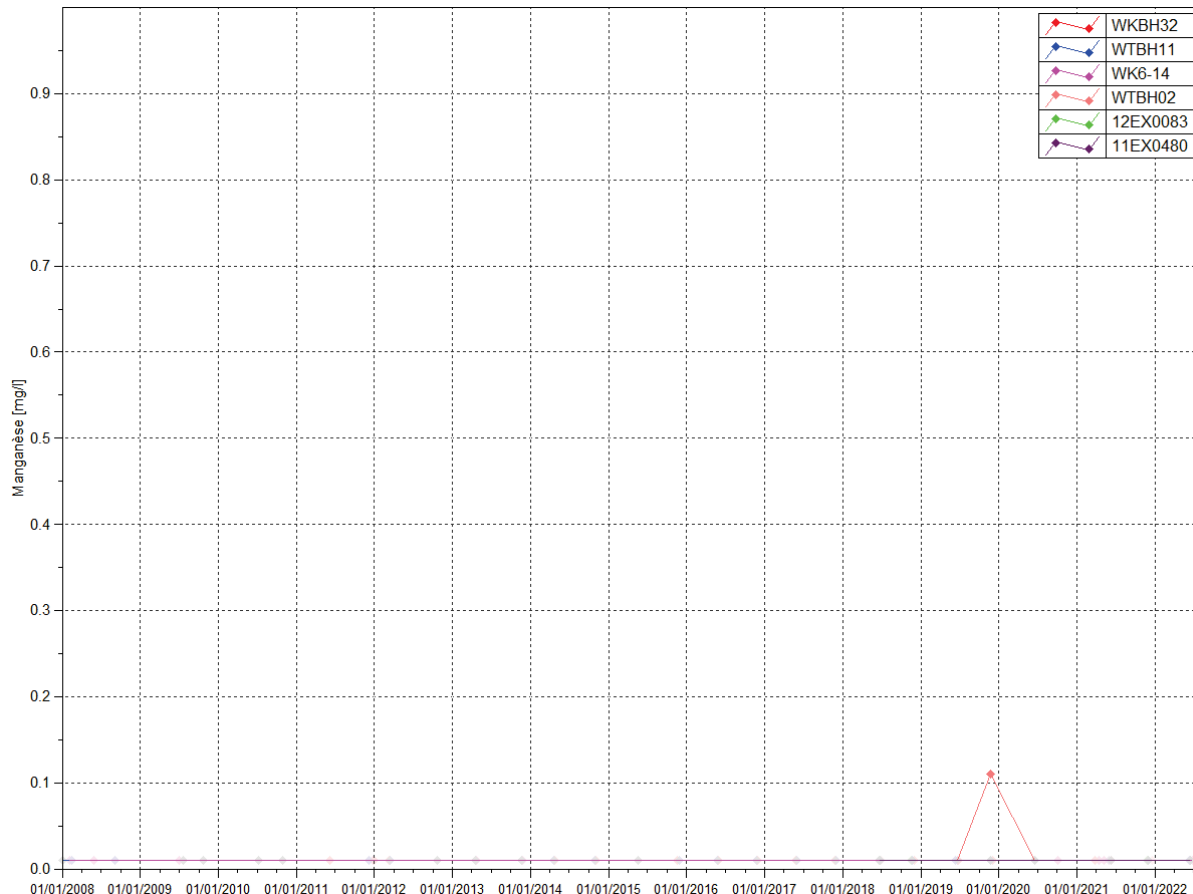
Manganèse : comme constaté depuis 2008, le manganèse n'est pas détecté en 2021 et 2022 dans l'aquifère principal éloigné de la zone de stockage des résidus. Pour rappel, il a été ponctuellement détecté en fin d'année 2019 au piézomètre WTBH02.

Figure 8 : Résultats du suivi de l'aquifère principal éloigné – pH, conductivité, chlorure, sulfate, magnésium et manganèse









2.3.2.1.4 Suivi de l'aquifère latéritique éloigné :

pH : compris entre 6.1 et 7.3 entre le 1^{er} janvier 2021 et le 1^{er} juillet 2022.

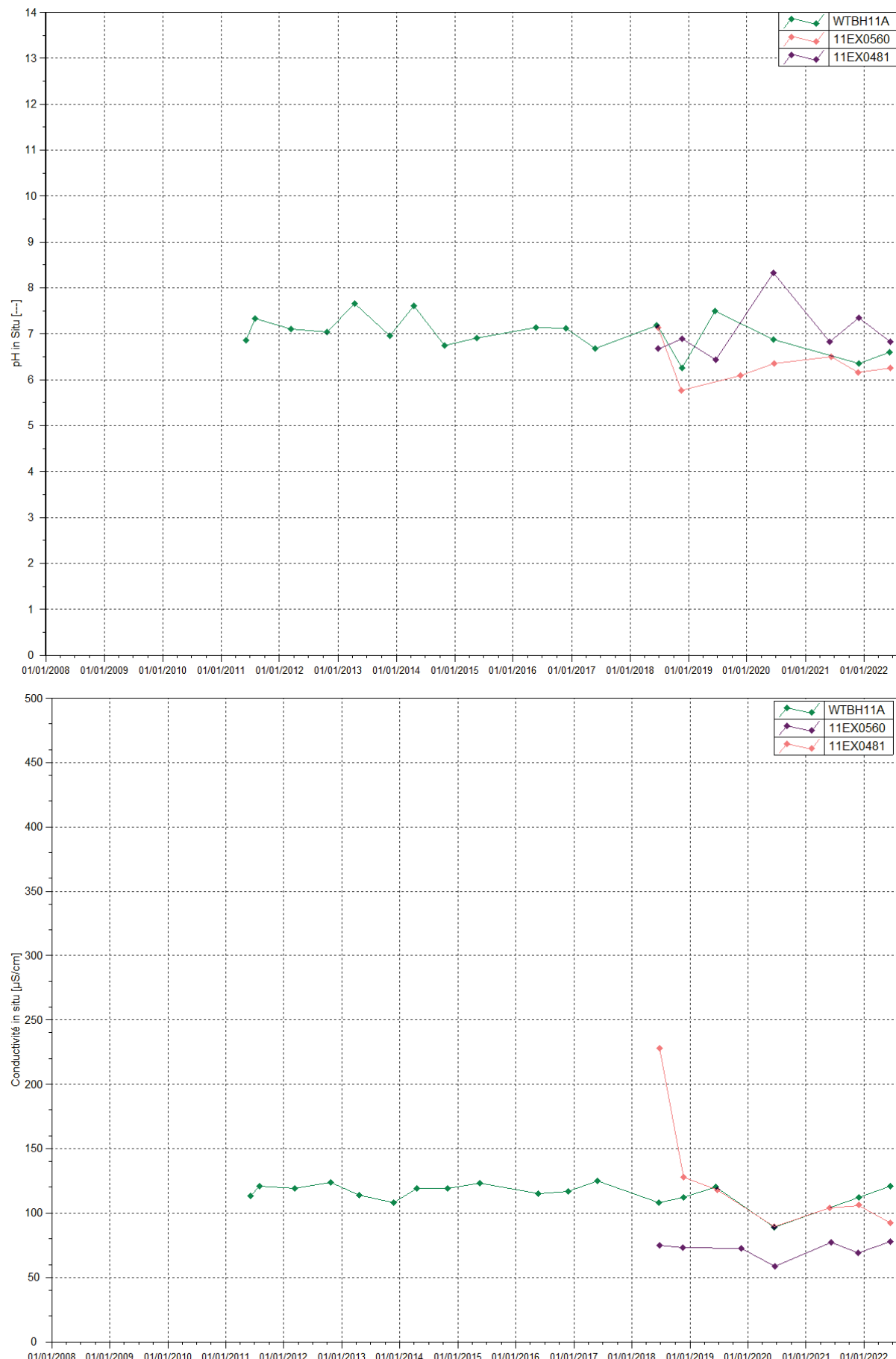
Conductivité : comprise entre 68.9 et 121 µS/cm. Les mesures de conductivité sont comparables aux valeurs mesurées depuis 2008 au piézomètre WTBH11A. Aux piézomètres 11EX0560 et 11EX0481, les conductivités évoluent de manière stable en 2021 et 2022.

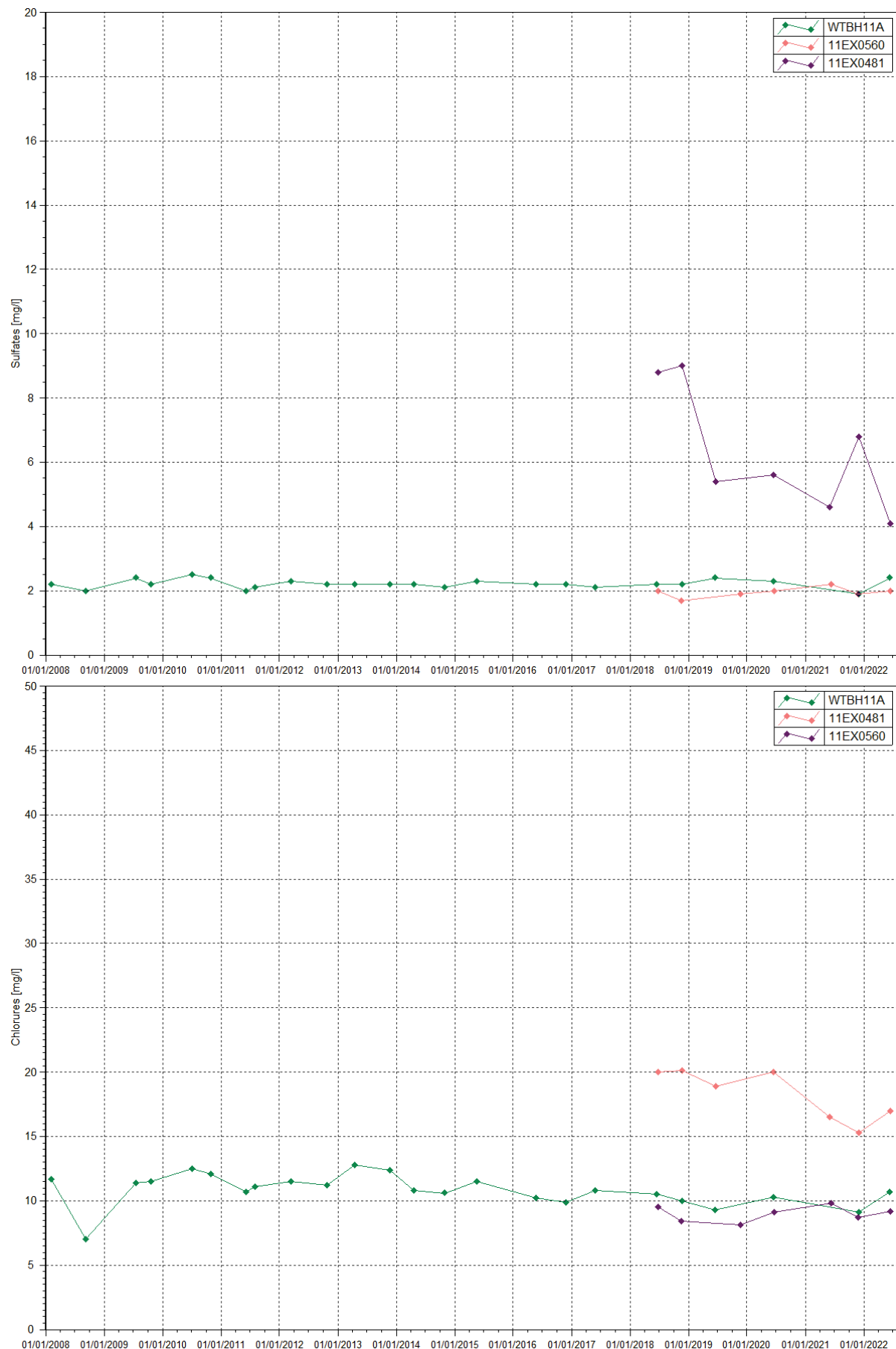
Sulfates : les concentrations en sulfates sont faibles pour ce groupe, comprises entre 1.9 et 6.8 mg/L, entre le 1^{er} janvier 2021 et le 1^{er} juillet 2022.

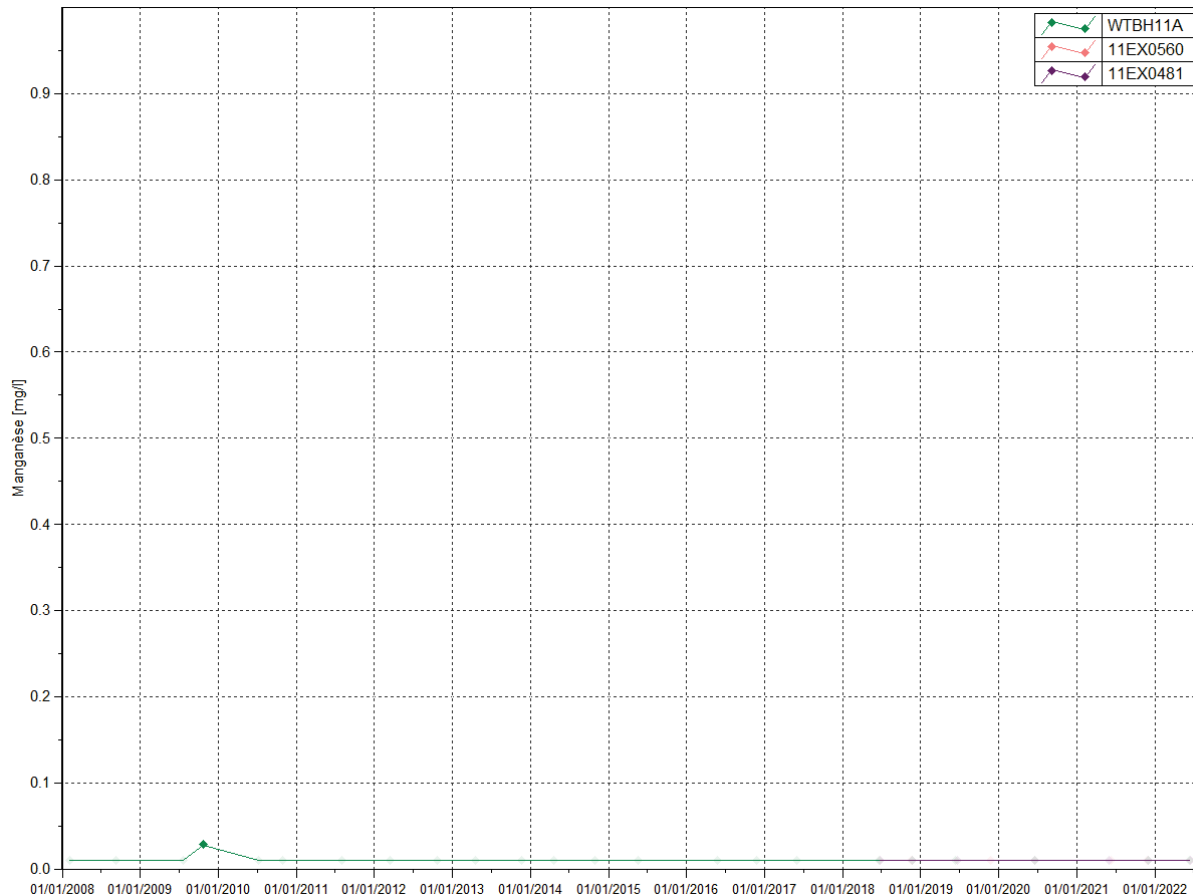
Chlorures : en 2021 et 2022, les concentrations en chlorures restent stables aux piézomètres WTBH11A et 11EX0560. Elles sont toujours le plus élevé au piézomètre 11EX0481 mais diminuent à partir de 2021.

Manganèse : le manganèse n'est pas détecté dans l'aquitard latéritique éloigné de la zone de stockage des résidus.

Figure 9 : Résultats du suivi de l'aquifère latéritique éloigné – pH, conductivité, chlorure, sulfate et manganèse





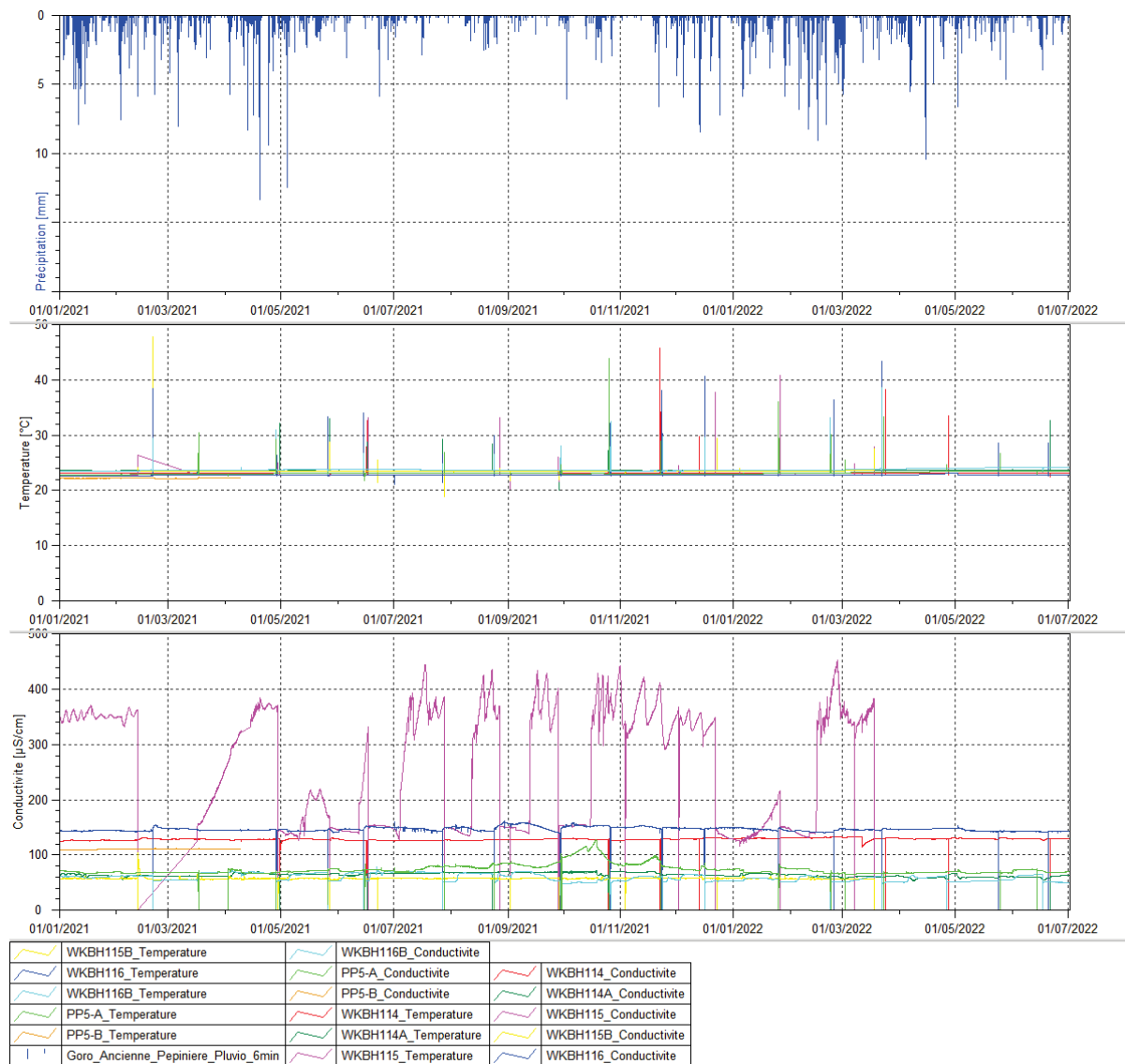


Mesures de conductivité en continu : WKBH114 et WKBH114A, WKBH115 et WKBH115B, WKBH116 et WKBH116B, PP5-A et PP5-B

Afin d'assurer le suivi de la conductivité électrique et de la température en continu conformément à l'arrêté N°3690-2017, les plates-formes WKBH114, WKBH114A, WKBH115, WKBH115B, WKBH116, WKBH116B, PP5-A et PP5-B ont été équipées en sonde de type Aqua troll 200 à partir du 8 février 2019.

Les mesures en continues sont présentées graphiquement dans la figure 10 ci-dessous.

Figure 10 : Mesures en continues des températures et conductivités aux piézomètres de la Kwé Ouest



Le tableau suivant présente les moyennes de conductivité manuelles et automatiques acquises sur ces ouvrages.

<u>2021 -2022</u>	<u>Moyenne des mesures de la sonde ($\mu\text{S}/\text{cm}$)</u>						<u>Moyenne des mesures manuelles ($\mu\text{S}/\text{cm}$)</u>		
<u>Piézomètre</u>	<u>1^{er} semestre 2021</u>	<u>Taux de disponibilité des données</u>	<u>2nd semestre 2021</u>	<u>Taux de disponibilité des données</u>	<u>1^{er} semestre 2022</u>	<u>Taux de disponibilité des données</u>	<u>1^{er} semestre 2021</u>	<u>2nd semestre 2021</u>	<u>1^{er} semestre 2022</u>
WKBH114	127.6	99%	127.8	64%	129.7	100%	114.3	104	110
WKBH114A	64	99%	68	84%	61.1	98%	60	52.7	52.8
WKBH115	252	79%	285	99%	233.5	42%	144.7	137	132
WKBH115B	57	99%	57.5	99%	57.1	32%	58.1	55.1	54.5
PP5-A	69.3	99%	82.6	99%	69.1	100%	78.9	84.3	73
PP5-B	110.5	54%	-	0%	-	0%	-	-	-
WKBH116	145.4	99%	149.5	99%	144.3	85%	152	140.8	152.6
WKBH116B	62.4	99%	59.7	99%	56.1	83%	50.1	47	48.5

Les mesures en continu au niveau des ouvrages sont en accord avec les valeurs obtenues par mesures manuelles pour l'ensemble des périodes d'observation. Excepté au piézomètre WKBH115, où les mesures manuelles à fréquence mensuelle sous évaluent la conductivité bien que le taux de disponibilité des données ne soit pas complet. En effet, les mesures de conductivité réalisées par la sonde sont en moyenne plus élevées que la moyenne des mesures manuelles.

Le piézomètre PP5-B étant obturé depuis fin d'année 2020, ce dernier a été déséquipé en avril 2021. Les valeurs de conductivité et de température aux piézomètres WKBH114, WKBH115B, PP5-A, PP5-B, WKBH116 et WKBH116B sont stables sur la période. Les sauts de température ponctuelles sur ces ouvrages correspondent aux passages des équipes pour le pompage des piézomètres. En effet, ces équipements sont retirés de l'ouvrage le temps du pompage puis remis en place.

Les mesures en continu au piézomètre WKBH115 montrent des variations périodiques de conductivité, atteignant une valeur maximale de 453.7 $\mu\text{S}/\text{cm}$. Ces phénomènes semblent corrélés aux variations de pluviométrie, donc liés aux variations de niveau piézométrique.

En fonction de la circulation des eaux dans la nappe profonde et du niveau piézométrique, cet ouvrage pourrait être impacté par les eaux contaminées en aval proche du bassin à résidus KO2. En effet, les maximales de conductivités relevées à WKBH115 sont comparables aux mesures de conductivité au piézomètres WK6-12, WKBH110 et WKBH110B.

2.3.2.2 Sources WK17 et WK20 et confluence WK17-20

Conformément à l'arrêté d'exploitation de l'usine d'assèchement des résidus et du stockage de déchets dans le bassin versant de la Kwé Ouest N°3690-2017, le suivi des sources WK17 et WK20 est réalisé selon trois fréquences : bihebdomadaire, semestrielle et continu. Ces données sont présentées ci-après.

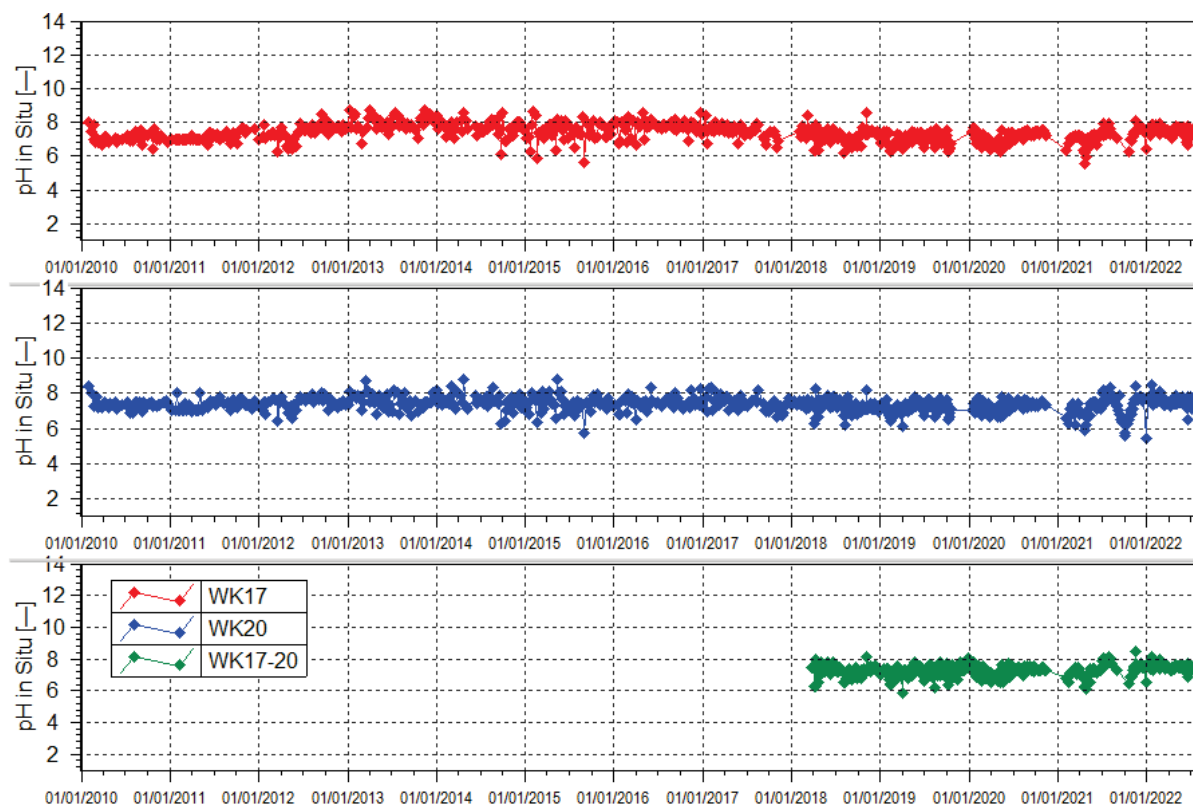
Comme mentionné précédemment, à partir du 10 novembre 2020 et jusqu'au 5 février 2021, les prélèvements des sources WK17, WK20 et à la station WK17-20 se sont interrompus en raison des blocages du site industriel.

La station de suivi des eaux de surface, nommée WK17-20, située en aval des sources WK17 et WK20, est alimentée principalement par les écoulements de WK17 et WK20.

- **Mesures de pH**

La Figure 11 présente les mesures en pH obtenues à une fréquence bihebdomadaire pour les stations WK17, WK20 et la confluence des sources WK17-20.

Figure 11 : Mesures de pH des stations WK17, WK20 et WK17-20 entre janvier 2010 et 1^{er}juillet 2022



Source WK17 :

Entre le 1^{er} janvier 2021 et le 1^{er} juillet 2022, le pH est compris entre 5.5 et 8.08.

Source WK20 :

Entre le 1^{er} janvier 2021 et le 1^{er} juillet 2022, le pH oscille entre 5.4 et 8.4.

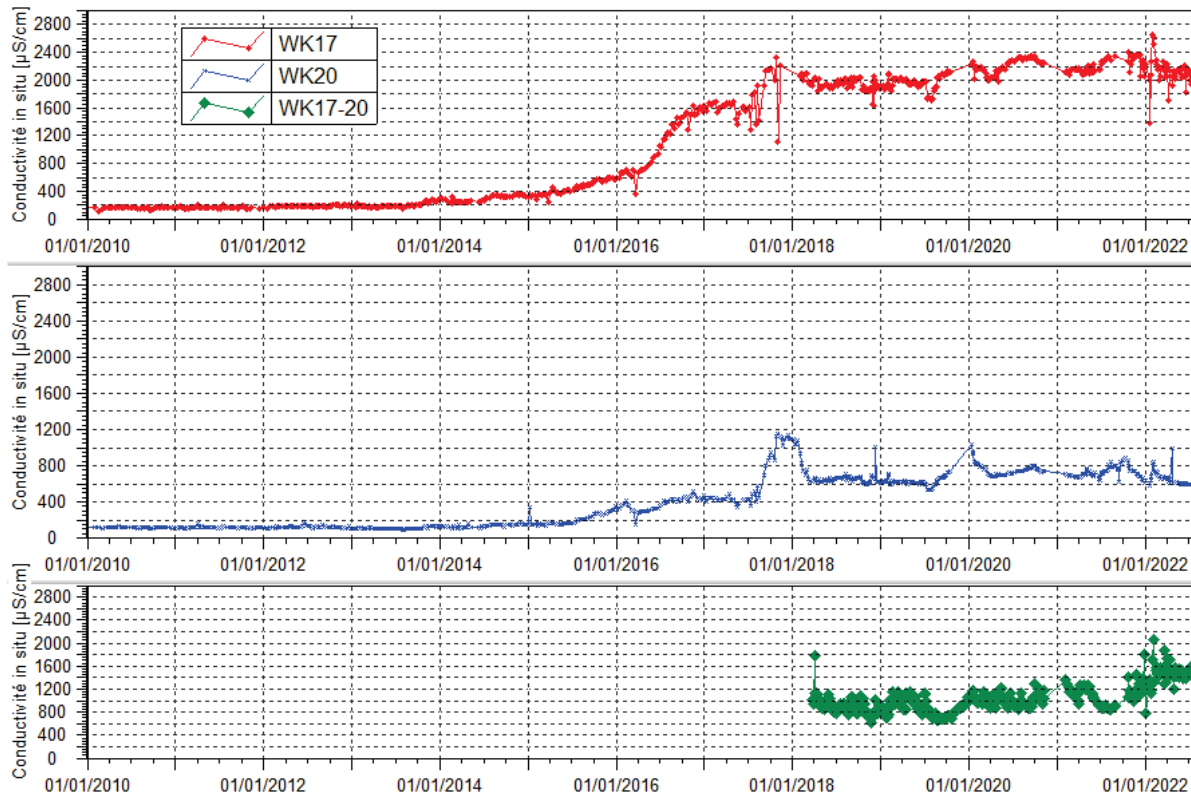
Confluence WK17-20

Entre le 1^{er} janvier 2021 et le 1^{er} juillet 2022, le pH oscille entre 6.1 et 8.4.

- **Mesures de conductivité**

La Figure 13 présente les mesures de conductivité obtenues à une fréquence bihebdomadaire pour les stations WK17, WK20 et à la confluence des sources WK17-20.

Figure 12 : Mesures de conductivité des stations WK17, WK20 et WK17-20 entre janvier 2008 et 1^{er} juillet 2022



Source WK17 :

En 2021, une conductivité moyenne de 2218.3 $\mu\text{S}/\text{cm}$ est mesurée. Au cours du 1^{er} semestre 2022, la conductivité moyenne est de 2122,5 $\mu\text{S}/\text{cm}$. A l'exception de la variation de la conductivité enregistrée entre le 20 janvier et le 31 janvier 2022, la conductivité de la source WK17 est globalement en légère baisse depuis janvier 2021.

Source WK20 :

En 2021, une conductivité moyenne de 735.2 $\mu\text{S}/\text{cm}$ est mesurée. Au cours du 1^{er} semestre 2022, la conductivité moyenne est de 649.1 $\mu\text{S}/\text{cm}$. A partir d'avril 2021, des variations de conductivité sont enregistrées mais en comparant avec les années précédentes, la conductivité au niveau de cette source se stabilise.

Confluence WK17-20 :

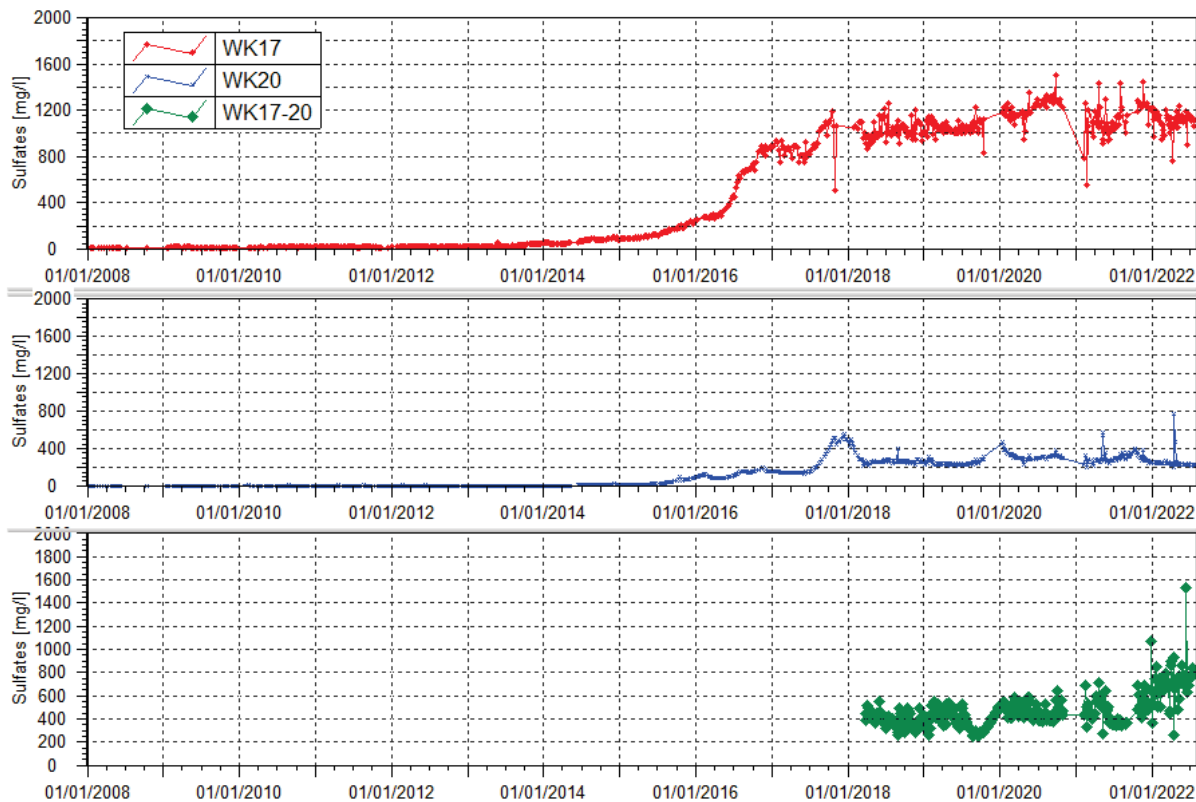
Au niveau de la confluence des sources WK17 et WK20, une hausse de la conductivité est enregistrée au cours du 1^{er} semestre 2022. En 2021, une conductivité moyenne de 1118.3 $\mu\text{S}/\text{cm}$ est mesurée. Au cours du 1^{er} semestre 2022, la conductivité moyenne est de 1470 $\mu\text{S}/\text{cm}$.

Les travaux liés à l'avancée du chantier Lucy 2.0 ont générés du défrichement de la zone proche des sources et des modifications majeures de l'écoulement naturel des eaux. Ces travaux ont débuté en avril 2021. Des drains ont été creusés afin de faciliter les écoulements des sources vers l'aval. La conductivité au niveau des sources WK17 et WK20 est globalement stable depuis 2020. Les modifications d'écoulement des sources ont eu une influence sur les apports en minéraux au niveau de WK17-20 et engendré une augmentation de la conductivité au niveau de la confluence WK17-20.

- Concentrations en sulfates**

La Figure 13 présente les concentrations en sulfates obtenues à une fréquence bihebdomadaire pour les stations WK17, WK20 et à la confluence des sources WK17-20.

Figure 13 : Concentration en sulfates des stations WK17, WK20 et WK17-20 entre janvier 2008 et 1^{er} juillet 2022



Même constat que pour la conductivité au niveau des sources WK17, WK20 et confluence WK17-20.

Source WK17 :

Depuis 2021, les résultats de suivi montrent une légère baisse des teneurs en sulfates au niveau de WK17. La teneur moyenne en 2020 est de 1219 mg/L. En 2021, la teneur moyenne annuelle est de 1116 mg/L. Durant le 1^{er} semestre 2022, la concentration moyenne en sulfates est de 1099 mg/L.

Source WK20 :

Depuis janvier 2021, les concentrations en sulfates évoluent globalement de manière stable à l'exception de quelques variations ponctuelles. En 2021, la teneur moyenne annuelle est de 296 mg/L. Durant le 1^{er} semestre 2022, la concentration moyenne en sulfates est de 243 mg/L.

Confluence WK17-20 :

Les teneurs en sulfates sont en hausse au cours du 1^{er} semestre 2022.

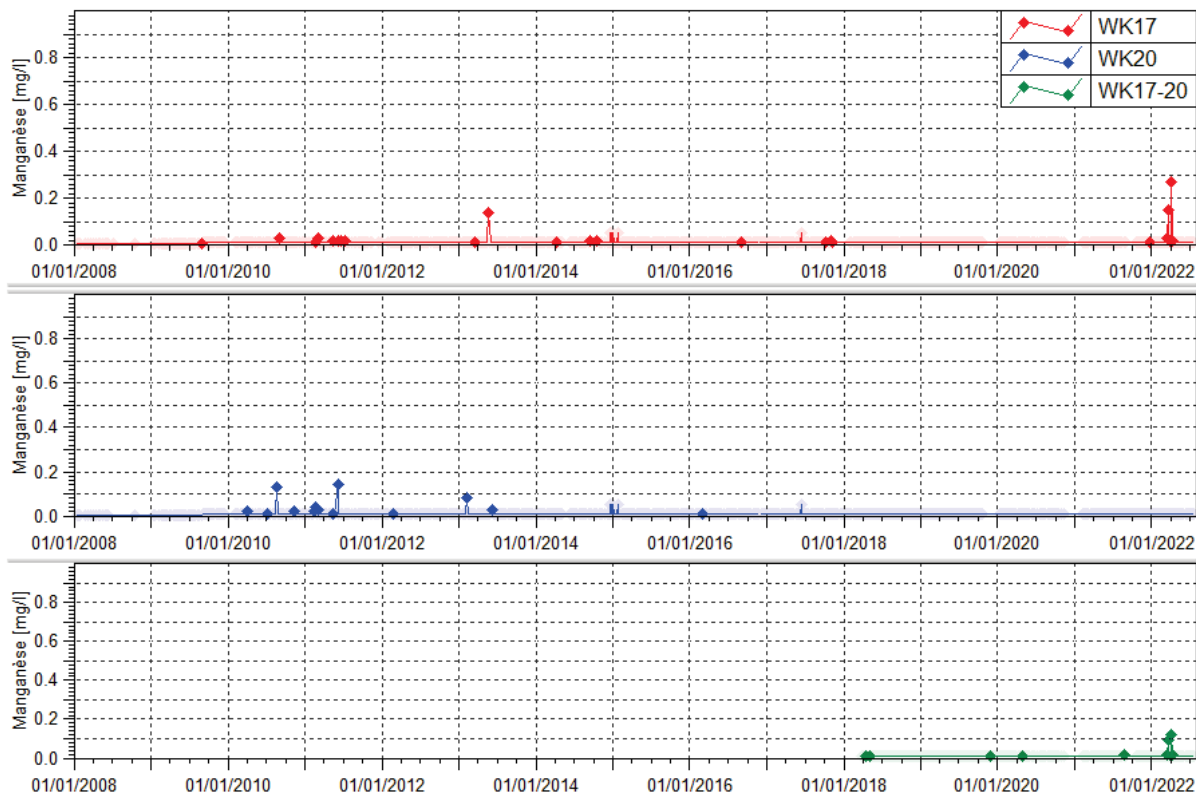
En 2021, la teneur moyenne annuelle est de 473 mg/L. Durant le 1^{er} semestre 2022, la concentration moyenne en sulfates est de 693 mg/L.

Même constat que pour la conductivité au niveau des sources WK17, WK20 et confluence WK17-20.

- **Concentrations en manganèse**

La Figure 14 présente les concentrations en manganèse obtenues à une fréquence hebdomadaire pour les stations WK17, WK20 et à la confluence des sources WK17-20.

Figure 14 : Concentration en manganèse des stations WK17, WK20 et WK17-20 entre janvier 2008 et 1^{er} juillet 2022



Source WK17 :

Le manganèse est détecté faiblement et ponctuellement le 23 décembre 2021. En 2022, le manganèse est détecté à cinq reprises entre le 17 mars et le 7 avril 2022. La concentration maximale relevée est de 0.15 mg/L le 21 mars 2022, correspondant à la maximale mesurée depuis le début des suivis.

Source WK20 :

Le manganèse n'est pas détecté au niveau de la source WK20.

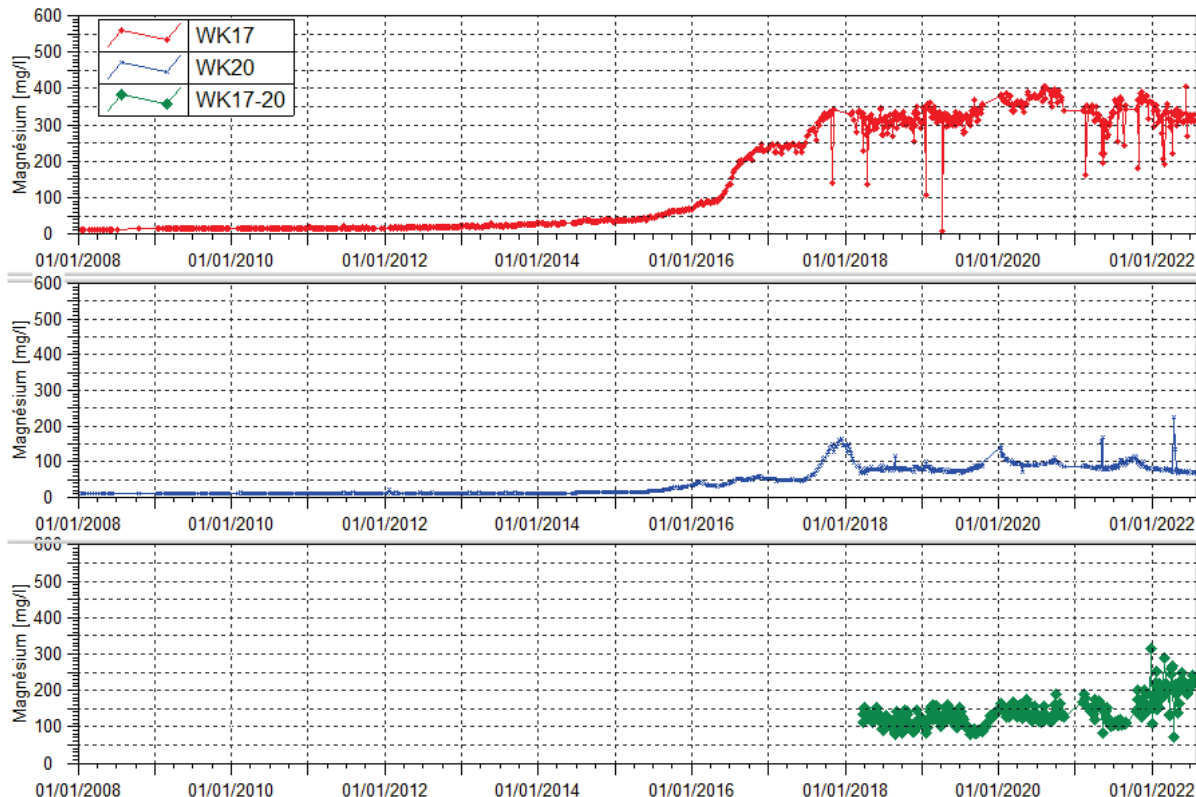
Confluence WK17-20 :

Le manganèse est détecté faiblement et ponctuellement le 26 août 2021. En 2022, le manganèse est détecté à cinq reprises entre le 17 mars et le 7 avril 2022. La concentration maximale relevée est de 0.11 mg/L relevé le 4 avril 2022, correspondant à la maximale mesurée depuis le début des suivis.

- **Concentrations en magnésium**

La Figure 15 présente les concentrations en magnésium obtenues à une fréquence hebdomadaire pour les stations WK17, WK20 et à la confluence des sources WK17-20.

Figure 15 : Concentration en magnésium des stations WK17, WK20 et WK17-20 entre janvier 2008 et 1^{er} juillet 2022



Source WK17 :

En concordance avec la conductivité et les sulfates, les concentrations en magnésium sont en légère baisse entre le 1^{er} janvier 2021 et le 1^{er} juillet 2022.

Source WK20 :

Les concentrations en magnésium relevées entre le 1^{er} janvier 2021 et le 1^{er} juillet 2022 évoluent globalement de manière stable excepté deux pics de concentrations en magnésium durant cette période.

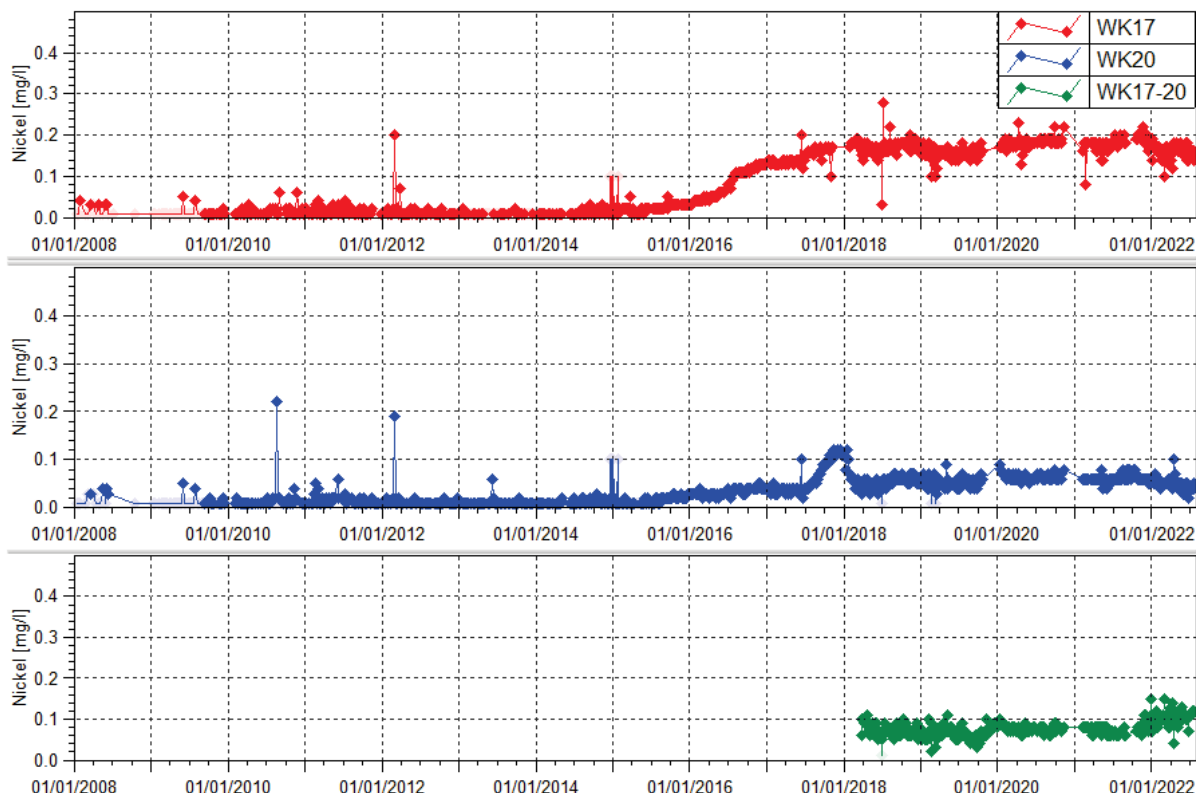
Confluence WK17-20

En concordance avec la conductivité et les sulfates, les teneurs en magnésium sont en augmentation au cours du 1^{er} semestre 2022.

- **Concentrations en nickel**

La Figure 16 présente les concentrations en nickel obtenues à une fréquence bihebdomadaire pour les stations WK17, WK20 et à la confluence des sources WK17-20.

Figure 16 : Concentration en nickel des stations WK17, WK20 et WK17-20 entre janvier 2008 et 1^{er} juillet 2022



Source WK17 :

Les résultats de suivi du 1^{er} semestre 2022 montrent une baisse des concentrations en nickel. Les concentrations en nickel sont en moyenne équivalentes à 0.18 mg/l en 2021. Au 1^{er} semestre 2022, elles sont en moyenne équivalentes à 0.16 mg/l.

Source WK20 :

Les résultats de suivi du 1^{er} semestre 2022 montrent une baisse des concentrations en nickel. Les concentrations en nickel sont en moyenne équivalentes à 0.06 mg/l en 2021. Au 1^{er} semestre 2022, elles sont en moyenne équivalentes à 0.04 mg/l.

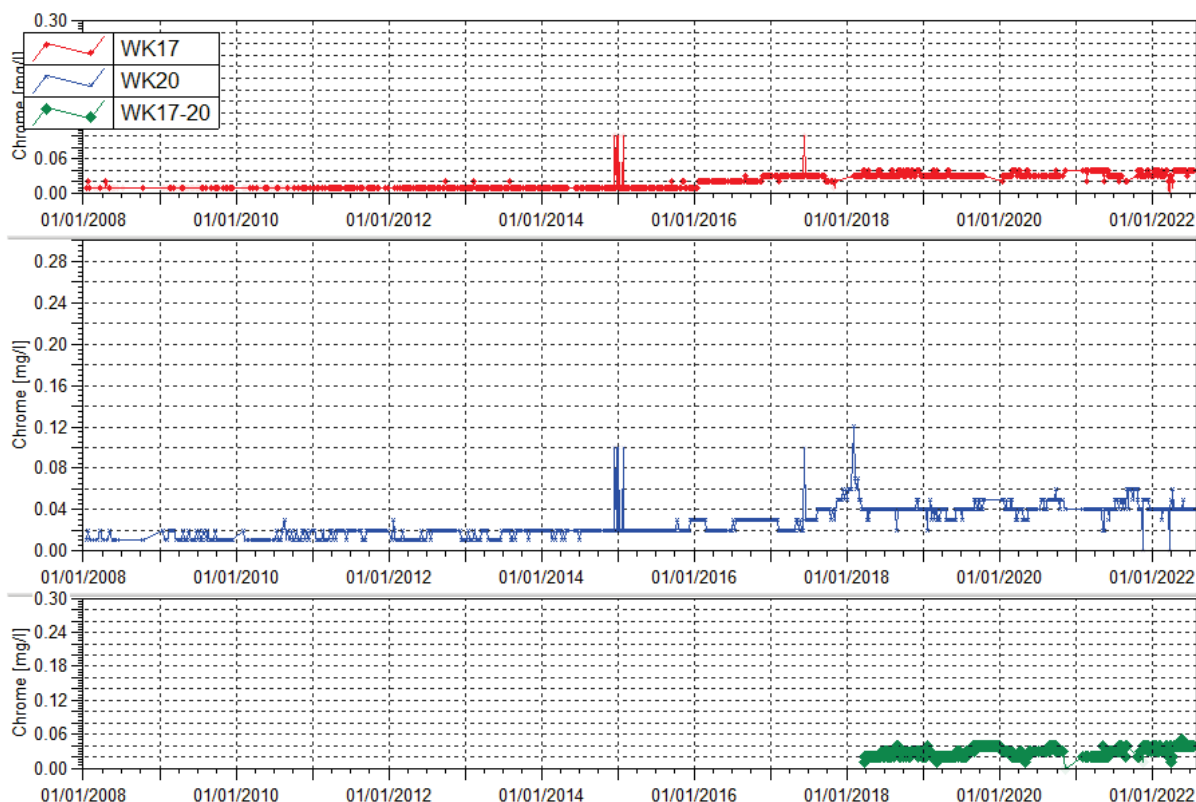
Confluence WK17-20

Les teneurs en nickel sont légèrement supérieures aux normales mesurées au cours du 1^{er} semestre 2022. Elle restent toutefois plus faibles qu'à WK17.

- **Concentrations en chrome**

La Figure 17 présente les concentrations en chrome obtenues à une fréquence bihebdomadaire pour les stations WK17, WK20 et à la confluence des sources WK17-20.

Figure 17: Concentration en chrome des stations WK17, WK20 et WK17-20 entre janvier 2008 et 1^{er} juillet 2022



Source WK17 :

Les teneurs en chrome sont stables depuis 2018.

Source WK20 :

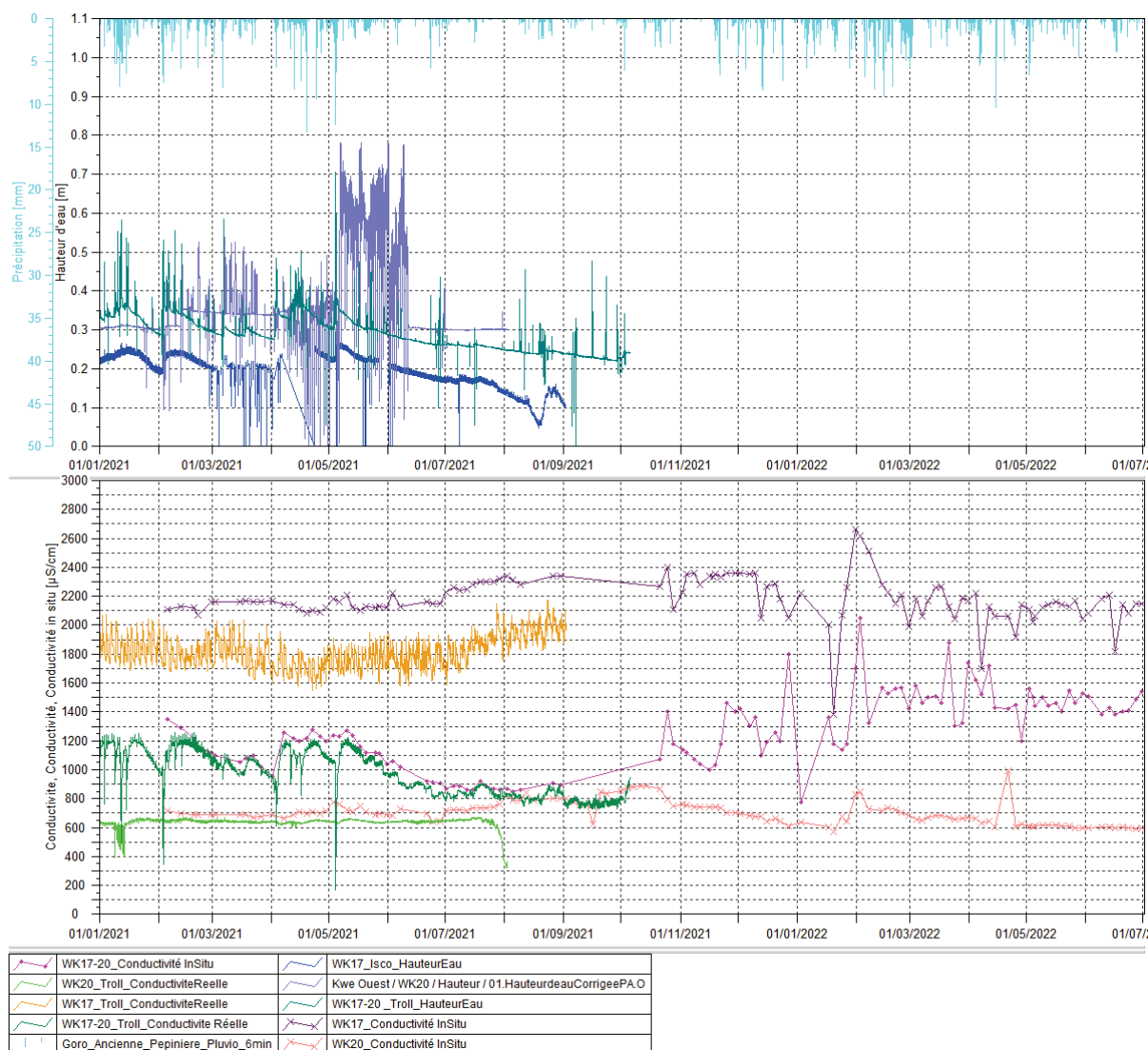
En 2022, les concentrations en chrome au niveau de la station WK20 sont stables.

Confluence WK17-20

Les concentrations sont également stables au niveau de la confluence des sources.

Les mesures en continu de niveau et conductivité réalisées en 2021 et au cours du 1^{er} semestre 2022 au niveau des sources WK17 et WK20 sont présentées en Figure 19. Ces mesures sont issues de sondes autonomes de type Aqua Troll 200 installées au niveau des 2 sources, et des sondes asservies à l'échantillonneur automatique (Isco) positionné à WK17. La station WK17-20 est également équipée d'un Aqua Troll 200. Les En raison du blocage des accès du site industriel et de l'insécurité, les prélèvements manuels n'ont pu être réalisés à partir du 10 novembre 2020.

Figure 18 : Suivi des mesures continues aux sources WK17, WK20 et WK17-20



À la suite de l'avancée des travaux de construction Lucy 2.0 débuté en avril 2021, les sources ont dû être déséquiper de leur instrument de mesure automatisée. A chaque point de suivi, les équipements ont été désinstallé aux dates suivantes :

- WK17 : ISCO (échantillonneur automatique) et sonde de type aqua Troll 200 désinstallés le 2 septembre 2021,
- WK20 : sonde de type Aqua Troll 200 désinstallée le 2 août 2021,
- Confluence WK17-20 : sonde de type Aqua Troll 200 désinstallée le 5 octobre 2021.

La source WK7 s'est tarie entre le 30 août et 21 octobre 2021.

Concernant la source WK17, on peut noter un décalage entre les mesures de conductivité continues et les mesures manuelles. Mais leur représentation graphique confirme les mêmes tendances. Les mesures en continu de l'ISCO indiquent des variations de niveau d'eau consécutives à des épisodes pluviométriques et plus globalement une baisse des hauteurs d'eau à partir de juillet 2021.

A WK20, les hauteurs d'eau sont variables en fonction de la pluviométrie. Suite à l'épisode pluviométrique en début de mai 2021, les niveaux d'eau ont augmenté entre le 6 mai et le juin 2021.

Cette variation de hauteur d'eau est également le résultat des travaux de construction des drains, débutés en avril 2021. Ces aménagements ont influencé les niveaux d'eau au niveau de ce point de suivi. Les mesures de conductivités manuelles sont concordantes avec les mesures automatisées et attestent d'une stabilité de la conductivité.

Les enregistrements en continus de WK17-20 permettent de visualiser une baisse du niveau de la hauteur d'eau à parti de juillet 2021. Cette station correspond à la confluence des sources WK17 et WK20. En termes de débit, la station WK17-20 correspond à la somme des débits de WK17, WK20 et par conséquent les eaux fortement minéralisées provenant de WK17 sont diluées au niveau de cette station par les eaux plus faiblement minéralisées de WK20.

2.3.3 Suivi de l'impact des activités de l'Usine sur les eaux souterraines

Les résultats du suivi des eaux souterraines sur le site de l'usine sont présentés graphiquement dans les figures ci-après suivant le type d'installation du piézomètre :

Piézomètres courts : suivi de la nappe contenue dans la latérite (Figure 19),

Piézomètres longs : suivi de la nappe contenue dans la saprolite (Figure 20).

Piézomètres courts :

pH : compris entre 4.9 et 6.7 en 2021. Le pH minimal est mesuré au piézomètre 6-14A. Durant le 1^{er} semestre 2022, le pH est compris entre 5.2 et 7.

Conductivité : comprise entre 94.9 et 465 µS/cm en 2021. Durant le 1^{er} semestre 2022, elles oscillent entre 101 et 403 µS/cm. Les maximales sont mesurées au piézomètre 6-14A. Les suivis au niveau de ce piézomètre ont révélé des variations plus ou moins importantes de conductivité depuis 2012. En 2021, les résultats de suivis indiquent un affaiblissement des mesures de conductivité en 2021. Et durant le 1^{er} semestre 2022, la conductivité est de nouveau en hausse au niveau du piézomètre 6-14A. Au piézomètre 6-8A, les valeurs de conductivité sont toujours plus variables et légèrement plus élevées depuis 2017.

Chlorures et sulfates : les concentrations maximales en sulfates sont enregistrées au piézomètre 6-14A en 2021 et 2022. En concordance avec les mesures de conductivité, les teneurs en sulfates au piézomètre 6-14A sont en baisse en 2021 et augmentent de nouveau durant le 1^{er} semestre 2022. Les teneurs en chlorures évoluent de la même manière au piézomètre 6-14A. Au piézomètre 6-8A, les teneurs en sulfates montrent toujours les mêmes variations depuis 2017. Concernant les chlorures, les concentrations sont en légère hausse cependant la maximale mesurée est inférieure aux maximales relevées les années précédentes. A 6-3A, la hausse légère et progressive des chlorures constatée depuis 2008 dans les précédents bilans est de nouveau poursuivie en 2021 et 2022. L'évolution sera à suivre lors du prochain bilan semestriel. Enfin toujours concernant les chlorures, les suivis de 2021 et 2022 confirment la tendance légère à la hausse au niveau des piézomètres 6-1A et 6-2A débutée en 2020. Les concentrations mesurées durant cette période restent toutefois inférieures aux maximales relevées ultérieurement.

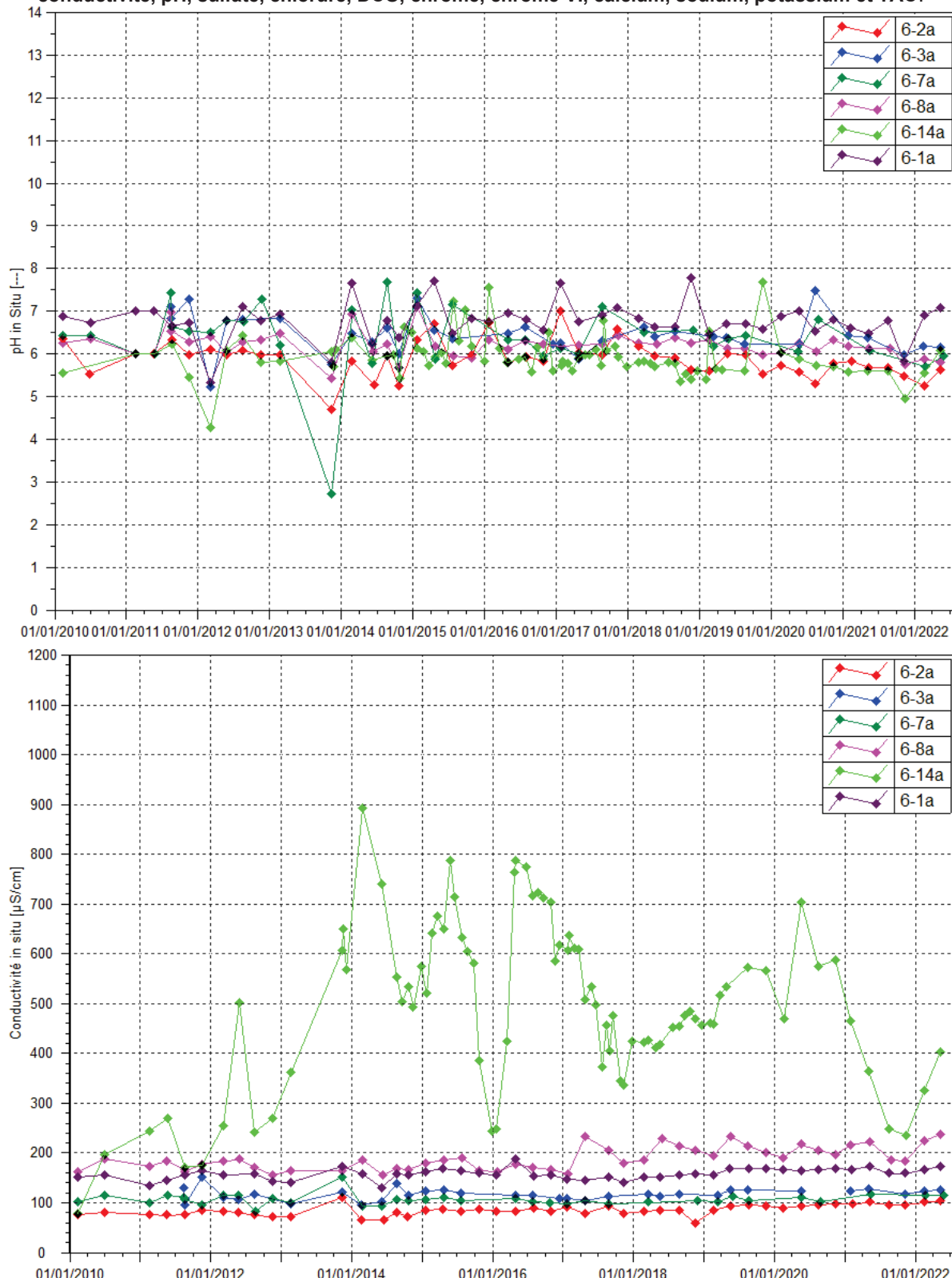
DCO et hydrocarbures : la DCO est faiblement quantifiée aux piézomètres 6-8A, 6-3A et 6-2A. En revanche, les HT ne sont pas détectés dans les piézomètres courts de l'usine en 2021 et durant le 1^{er} semestre 2022.

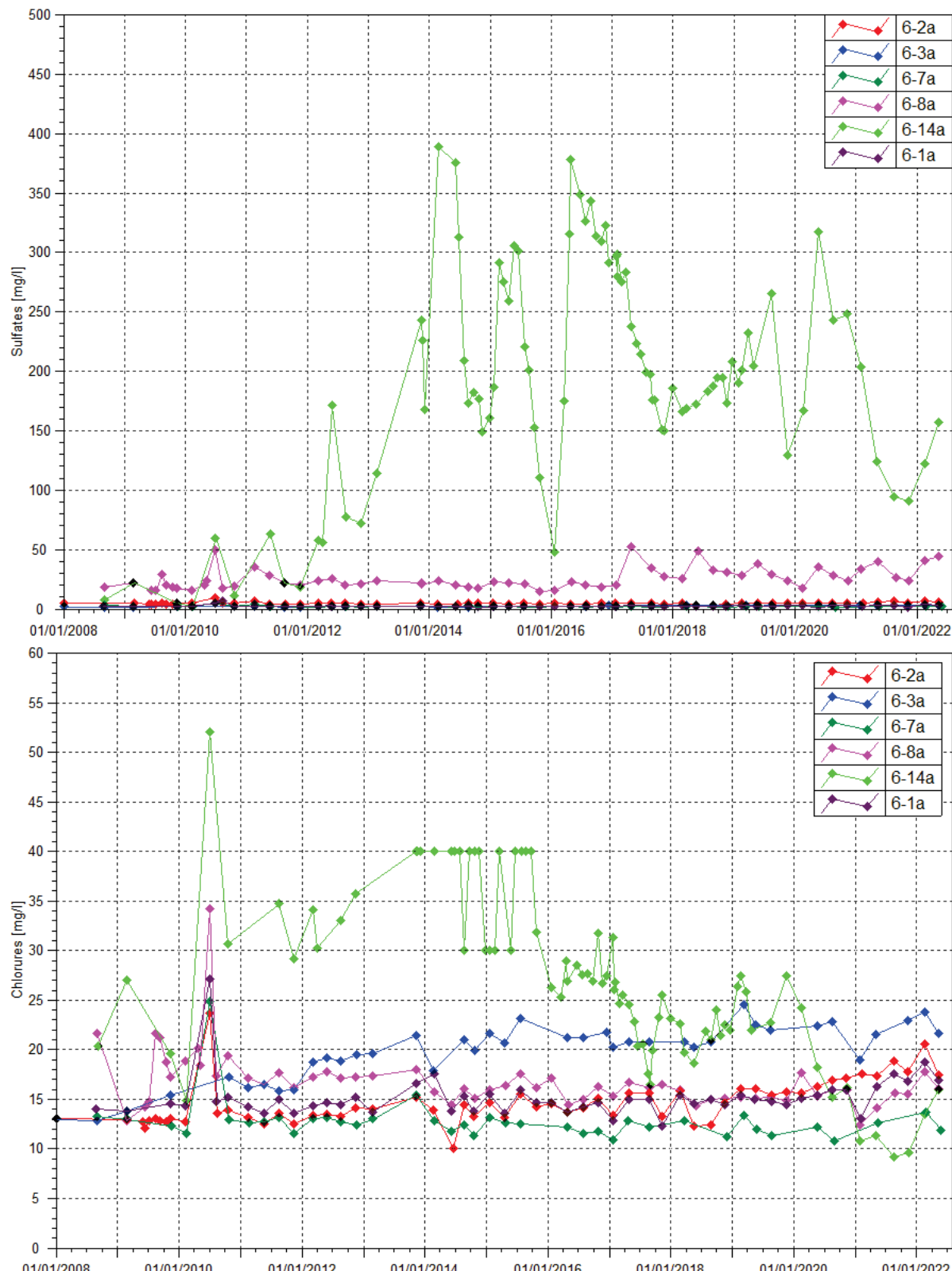
Chrome et chrome VI : les résultats de suivi aux piézomètres 6-14A et 6-8A indiquent une forte concentration en chrome VI en janvier 2021. Des teneurs de 0.54 et 0.17 mg/l sont relevées respectivement aux piézomètre 6-14A et 6-8A. Ces teneurs correspondent aux maximales relevées depuis le début des suivis pour cet aquifère. Une variation en chrome est également enregistrée au piézomètre 6-8A en janvier 2021. Aucune évolution particulière n'est constatée pour ces deux paramètres en 2021 et 2022 pour l'ensemble des piézomètres de ce groupe à l'exception d'une teneur plus faible que les normales mesurées au piézomètre 6-7A relevée lors du contrôle du 27 août 2020.

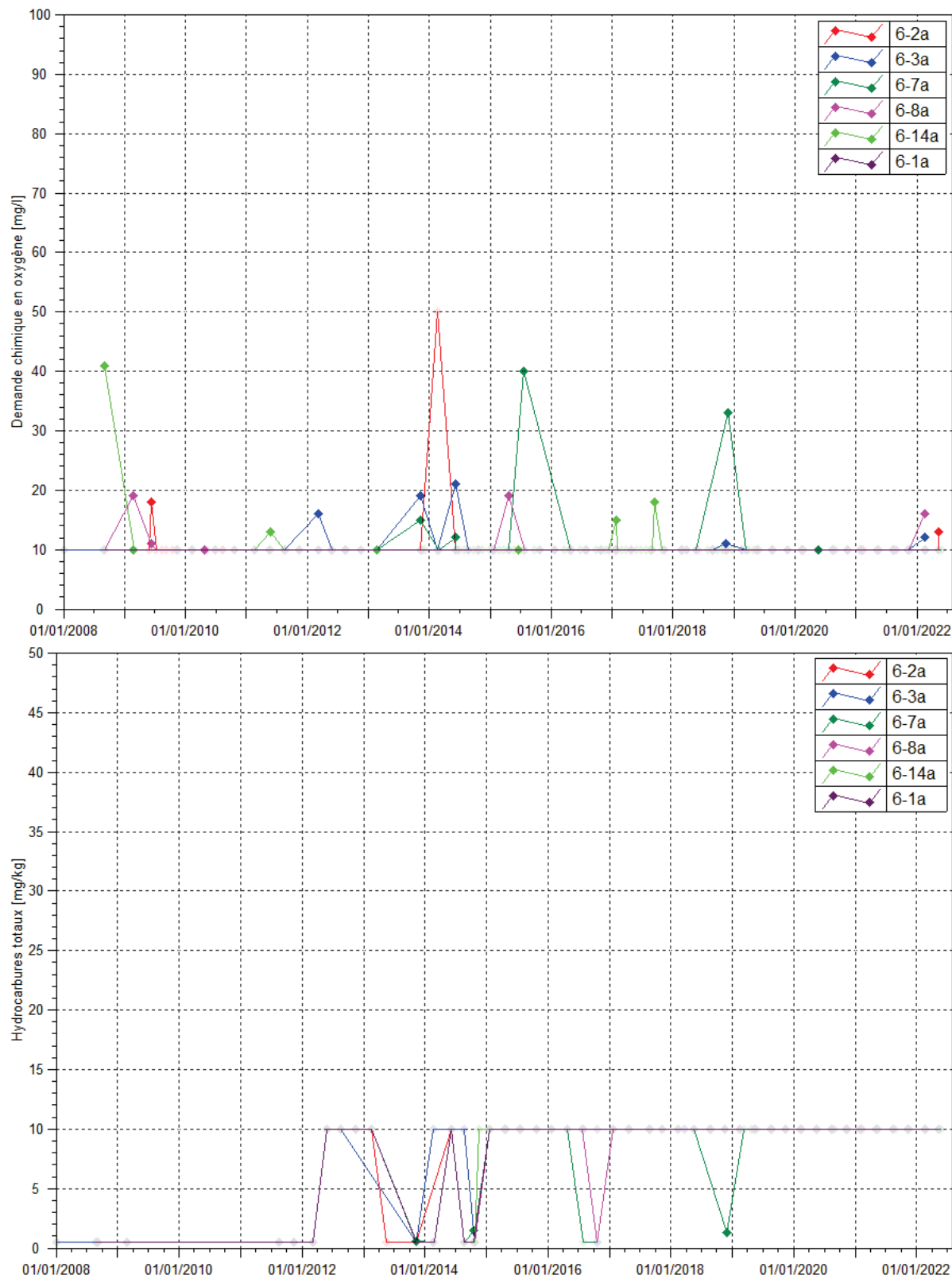
Calcium : comme la conductivité, les concentrations sont toujours plus élevées au piézomètre 6-14A en 2021 et 2022 mais en moyenne, elles sont moins élevées qu'en 2020. Aucune évolution particulière n'est à constater pour les autres piézomètres.

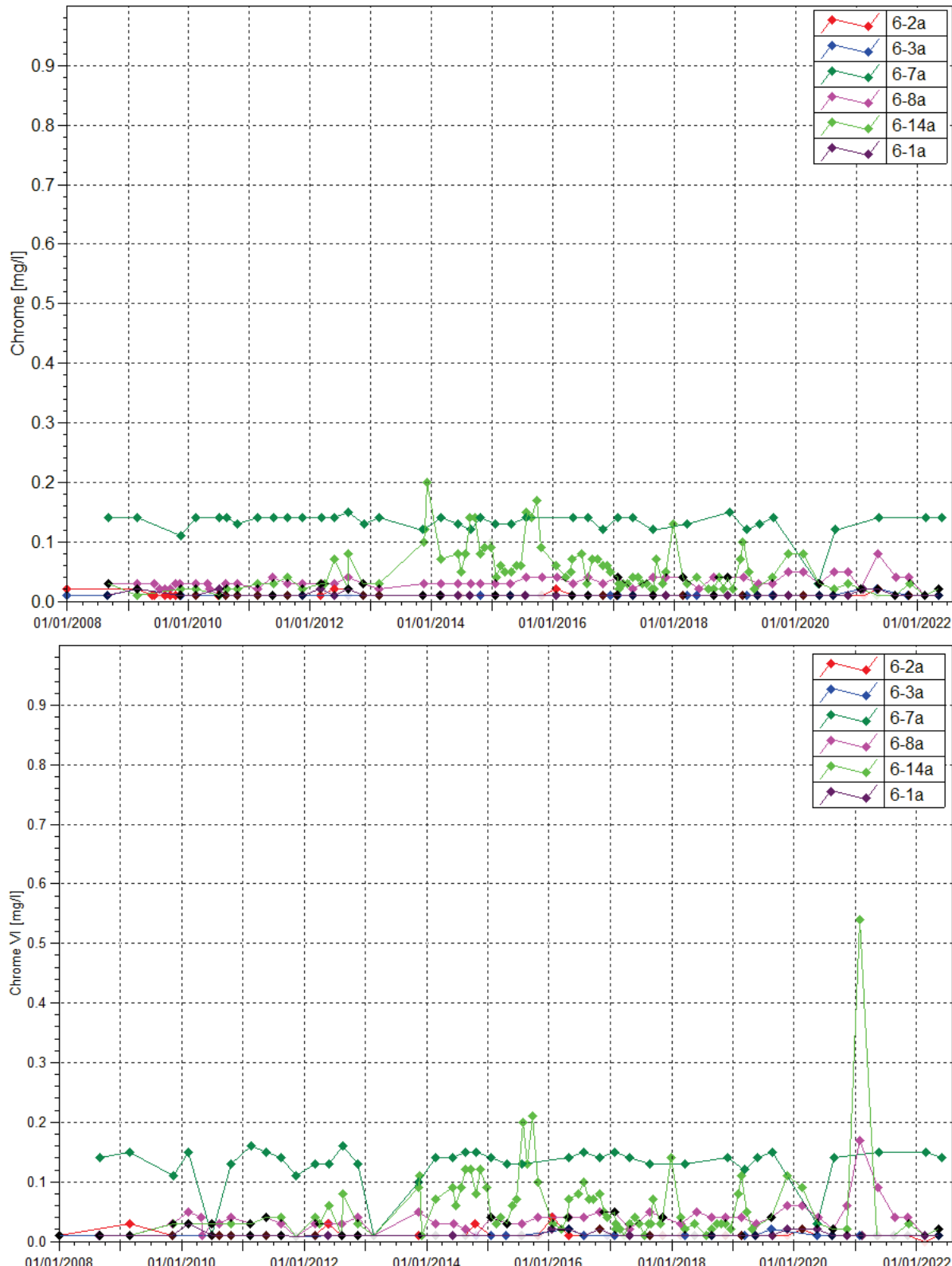
Sodium, potassium et TAC : Les analyses de 2021 et 2022 indiquent une tendance à la baisse des concentrations en sodium, potassium et TAC au piézomètre 6-14A. Pour les autres piézomètres, les analyses de 2021 et 2022 confirment la stabilité des concentrations en sodium, potassium et TAC.

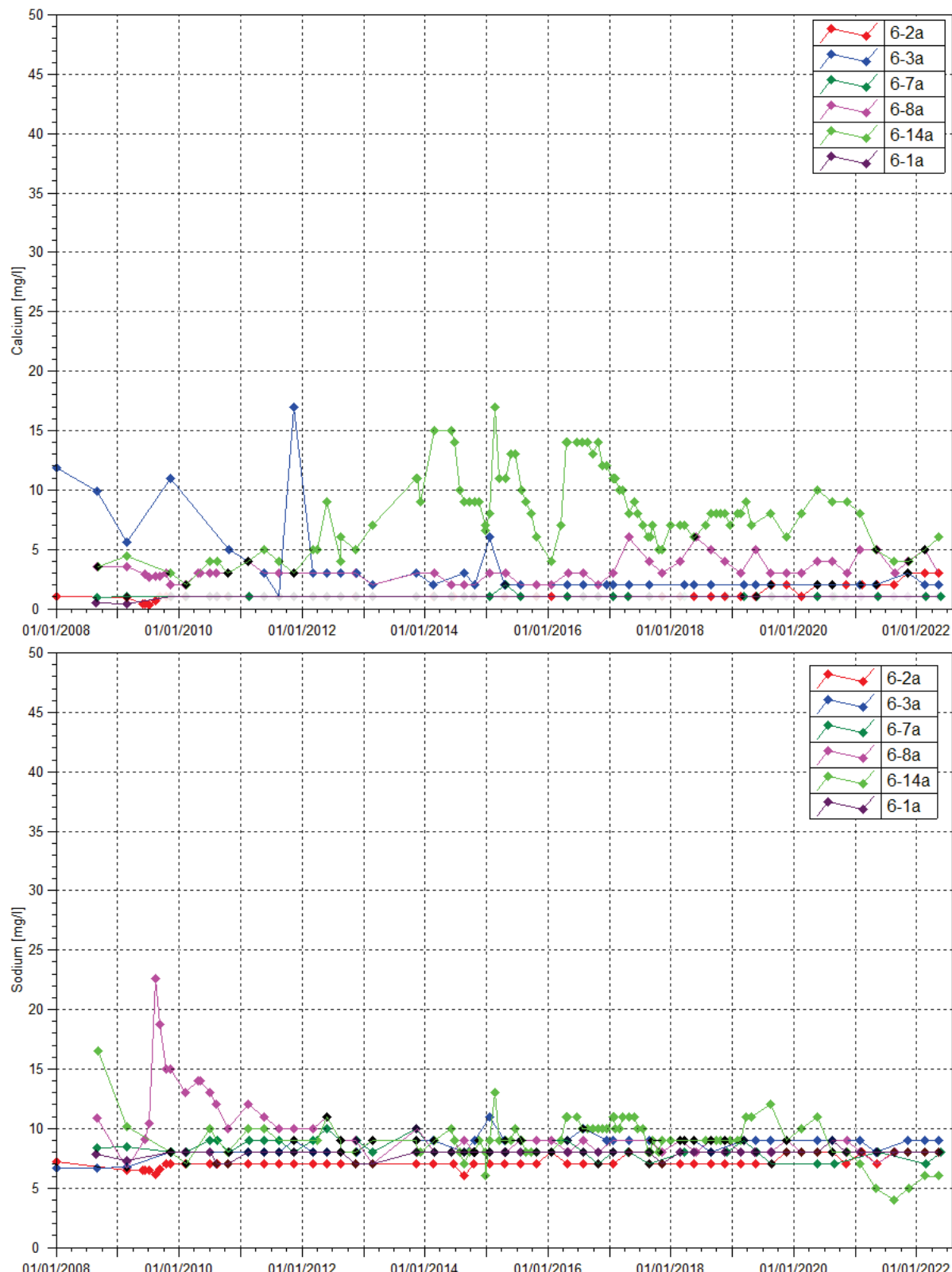
Figure 19 : Résultats du suivi piézométrique dans les horizons latéritiques sur le secteur de l'Usine– conductivité, pH, sulfate, chlorure, DCO, chrome, chrome VI, calcium, sodium, potassium et TAC.

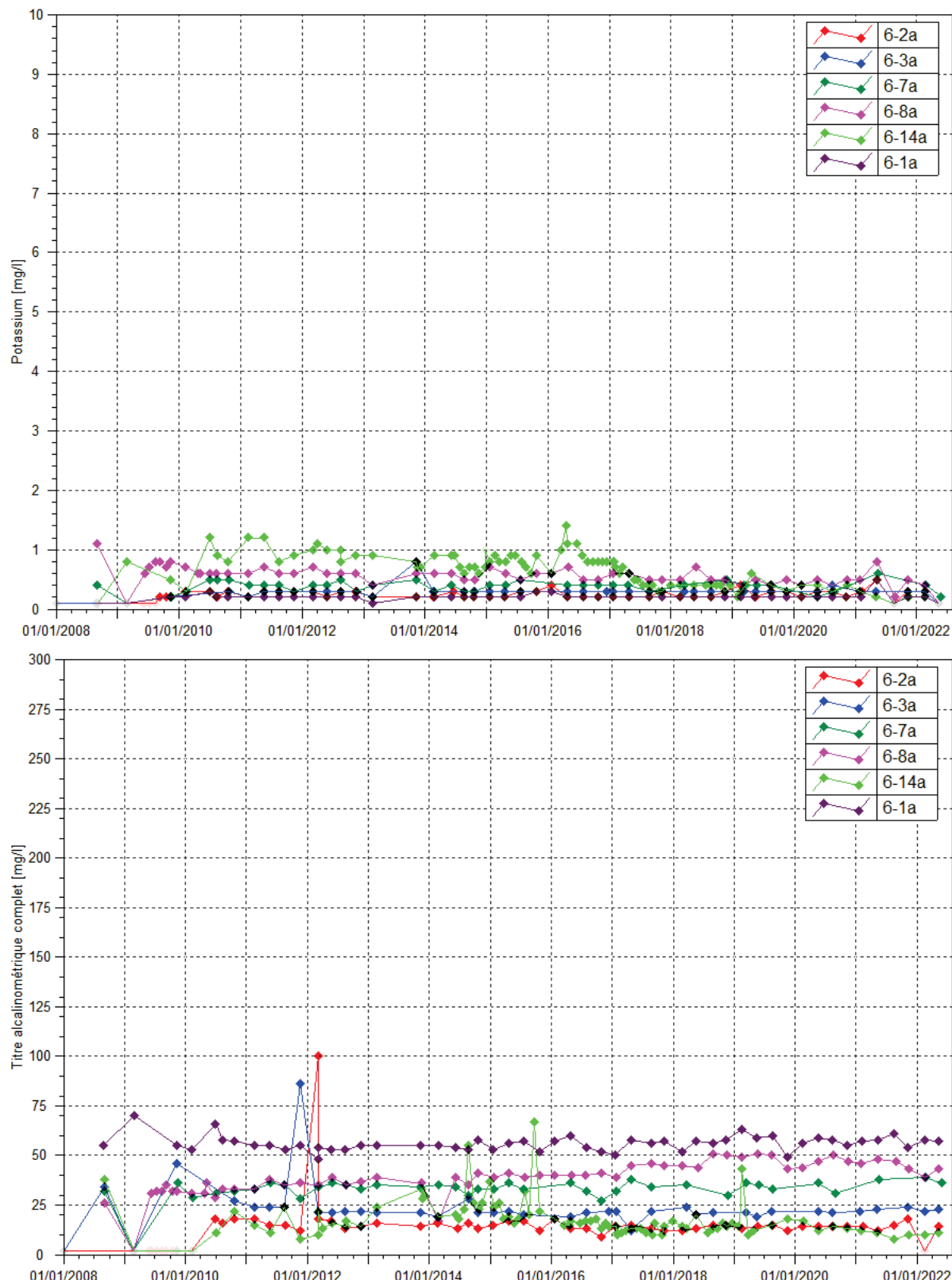












Piézomètres longs

pH : en 2021, le pH est compris entre 5.9 (au piézomètre **6-3**) lors du contrôle du mois de novembre et 9.3 (relevé au piézomètre **6-6**) au mois de mars. Au 1^{er} semestre 2022, le pH est compris entre 5.9 (piézomètre **6-3**) et 8.8 (piézomètre **6-6**).

Conductivité : comprise entre 90.8 et 285 µS/cm en 2021. La maximale est enregistrée au mois de mai au piézomètre 6-14. Des variations de conductivité ont été régulièrement enregistrée au niveau de cette station. Durant le 1^{er} semestre 2022, la conductivité est comprise entre 98.1 et 298 µS/cm. De manière générale, les résultats en conductivité pour l'ensemble des piézomètres n'indiquent pas d'évolution particulière en 2021 et 2022.

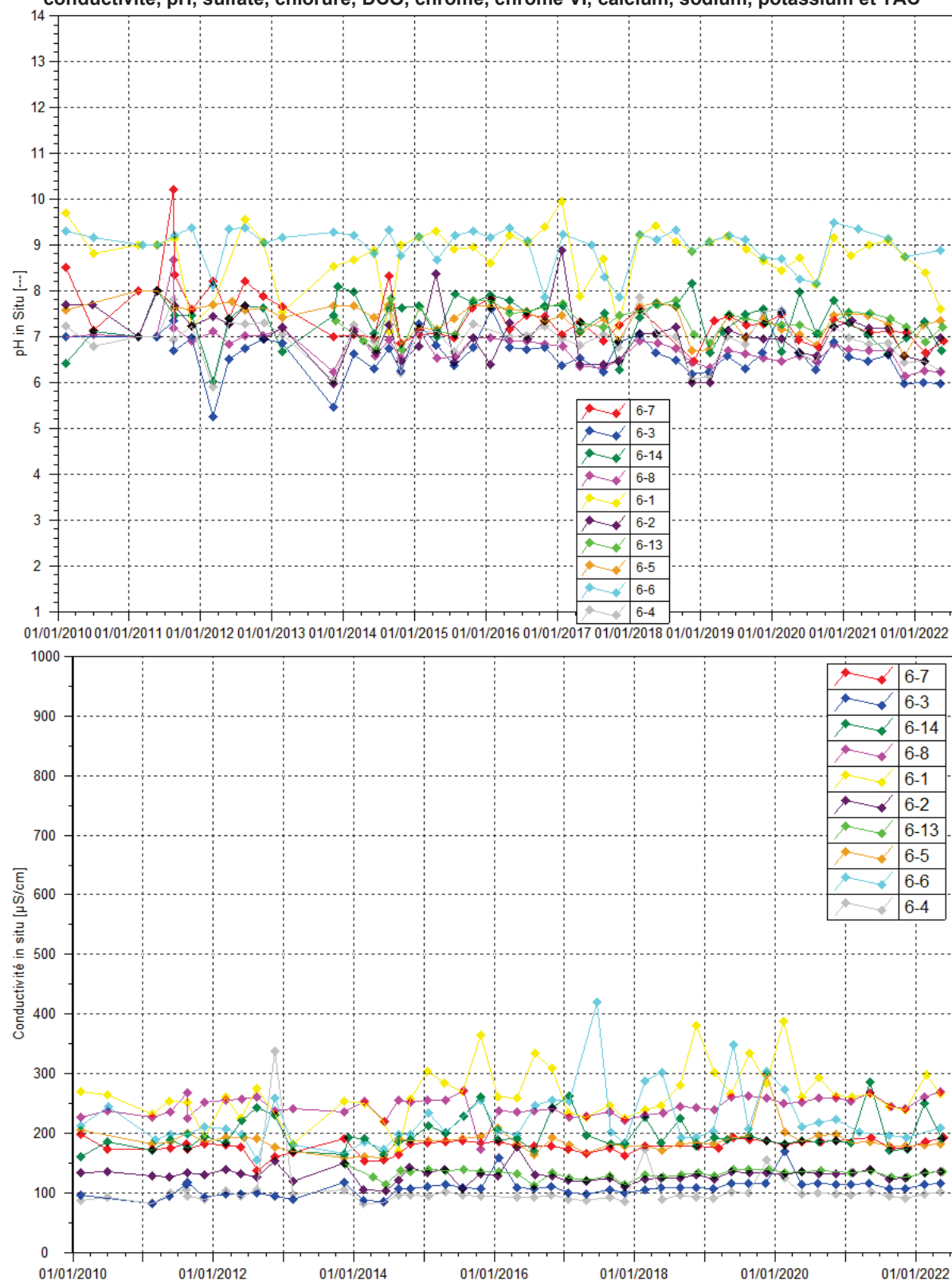
Chlorures et sulfates : Les analyses au piézomètre 6-8 révèlent une tendance légère à la hausse des sulfates à partir de janvier 2021. Les chlorures sont en légère hausse en 2021 au piézomètre 6-3. Cette évolution sera à suivre au cours du prochain bilan semestriel. Pour les autres piézomètres, aucune évolution particulière n'est constatée pour ces paramètres.

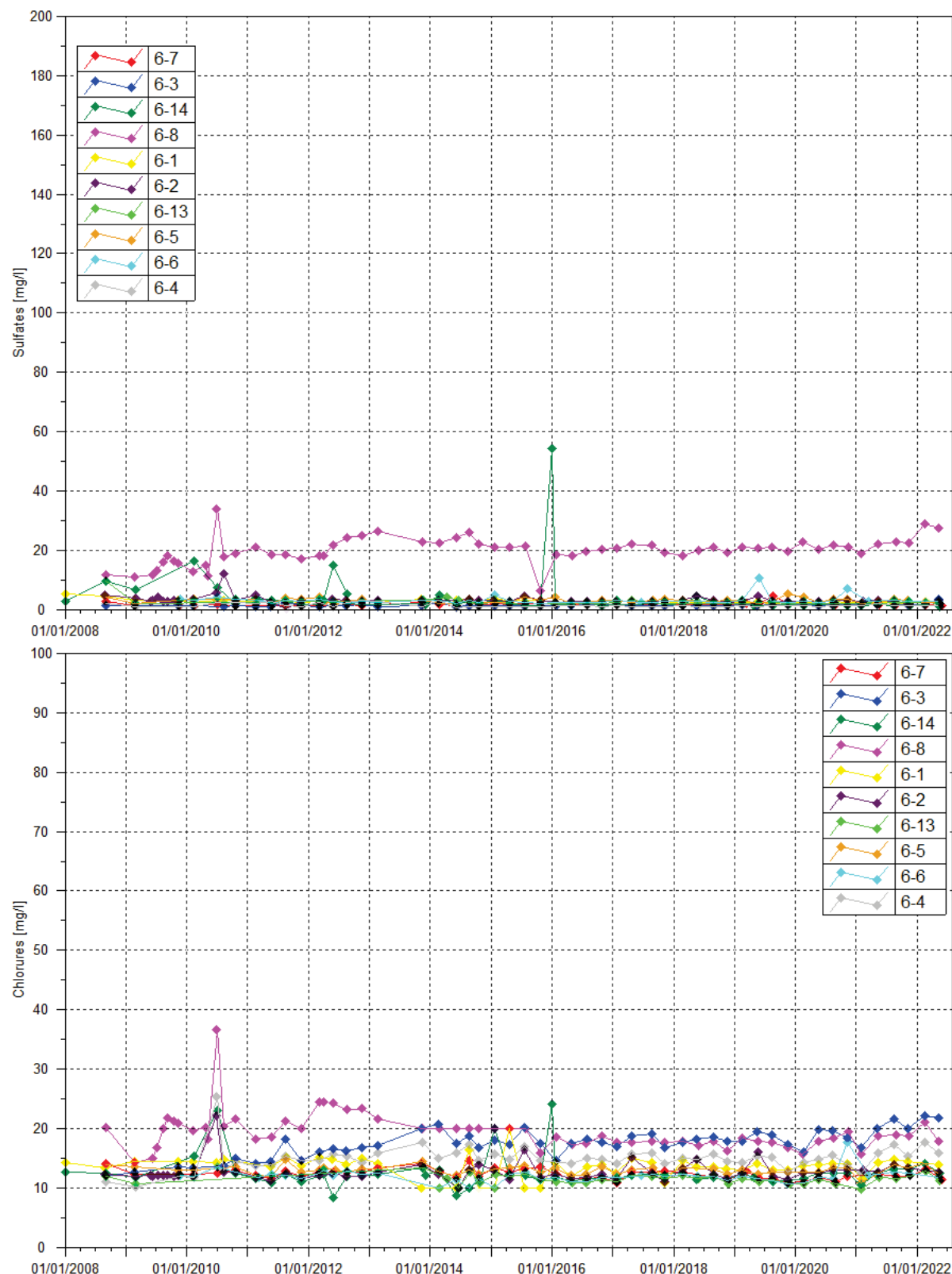
DCO et hydrocarbures : comme les années précédentes, la DCO est faiblement détectée sur l'ensemble des piézomètres des horizons saprolitiques. Cependant les hydrocarbures ne sont pas détectés dans les eaux souterraines des horizons saprolitiques.

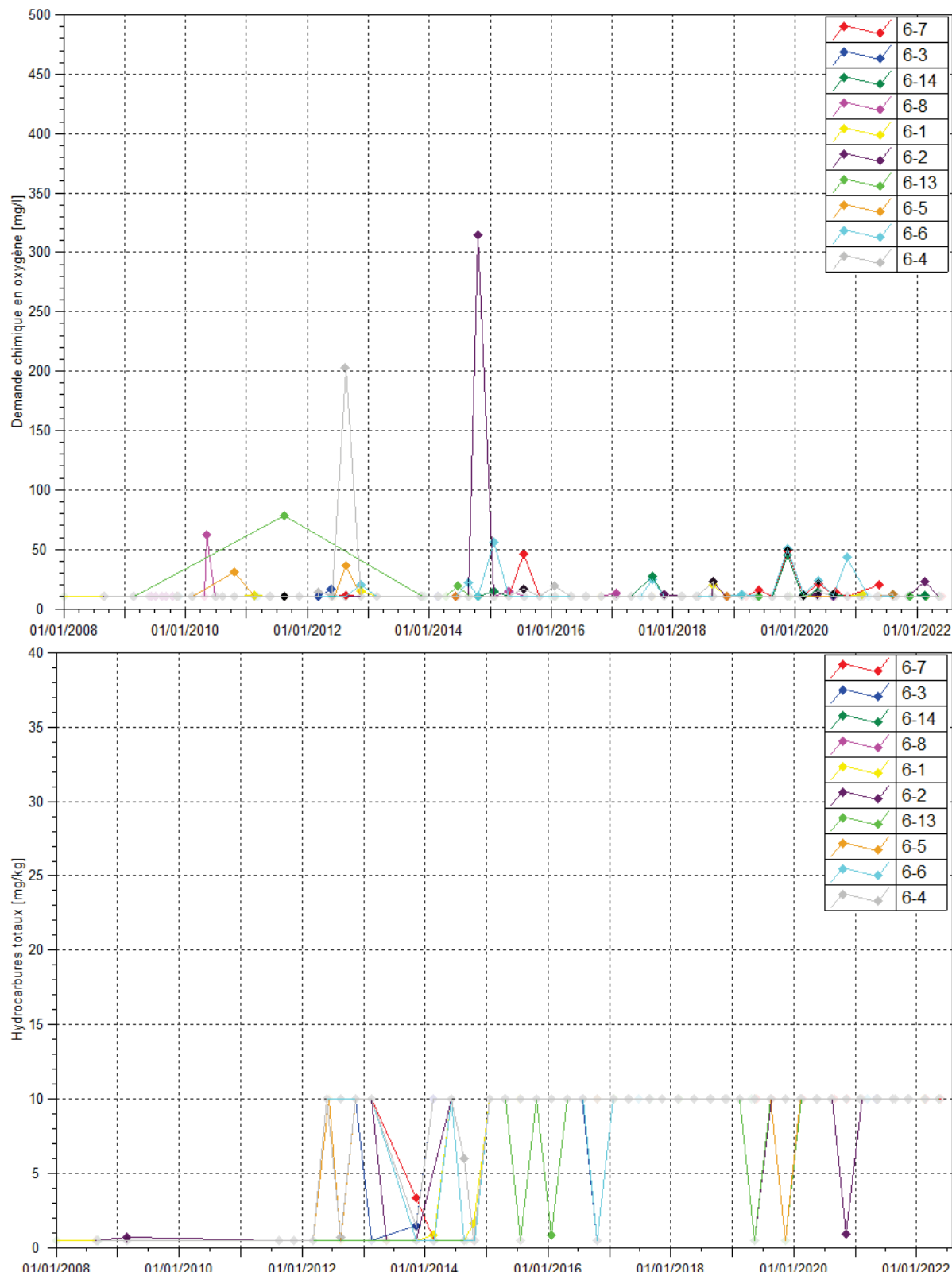
Chrome et chrome VI: une forte teneur en chrome VI est relevée lors du contrôle de fin janvier 2021 aux piézomètres 6-14 et 6-4. (Soit 1.49 et 0.47 mg/L). Pour les autres piézomètres, les résultats d'analyse de 2021 et du 1^{er} semestre 2022 montrent des teneurs comparables aux années précédentes.

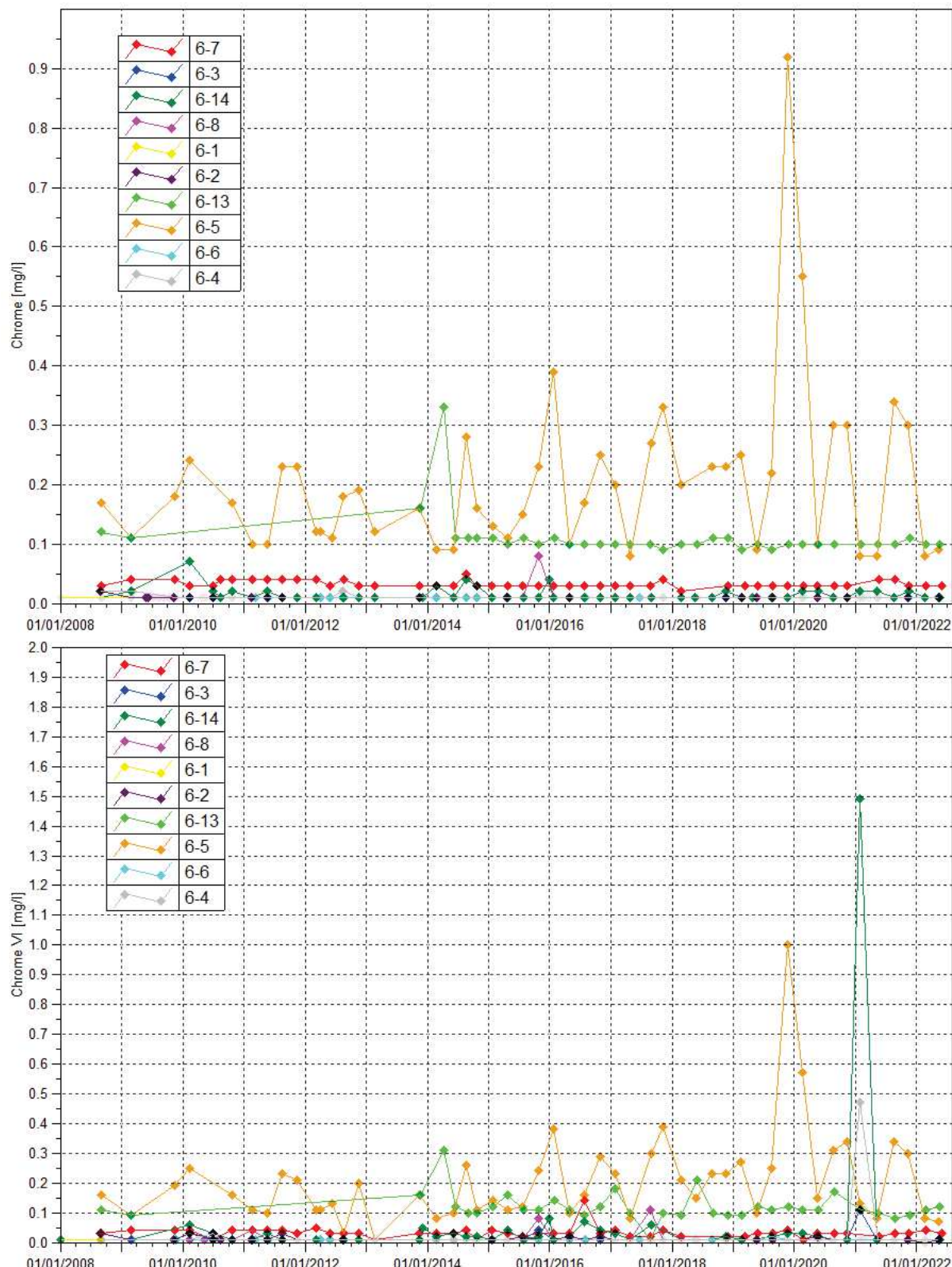
Sodium, Calcium, Potassium et TAC : aucune évolution particulière n'est constatée pour les paramètres sodium et calcium sur l'ensemble des piézomètres de suivi des horizons saprolitiques durant cette période. Excepté au piézomètre 6-1 où le contrôle de février indique une concentration en potassium supérieure aux normales mesurées. On peut également noter qu'en février 2022, le TAC n'est pas quantifié aux piézomètres 6-1, 6-8 et 6-2. Pour les autres piézomètres, les résultats en potassium et TAC sont comparables aux années précédentes.

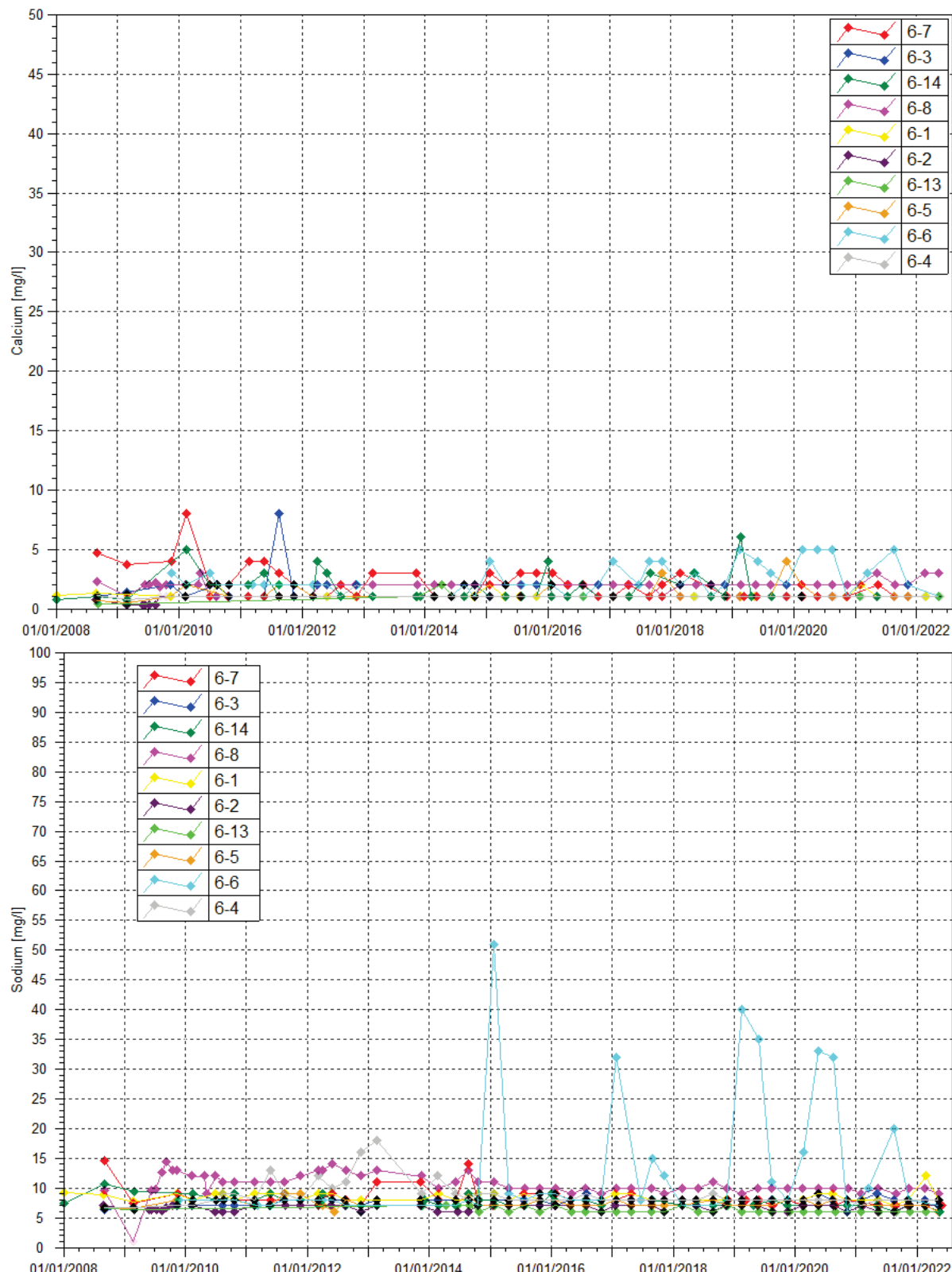
Figure 20 : Résultats du suivi piézométrique dans les horizons saprolitiques sur le secteur de l'Usine–conductivité, pH, sulfate, chlorure, DCO, chrome, chrome VI, calcium, sodium, potassium et TAC

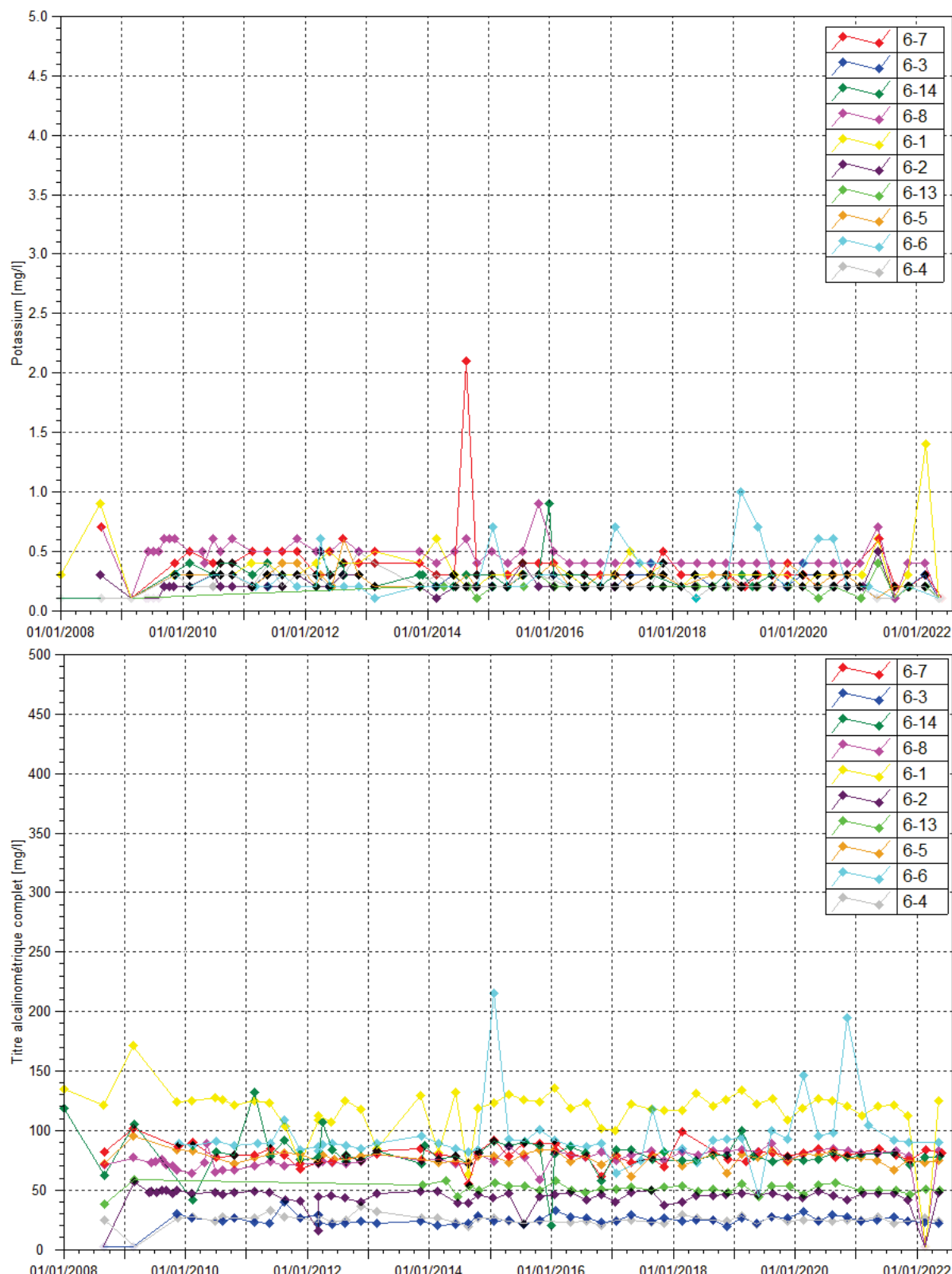












2.3.4 Suivi de l'impact des activités de l'UPM sur les eaux souterraines

Les figures suivantes présentent les résultats du suivi des eaux souterraines sur le site de l'UPM.

pH : en 2021, le pH est compris entre 4.5 et 6.5 et le 1^{er} juillet 2022. Durant le 1^{er} semestre 2022, il est compris entre 4.8 et 5.6.

Conductivité : compris entre 79.1 et 98.4 µS/cm en 2021. Durant le 1^{er} semestre 2022, la conductivité oscille entre 86.3 et 99 µS/cm.

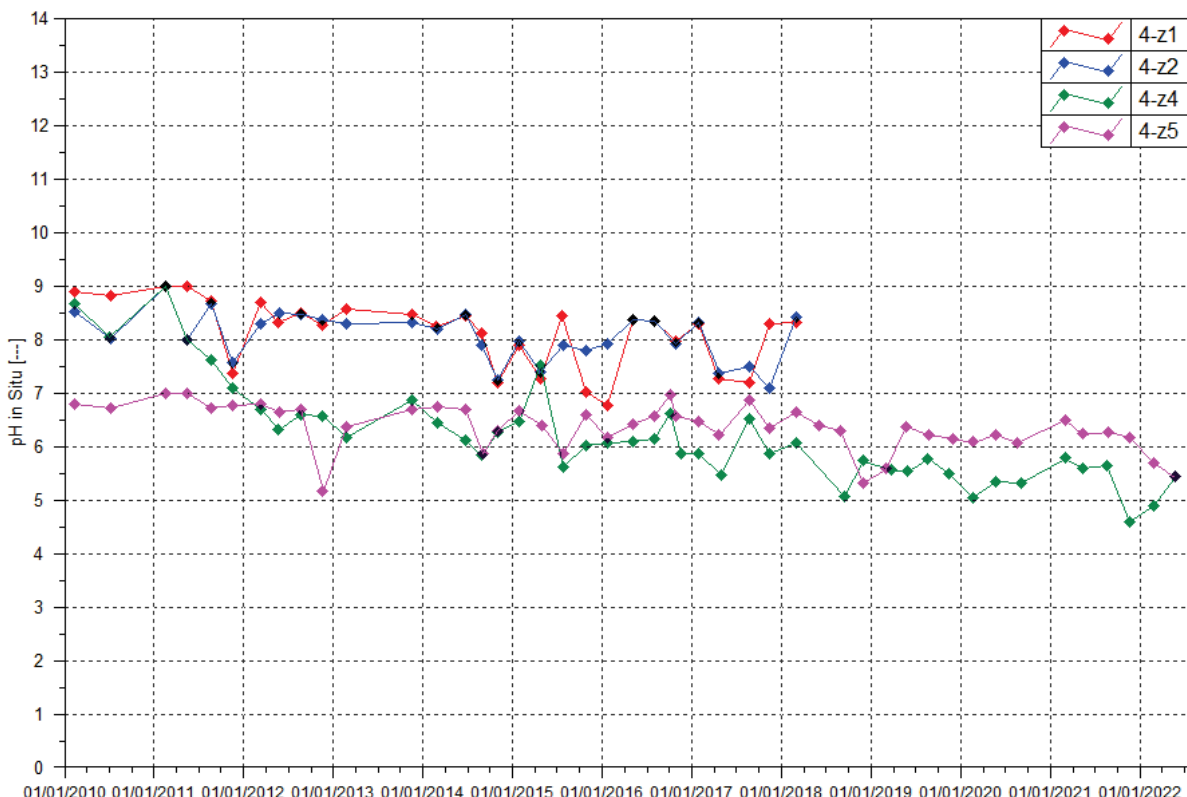
Chlorures et sulfates : Les résultats en chlorures au piézomètre 4-z5 sont stables depuis 2016. En revanche, les chlorures sont en augmentation légère et constante depuis 2015 au piézomètre 4-z4. Concernant les sulfates, les résultats d'analyses montrent une stabilité des teneurs en sulfates au piézomètre 4-z4 et 4-z5 depuis 2019.

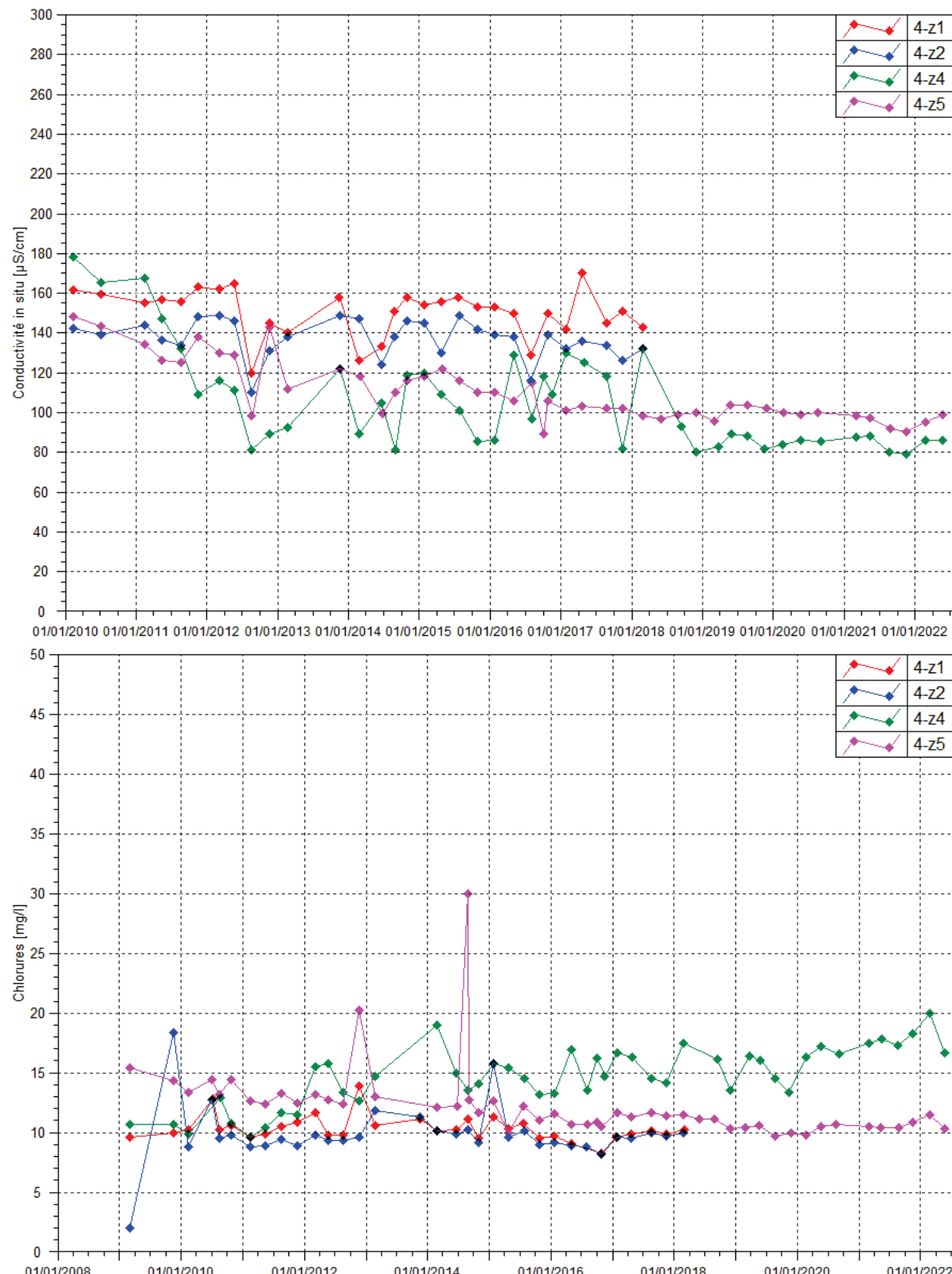
DCO et Hydrocarbures : Les hydrocarbures ne sont pas quantifiés dans la nappe des horizons saprolitiques au cours en 2021 et au 1^{er} semestre 2022.

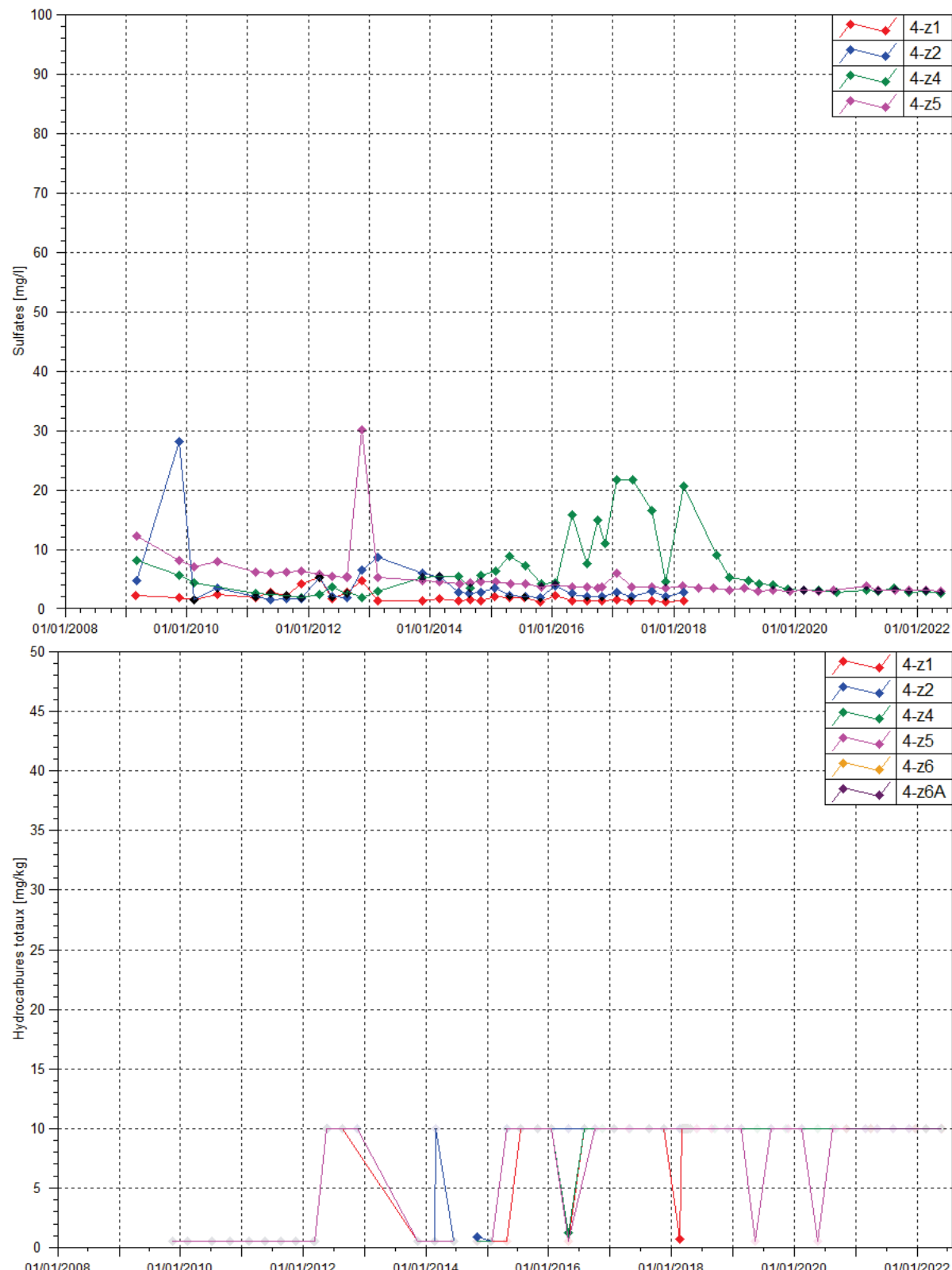
Chrome et Chrome VI : ces paramètres ne sont pas détectés dans les eaux souterraines de l'UPM.

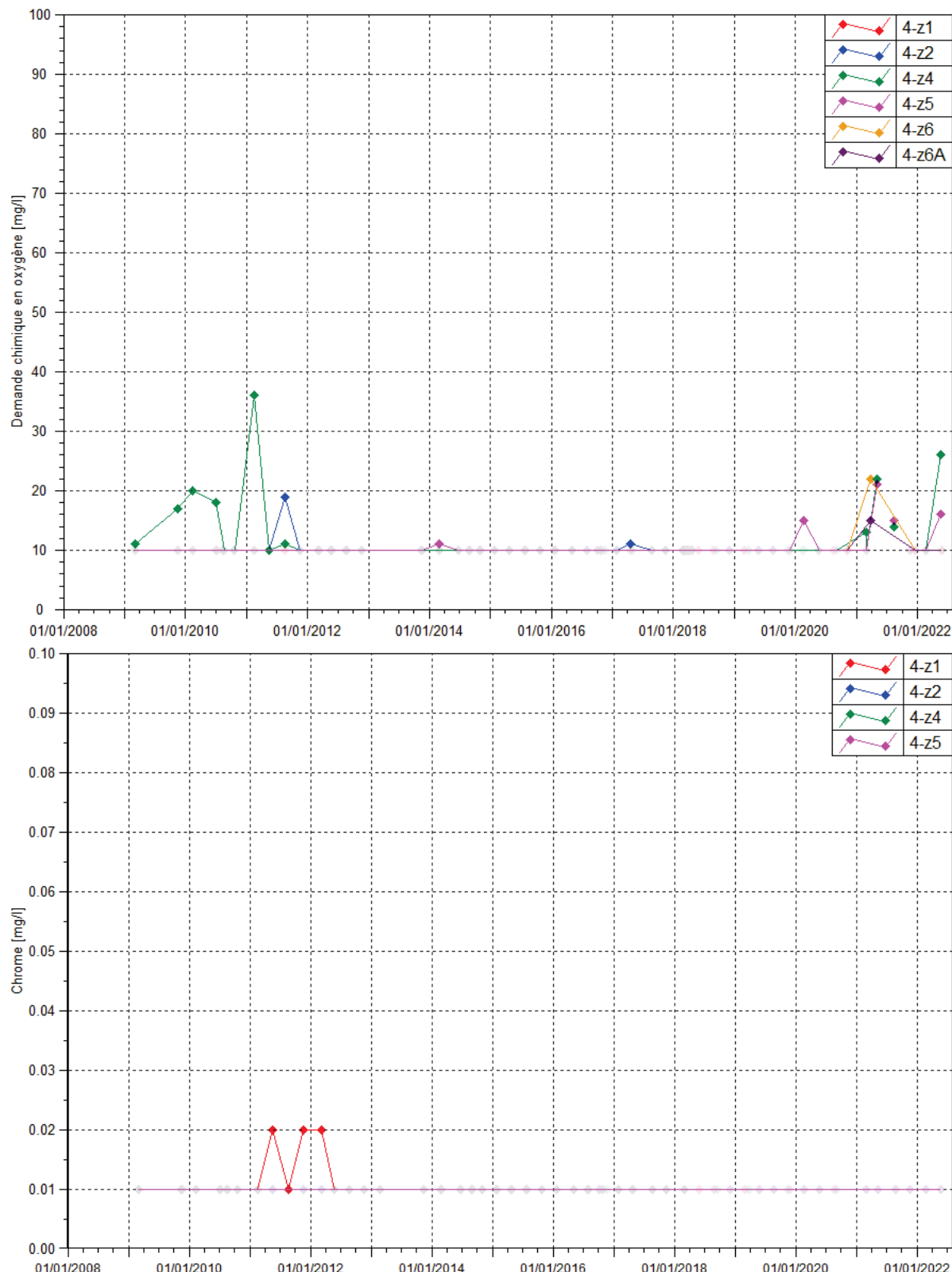
Calcium, TAC, Potassium et Sodium : les résultats d'analyse de 2021 et 2022 ne révèlent aucune évolution particulière pour ces paramètres calcium et TAC. De légères variations en sodium et potassium sont enregistrées en 2021 et 2022 aux piézomètres 4-z4 et 4-z5.

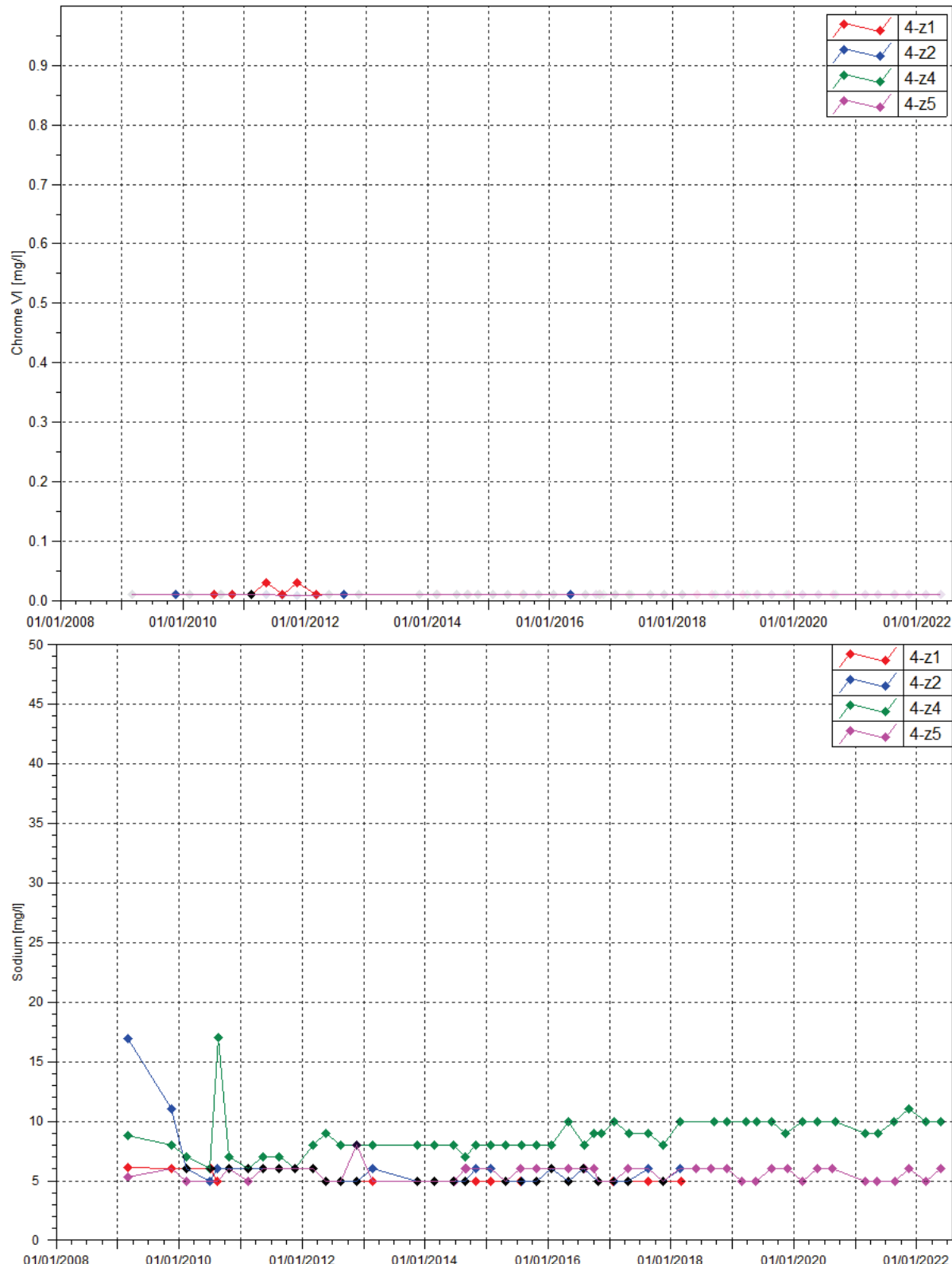
Figure 21 : Résultats du suivi piézométrique sur le secteur de l'Unité de préparation du minerai–conductivité, pH, sulfate, chlorure, DCO, chrome, chrome VI, calcium, sodium, potassium et TAC.

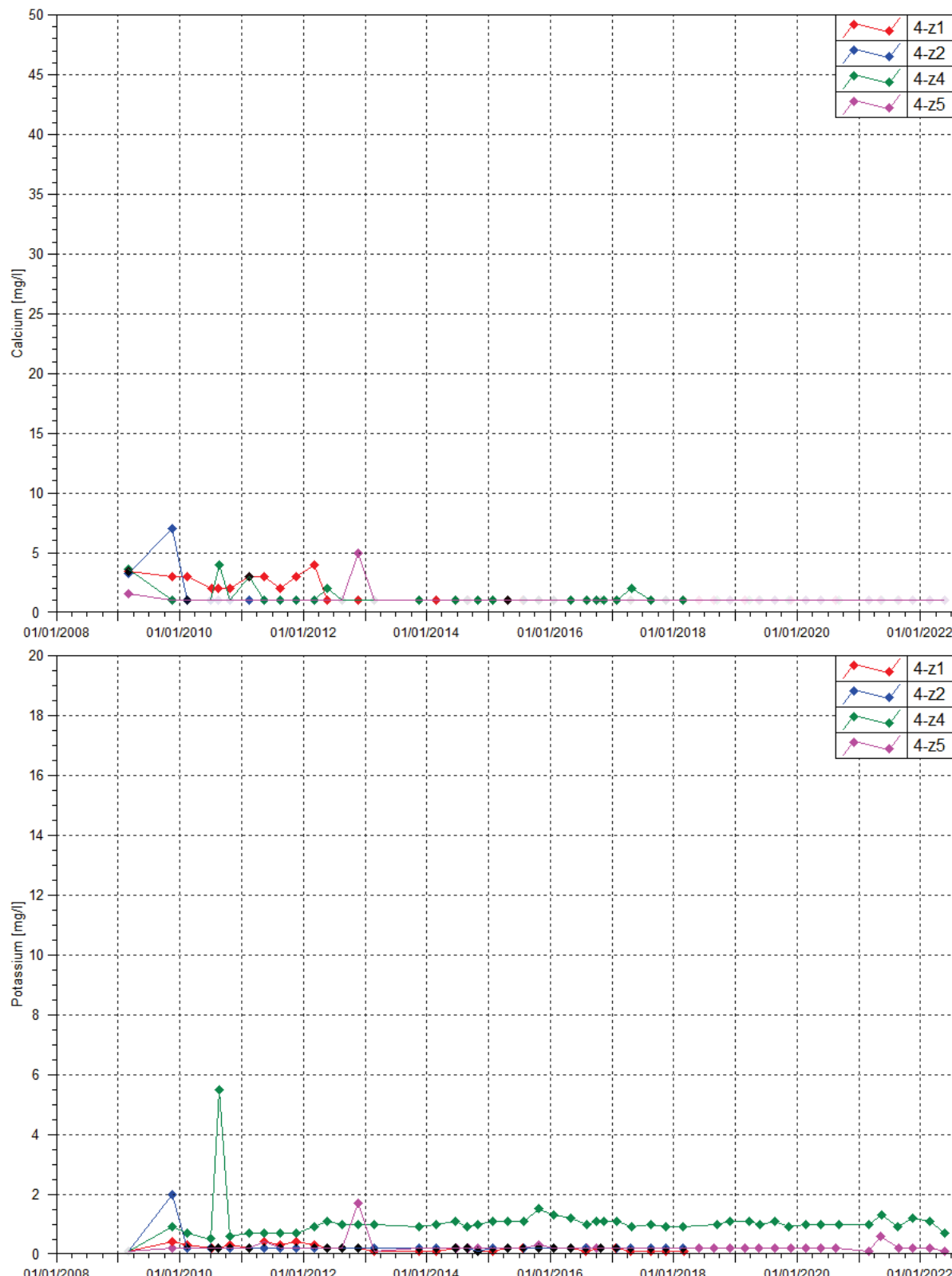


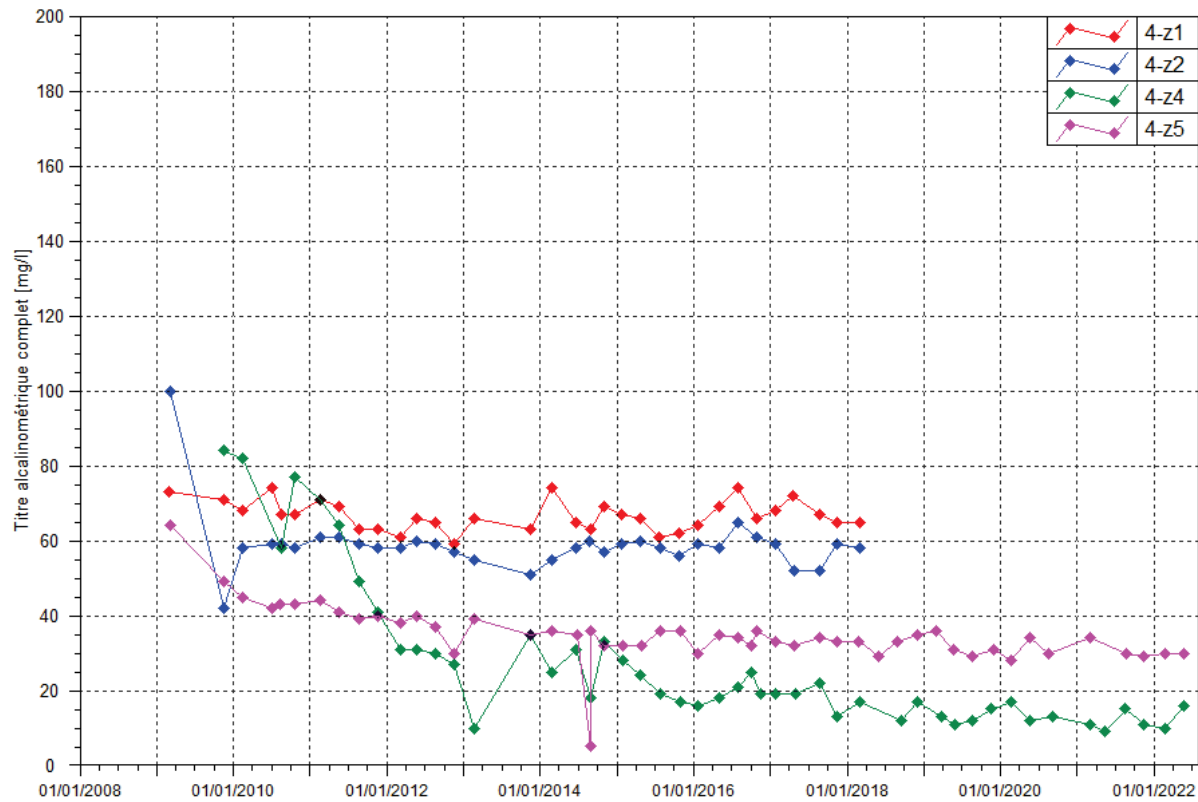












3 ANALYSE DES RESULTATS ET INTERPRETATIONS

3.1 Suivi de l'impact des activités du port sur les eaux souterraines

La surveillance des eaux souterraines autour du dépôt d'hydrocarbures du site portuaire n'a pas révélé de variation particulière de la qualité des eaux souterraines. Les valeurs élevées de conductivité et DCO au piézomètre 7-1 sont toujours le résultat d'une intrusion naturelle de l'eau de mer dans la nappe d'eau souterraine.

3.2 Suivi de l'impact des activités du parc à résidus sur les eaux souterraines

3.2.1.1 Eaux souterraines

Comme précisé en amont du rapport, le suivi piézométrique décrit dans l'arrêté n°1466-2008 désormais obsolète est maintenu jusqu'à destruction des piézomètres en fonction de l'avancée des travaux de construction de l'usine d'assèchement des résidus DWP2.

L'aquifère principal proche de la zone de stockage de résidus présente des eaux faiblement minéralisées. En effet, la conductivité pour la majorité des piézomètres suivis de cette aquifère est compris entre 102 et 216 μ S/cm. Cependant ce bilan met en évidence de légères perturbations de la qualité physico-chimique de la nappe au niveau des piézomètre WKBH118A et WK6-9. Les résultats du suivi en 2021 et du 1^{er} semestre 2022 pour ces piézomètres confirment la tendance légère à la hausse de la conductivité, des sulfates, chlorures et magnésium à plus ou moindre mesure aux piézomètres WKBH118A et WK6-9 depuis 2008.

Les évolutions des paramètres de conductivité, sulfates, magnésium attestent que les perturbations sont liées à l'exploitation du parc à résidus.

La nappe des horizons latéritiques proche de la zone de stockage des résidus montre également un déséquilibre de la qualité physico-chimique de la nappe au niveau des piézomètres PP1-A, WK6-10A, WKBH117B et à moindre teneur au piézomètre WK6-12A. Les résultats de suivi en conductivité, sulfates et magnésium pour ces piézomètres confirment la tendance à la hausse observée à partir de 2020.

D'autre part, le suivi de 2021 et du 1^{er} semestre 2022 dans la zone éloignée du stockage de résidu ne révèle aucune tendance particulière pour l'ensemble des paramètres de suivi de la nappe latéritique. En revanche, le suivi de la nappe profonde atteste d'une évolution de la qualité physico-chimique au niveau du piézomètre WK6-14. En effet, l'analyse des résultats de suivi de ce piézomètre confirme une croissance légère et constante de la conductivité, des teneurs en sulfates et magnésium. Les valeurs mesurées ne sont pas indicatrices de perturbation majeure de la qualité physico-chimique mais l'évolution de ces paramètres sera à suivre au cours des prochains bilans semestriels.

Ces évolutions sont liées à l'exploitation du parc à résidus, qui continuent d'apporter des éléments dissous via des circulations d'eau souterraines préférentielles et des infiltrations qui influent sur la qualité physico-chimique de la nappe profonde en certains points localisés. Les piézomètres pour lesquelles des perturbations sont observées. Aucun nouveau point de perturbations n'est observé au cours de ce bilan annuel. Seul le piézomètre WK6-14, situé en zone éloignée, semble présenter une légère évolution qui sera à surveiller lors des prochains bilans semestriels.

Enfin, concernant les métaux, le manganèse est uniquement et faiblement détecté dans la nappe saprolitique profonde et latéritique proche de la zone de stockage mais les teneurs relevées sont faibles et équivalentes à l'état initial. Concernant le nickel, le bilan des analyses de 2020 fait état d'une légère augmentation de la concentration en nickel dans l'aquitard latéritique proche de la zone de stockage au niveau du piézomètre WKBH1112A. Les précédents bilans indiquaient des fluctuations en nickel au niveau de ce piézomètre depuis 2014. Concernant les teneurs en chrome, les résultats de suivi ne montrent pas de variation particulière concernant ces deux types de nappes suivant leur localisation

par rapport à la zone de stockage de résidus excepté au piézomètre WKBH114 où un pic de concentration en chrome est enregistré en mai 2022.

3.2.1.2 Sources : WK17 et WK20

L'analyse des résultats de suivi des sources de la Kwé Ouest, WK17 et WK20, montrent les mêmes caractéristiques physico-chimiques et les mêmes comportements que ceux de la nappe profonde de la Kwé Ouest. La localisation des sources est proche du stockage des résidus, il a été démontré lors des précédents bilans que les résultats d'analyse des sources présentaient des similitudes d'évolution avec le piézomètre WKBH103 et avec le piézomètre WKBH110 pour la source WK20, deux piézomètres désormais détruits suite à l'avancée des travaux de construction Lucy.

Le bilan du suivi 2021 et du 1^{er} semestre 2022 atteste :

- D'un affaiblissement de la minéralisation justifié par une diminution de la conductivité, des sulfates et du magnésium à la source WK17,
- D'une stabilité physico-chimique à WK20. Les concentrations relevées à WK20 restent toujours plus faibles qu'à WK17.
- Une hausse de la minéralisation au niveau de la confluence des sources, WK17-20, s'expliquant par la modification des écoulements en provenance de WK17 et WK20. Suite aux travaux opérés dans la zone à partir d'avril 2021, les apports en minéraux venant des sources ont été modifiées.

Pour rappel, en 2017, une accentuation de la contamination était constatée aux sources de la Kwé Ouest.

Comme décrit précédemment, ces évolutions sont liées à l'exploitation du parc à résidus, qui continuent d'apporter via les écoulements d'eau souterraine et les infiltrations des éléments dissous qui influent sur la qualité physico-chimique de la nappe profonde.

Enfin, concernant les métaux lourds, le manganèse est détecté au niveau de la source WK17 et par conséquent à la confluence WK17-20 à moindre mesure entre le 17 mars et 7 avril 2022. Ces concentrations sont le résultat de plusieurs épisodes pluviométriques qui se sont produits durant cette période, engendrant des écoulements chargés en matières en suspension en provenance de WK17. De plus, les analyses des sources confirment la stabilisation des teneurs en chrome et attestent d'une baisse des teneurs en nickel entre le 1^{er} janvier 2021 et le 1^{er} juillet 2022.

3.3 Suivi de l'impact des activités de l'usine sur les eaux souterraines

Les résultats de suivi de 2021 et du 1^{er} semestre 2022 dans les eaux souterraines des horizons latéritiques confirment :

- Les fortes variations de conductivité et des sulfates observées au piézomètre 6-14A depuis 2012. Cependant les maximales mesurées en 2021 et 2022 sont inférieures aux maximales précédemment relevées. La tendance en 2022 est de nouveau à la hausse pour ces paramètres.
- Des mesures légèrement plus élevées pour les paramètres de conductivité et chlorures au piézomètre 6-8A.
- Des concentrations en chlorures légèrement plus élevées qu'en 2020 aux piézomètres 6-1A et 6-.2A

Le piézomètre 6-14A est situé près de l'unité 310-320 (usine de calcaire et de chaux). L'aquitard latéritique pourrait être influencé par l'infiltration des eaux de ruissellement sur cette zone. Les pics de conductivité et de sulfates sont le résultat des variations du niveau d'eau dans la nappe latéritique. En 2021, les relevés de niveau piézométrique effectués lors des prélèvements d'eau souterraine indiquaient une diminution du niveau de l'aquitard. Cet assèchement pourrait expliquer l'affaiblissement de la minéralisation relevée pour ce piézomètre 2021. Durant le 1^{er} semestre 2022, l'augmentation du niveau d'eau de l'aquitard explique la tendance à la hausse de nouveau observée.

Le piézomètre 6-8A est situé en aval hydraulique du site industriel, des bassins de premier flot et de la zone de stockage du vrac (calcaire et soufre). Tels qu'observés au piézomètre 6-14A, les faibles teneurs sont constatées lorsque les niveaux de l'aquitard sont faibles et les plus fortes valeurs, lorsque que le niveau d'eau augmente. On peut supposer qu'au cours de cette période, des écoulements préférentiels souterrains provenant de la zone de stockage de vrac pourraient impacter la qualité physico-chimique des eaux souterraines à 6-8A.

Dans la nappe profonde, située dans les horizons saprolitiques, les résultats de 2021 et du 1^{er} semestre 2022 ne montrent pas d'évolution particulière. Toutefois, on peut noter de légères perturbations aux piézomètres 6-8 et 6-3 durant cette période. Ces variations concernent les ions sulfates et chlorures. Le piézomètre 6-3 est situé en aval du stockage de gazole de Prony Energie. Aucune contamination en HT n'a été enregistrée au niveau de ce dernier piézomètre. Une fois de plus, suivant l'écoulement préférentiel des eaux souterraines, l'infiltration des eaux de ruissellement au niveau de la zone stockage des vracs pour le piézomètre 6-8 et plus largement du site industriel peut être la cause des variations observées au piézomètre 6-3 durant cette période.

3.4 Suivi de l'impact des activités de l'UPM sur les eaux souterraines

Aucune évolution particulière n'est constatée au niveau du piézomètre 4-z5.

Au niveau de 4-z4, ce bilan confirme la tendance à l'augmentation des concentrations en chlorures depuis 2015. De légères variations en sodium et potassium sont également enregistrées aux piézomètres 4-z4 et 4-z5.

L'évolution des chlorures est liée à la dégradation du scellement du piézomètre. Les résultats de suivi physico-chimique attestent que cette dégradation s'atténue au fil des années.

Pour rappel, une étude menée en interne à destination de la DIMENC, a démontré que la perturbation constatée sur le piézomètre 4-z4 est la conséquence d'une dégradation du scellement de l'ouvrage d'observation (contamination du piézomètre par des eaux infiltrées depuis la surface et/ou l'aquitard latéritique sus-jacent). Cette note fait état d'un bilan au 31 novembre 2019 de l'impact de l'UPM sur les eaux souterraines et les eaux de surface.

Conclusion

Les suivis des stations selon les paramètres et les fréquences réglementaires n'ont pas pu être réalisés en totalité en raison du blocage du site industriel lié à la reprise de l'Usine du Sud. De ce fait, les relevés des stations de suivi des eaux souterraines de la Kwé ouest n'ont pu être effectué à partir du 12 novembre 2020 jusqu'en février 2021.

Les résultats du suivi annuel 2021 et du 1^{er} semestre 2022 des eaux souterraines en aval du parc à résidus de la Kwé ouest confirment une perturbation de la qualité des eaux souterraines dans la zone proche du stockage des résidus, notamment dans l'aquifère principal au niveau des piézomètres **WKBH118A, WK6-10A et des sources WK17, WK20**. De plus, dans l'aquitard latéritique, la dégradation de la qualité physico-chimique se poursuit au niveau des piézomètres **PP1-A, WKBH117B et WK6-12A**.

Dans le cadre de l'arrêté N°692-2021/ARR/DIMENC du 18 mars 2021, Prony Resources se doit de mener une étude visant à caractériser le risque de pollution des eaux par infiltration dans le sous-sol lié au stockage des résidus dans le barrage KO2. Cette étude devra déterminer :

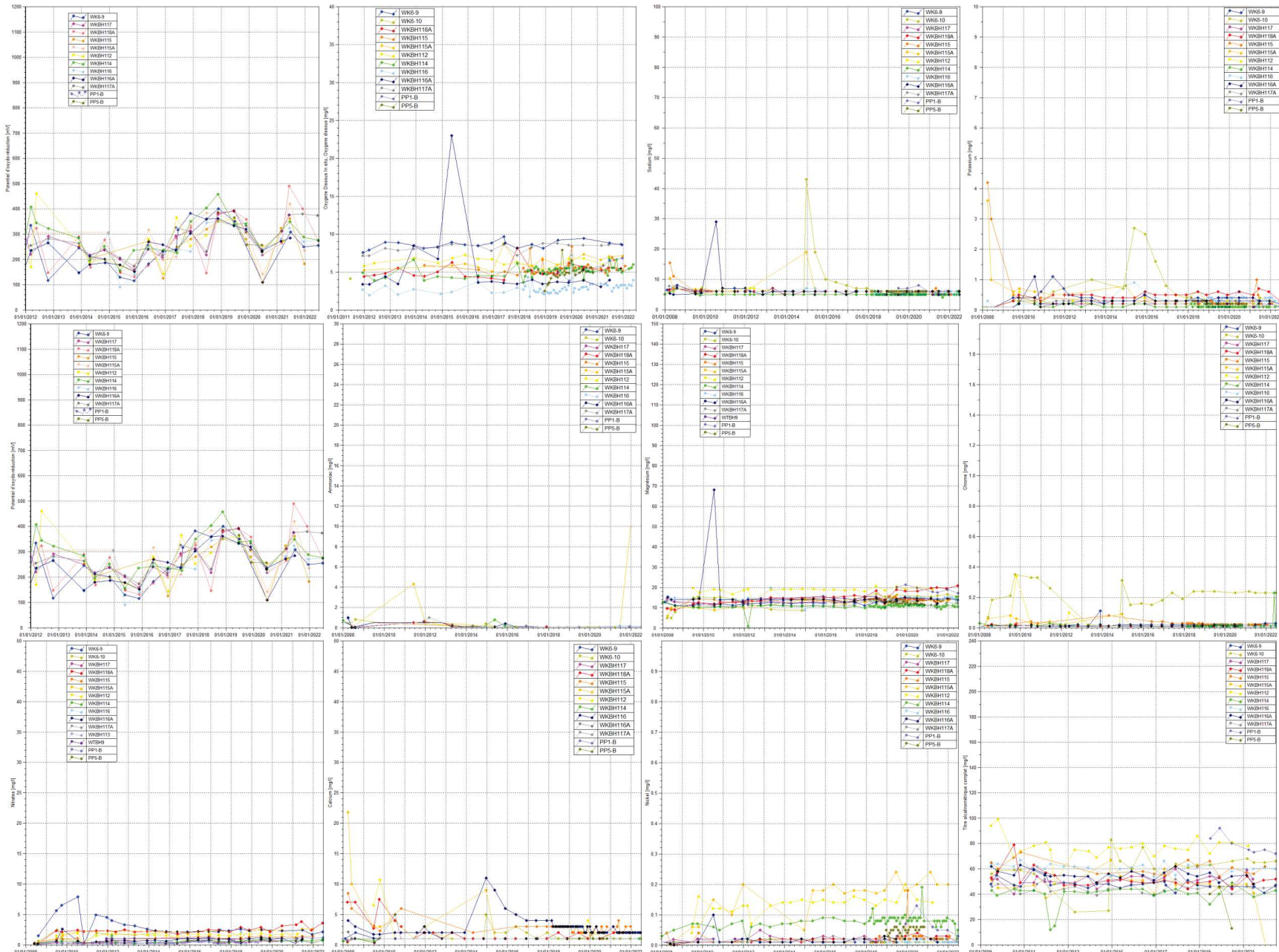
- L'extension actuelle du panache, l'identification et la quantification des polluants,
- L'évolution attendu sur le court terme et long terme des concentrations des différents polluants issus de l'infiltration dans le milieu naturel notamment dans la Kwe et les sources environnantes,
- Du fait de cet évolution attendue, l'existence d'un risque de toxicité pour l'être humain et pour les espèces vivantes spécifique à la Nouvelle-Calédonie, notamment par bioaccumulation,
- L'existence ou non d'autres sources potentielles de contamination sur la Kwe et les sources,
- L'existence ou non d'un risque que sur le long terme, l'infiltration actuellement constatée, ne s'aggravent suite à une détérioration supplémentaire de la géomembrane ou une augmentation du volume de résidus stockés,
- Les règles d'exploitation qui devront être mise en œuvre pour limiter, atténuer voire supprimer ce risque,
- Les caractéristiques des résidus secs pour mieux évaluer l'impact potentiel et futur de Lucy 2.0 sur le risque de pollution par infiltration.

Au niveau de l'usine, des tendances sont observées dans l'aquitard latéritique aux piézomètres **6-14A, 6-8A** et dans l'aquifère saprolitique au niveau du piézomètre **6-6**.

Le réseau de suivi piézométrique au niveau de l'usine a été complété dans le but d'avoir une meilleure compréhension de l'origine des contaminations des eaux souterraines en rapport avec les installations de l'usine. Douze piézomètres supplémentaires ont été forés et installés entre janvier et février 2020 au niveau de l'usine. Des campagnes de prélèvement ont été réalisées et l'exploitation des résultats fera l'objet d'une étude spécifique.

Enfin, les analyses des résultats de suivi annuel 2021 et du 1^{er} semestre 2022 au niveau de l'UPM attestent d'une atténuation de la contamination des eaux souterraines situées dans les horizons saprolitiques au niveau du piézomètre **4-z4** liée à une dégradation du scellement de l'ouvrage.

ANNEXE I : SUIVI DE LA QUALITE DES EAUX SOUTERRAINES DE LA KWE OUEST

Résultats du suivi de la qualité de l'aquifère principal, proche de l'exploitation de l'usine d'assèchement de la Kwé Ouest :


Résultats du suivi de la qualité de l'aquitard latéritique, proche de l'usine d'assèchement de résidus de la Kwé Ouest
